

บทบรรณาธิการ

ปัญหาการติดสารเสพติดยังคงเป็นปัญหาที่สำคัญของสังคมไทยซึ่งส่งผลกระทบต่อทุกภาคส่วนในสังคม นอกจากสารเสพติดที่มีการแพร่ระบาดอยู่เดิมแล้ว ก็ยังมีการเริ่มเสพสารเสพติดตัวใหม่ ๆ ที่ยังไม่แพร่หลายได้รับความนิยมในสังคม ซึ่งสารเสพติดตัวใหม่ที่มีการผลิตและแพร่หลายนั้นมักจะมีฤทธิ์รุนแรงมากขึ้น ส่งผลเสียต่อสุขภาพผู้เสพมากขึ้น นอกจากนี้เนื่องจากเป็นสารเสพติดตัวใหม่จึงมักจะยังไม่ถูกประกาศในกฎหมายว่าเป็นสารเสพติดให้ไทย ทำให้มีการซื้อขาย และเสพแพร่หลายได้ง่าย ทุกฝ่ายจึงต้องเฝ้าระวังและค่อยติดตามข่าวสารทั้งในประเทศและต่างประเทศ เพื่อควบคุมและป้องกันการกระจายและการเสพสารเสพติดใหม่ ๆ เหล่านี้

วารสารนิติเวชศาสตร์ ปีที่ 4 ฉบับที่ 2

มกราคม - เมษายน พ.ศ.2555

วัตถุประสงค์

วารสารนิติเวชศาสตร์ เป็นวารสารของภาควิชานิติเวชศาสตร์ คณะแพทยศาสตร์ จุฬาลงกรณ์มหาวิทยาลัย มีวัตถุประสงค์ในการจัดทำวารสาร ได้แก่

1. เพื่อเผยแพร่ความรู้ทางนิติเวชศาสตร์ นิติวิทยาศาสตร์ กฏหมายที่เกี่ยวข้อง จริยธรรมและปรัชญา
2. เป็นสื่อกลางในการเผยแพร่แนวความคิดสร้างสรรค์ ที่มีประโยชน์ด่อสังคมอย่างมีเหตุผล
3. เพื่อพัฒนามาตรฐานทางวิชาชีพนิติเวชศาสตร์ และนิติวิทยาศาสตร์
4. เพื่อพัฒนารูปแบบของกระบวนการยุติธรรมของประเทศไทย ให้เป็นที่ยอมรับในระดับสากล
5. เป็นสื่อกลางในการเผยแพร่ผลงานวิจัยของแพทย์ประจำบ้าน นิติศึกษา และนักวิจัย

คณะกรรมการ

1. ผศ.นพ.ณัฐ ตันครีสวัสดิ์

บรรณาธิการ

2. ผศ.นพ.อุดมศักดิ์ หุ่นวิจิตร

3. ผศ.นพ.กรเกียรติ วงศ์ไพบูลย์สิน

4. อ.นพ.ธีรโชติ คงสกุล

5. อ.นพ.ภาณุวัฒน์ ชุติวงศ์

6. อ.พญ.ภกษณี จงประเสริฐนุช

7. ภญ.กัญญาณิณ หริัญเชรยธนชาดา

ผู้ช่วยบรรณาธิการและเลขานุการ

วารสารออนไลน์

<http://www.forensicchula.net>

สารบัญ

Original article

- การศึกษาไมโครแทกเก็ต โลท์ DNA DYS 393 จากตัวอย่างสำลีป้ายช่องคลอด	82
- การหาอัตราการรกลายพันธุ์ในโตกอนเครียดคีอีนอบริเวณ hypervariable region	92
- การสร้างคราบเลือดเปลกปลอมของแมลงวันหัวเขียว	106
- ระบบทะลานเจริญเติบโตของด้วงหนังสัตว์	118
- โครงข่าย cephalopharyngeal skeleton ของ <i>C. rufifacies</i>	127
- ความชุกของหมู่เลือด ABO พิษณุโลก	135
- การตรวจพิสูจน์คีอีนเอไกโดยใช้トイโรม บี	144

Review

- เหตุการณ์โคลนคน และนิติปฏิวิทยา	151
- การฉีบเท้า	165
- การทดสอบ Kastle-Mayer และการประยุกต์ใช้	179
- หุกกาไฟ (Hookah)	185

Miscellaneous

- บุคคลสำคัญ Richard Synge	190
- ชั่วโมงนิติเวชฯ	191

วารสารนิติเวชศาสตร์ ปีที่ 4 ฉบับที่ 2

มกราคม – เมษายน พ.ศ.2555

ภาพปก

ชื่อภาพ "A Sick Child brought into the Temple of Aesculapius"

ศิลปิน John William Waterhouse

สถานที่ -

ที่มา <http://en.wikipedia.org/wiki/File:TempleofAesculapiusWaterhouse.jpg>

การส่งบทความ

วารสารนิติเวชศาสตร์เป็นวารสารรายสี่เดือน รับเผยแพร่ผลงานที่เกี่ยวข้องทางนิติเวชศาสตร์ นิคิวทิกาศาสตร์ กฏหมาย จริยธรรมและปรัชญา โดยให้ส่งผลงานตีพิมพ์ในกระดาษขนาด A4 หรือไฟล์ข้อมูลในสื่อบันทึก หรือจดหมายอิเล็กทรอนิกส์

ผลงานที่ส่งเพื่อตีพิมพ์สามารถใช้ได้ทั้งภาษาไทย และภาษาอังกฤษ โดยไม่จำกัดรูปแบบ ไม่ว่าจะเป็นบทความแสดงความคิดเห็น งานวิจัยนิพนธ์ต้นฉบับ รายงานผู้ป่วย และงานในรูปแบบอื่น ๆ ให้ระบุชื่อเรื่อง ชื่อผู้วิจัยหรือผู้เขียนผลงาน และส่งผลงานได้ที่

นายแพทย์ ตันศรีสวัสดิ์

ภาควิชาบิโภชศาสตร์ คณะแพทยศาสตร์ จุฬาลงกรณ์มหาวิทยาลัย

อ.庶22014 เบตปทุนวัน กทม.10330

หรือที่ e-mail: tssnat@hotmail.com

การศึกษาไมโครแทกเกลไลท์ DNA ตำแหน่ง DYS 393 จากตัวอย่างสำลี ป้ายชื่องคลอดเพื่อเป็นตัวบ่งชี้ของการมีเพศสัมพันธ์

สรารัถายณ์ หักดิ์เกียรติชัย *

ธนานิทร์ ภู่พัฒน์ พ.บ. **

เลิศลักษณา ภู่พัฒน์ พ.บ. ***

บทคัดย่อ

ในการศึกษารึ่งนี้ได้ทำการตรวจดีเอ็นเอของโครโนไซมเพศชายในตำแหน่ง DYS 393 เปรียบเทียบ กับการตรวจหาตัวอสูจจากน้ำซับช่องคลอดของผู้เสียหายเพื่อใช้เป็นตัวบ่งชี้การมีเพศสัมพันธ์ ซึ่งทำการทดลอง กับตัวอย่างน้ำซับช่องคลอดจากภาควิชานิติเวชศาสตร์ คณะแพทยศาสตร์ มหาวิทยาลัยเชียงใหม่ ที่ตรวจพบ เอนไซม์ acid phosphatase จำนวน 60 ตัวอย่าง ที่แบ่งออกเป็น 2 กลุ่ม คือกลุ่มที่ตรวจพบตัวอสูจในปริมาณ 1+, 2+ และ 3+ รวมทั้งหมด 30 ตัวอย่าง และอีก 30 ตัวอย่างคือกลุ่มที่ตรวจไม่พบตัวอสูจ จากนั้นสกัดดีเอ็นเอด้วยวิธี แบบไม่แยกชนิดเซลล์ (total extraction) และเพิ่มปริมาณโดยวิธี PCR ก่อนนำไปแยกใน 8.5% acryl amide gels พบว่า โอกาสของการตรวจพบตำแหน่ง DYS 393 บนโครโนไซมเพศชายมีความแตกต่างจากผลการทดสอบ ด้วยวิธีการตรวจหาตัวอสูจที่ $p = 0.000$ และโอกาสที่ตรวจพบจะแปรผันตามปริมาณของตัวอสูจที่มีในตัวอย่าง ถือได้ว่าในการตรวจหาตำแหน่ง DYS 393 บนโครโนไซมเพศชาย สามารถใช้เป็นตัวบ่งชี้การมีเพศสัมพันธ์ได้ และยังช่วยเพิ่มน้ำหนักของวัตถุพยานในคดีที่มีการกระทำชำเราเพิ่มมากขึ้นและสามารถใช้เป็นประโยชน์ในการ ดำเนินคดีหรือเป็นพยานหลักฐานช่วยในการเอาผิดผู้ร้ายกรณีที่มีการล่วงละเมิดทางเพศได้มากขึ้น

คำสำคัญ : DYS393, ตัวอสูจ, โครโนไซมเพศชาย, น้ำซับช่องคลอด, การกระทำชำเรา

* สาขาวิชานิติวิทยาศาสตร์ บัณฑิตวิทยาลัย มหาวิทยาลัยเชียงใหม่

** ภาควิชานิติเวชศาสตร์ คณะแพทยศาสตร์ มหาวิทยาลัยเชียงใหม่

*** ภาควิชาพยาธิวิทยา คณะแพทยศาสตร์ มหาวิทยาลัยเชียงใหม่

The Study of Microsatellite DNA DYS 393 in Vaginal Swabs as an Indicator of Sexual Intercourse

Saraluck Sakkiattichai *

Tanin Bhoopat M.D. **

Lertlakana Bhoopat M.D. ***

Abstract

This study was conducted to determine the chance of detection evidence of abuse by examination between DYS 393 locus on Y-chromosome and spermatozoa detection from vaginal swabs of the raped victims. Y-STR locus DYS 393 using for the investigation of rape cases compared with the Oppitz staining method. The samples were collected from 60 acid phosphatase positive vaginal swabs from the Department of Forensic Medicine and divided into 2 groups which were sperm positive and sperm negative. The sperm positive group was further divided into three subgroups depending on the amount of spermatozoa (1+, 2+ and 3+). The methods to detect DYS 393 were total extraction and amplification using PCR technique, then the PCR product was analyzed on 8.5% polyacrylamide gels. The chance of detection of spermatozoa was different using either the amplification of locus DYS393 or the Oppitz test ($p=0.000$) and the opportunity to detect locus DYS393 varies with the amount of sperm cells in the specimen.

Key words: DYS393, Spermatozoa, Y- Chromosome, Vaginal swabs, Raped

* Forensic Science, Graduate School, Chiang Mai University

** Department of Forensic Medicine, Faculty of Medicine, Chiang Mai University

*** Department of Pathology, Faculty of Medicine, Chiang Mai University

บทนำ

ปัญหาการถูกกล่าว叨เมิดทางเพศของผู้หญิงในสังคมไทยปัจจุบันถือได้ว่าเป็นปัญหาที่มีความรุนแรงเพิ่มมากขึ้นเรื่อยๆ อาจเนื่องมาจากการก้าวหน้าทางเทคโนโลยี รวมถึงการติดต่อสื่อสารกันด้วยระบบอินเตอร์เน็ต ในปัจจุบันที่มีการเผยแพร่สื่อตามก่อนจากสื่อสารมวลชนได้ง่ายขึ้น ผลกระทบที่ตามมาภายหลังจากการถูกกล่าว叨เมิดทางเพศมีมากmany อาทิเช่น การติดเชื้อทางเพศสัมพันธ์ การทำแท้ง และปัญหาที่สำคัญอีกประการหนึ่งที่จะตามมาคือ ปัญหาทางด้านจิตใจของผู้เสียหายเอง

ปัจจุบันมีความเจริญก้าวหน้าทางด้านนิติวิทยาศาสตร์ค่อนข้างมาก เราจึงสามารถที่จะนำมาใช้เป็นตัวช่วยในการที่จะพิสูจน์ความผิดเกี่ยวกับการล่วงละเมิดทางเพศได้ สำหรับการพิสูจน์ว่าผู้เสียหายถูกกระทำชำเรา หรือไม่นั้น จะต้องใช้วัตถุพยานเข้ามาช่วยในการตรวจสอบ ซึ่งวัตถุพยานที่นิยมเก็บส่งตรวจได้แก่วัตถุพยานที่เป็นชิ้วัตถุพยาน เช่น เสื้อผ้า เส้นขน น้ำซับจากช่องคลอด เป็นต้น^{1,2} เพื่อที่จะตรวจหาส่วนประกอบของน้ำอสุจิ (seminal plasma) ได้แก่ Acid Phosphatase, Prostate Specific Antigen (PSA), Semenogelin และเซลล์หรือส่วนประกอบของเซลล์ ได้แก่ ตัวอสุจิ, Y-chromosome DNA, Amelogenin เป็นต้น ถึงแม้ว่าการตรวจจะมีหลายวิธีแต่การตรวจหา acid phosphatase ร่วมกับการตรวจหาตัวอสุจินี้ถือเป็นที่นิยมใช้ในปัจจุบัน อย่างไรก็ตาม การตรวจหาสาร acid phosphatase นี้จะมีผลบวกลวง (false positive) ค่อนข้างมาก และการตรวจหาตัวอสุจินี้ หากในช่องคลอดของผู้เสียหายมีตัวอสุจิเหลืออยู่น้อย ก็อาจส่งผลให้ตรวจไม่พบหรือพบได้น้อยมาก ดังนั้น หลักฐานทางนิติวิทยาศาสตร์ที่เริ่มได้รับความสนใจและถูกนำมาใช้อ้างถียงแพร่หลายในปัจจุบัน ได้แก่ หลักฐานทางด้าน DNA (Deoxyribonucleic acid) ที่จะไม่ซ้ำกันในแต่ละบุคคล ถึงแม้ว่าจะเป็นพี่น้องพ่อมแม่เดียวกันก็ตาม ยกเว้นในกรณีฝาแฝดที่มาจากการตwin และอสุจิตัวเดียวกันหรือที่เรียกว่าแฟดแท้ และการตรวจ DNA ในงานนิติวิทยาศาสตร์นี้ ได้ให้ความสำคัญตรงส่วนที่เป็น Short Tandem Repeats (STR) หรือ Microsatellite ซึ่งเป็นตำแหน่งที่มีลักษณะ DNA เป็นชุดเบสซ้ำๆ กัน และจะไม่เหมือนกันในบุคคลสองคน ยกเว้นฝาแฝดไปในเดียวกัน³

และในปัจจุบันก็เริ่มนีคนให้ความสนใจและทำการค้นคว้าวิจัยการตรวจพิสูจน์ DNA เพื่อที่จะนำมาประยุกต์ใช้กับงานด้านนิติวิทยาศาสตร์และใช้เป็นพยานหลักฐานในคดีที่เกี่ยวกับเพศ ยกตัวอย่าง เช่น Canine และคณะ⁴ ได้ทำการศึกษาลักษณะ DNA บนโครโมโซมเพศชาย (Y-STRs) ในคดีที่เกี่ยวกับความผิดทางเพศ โดยใช้ทั้งหมด 12 ตำแหน่งคือ DYS389I, DYS389II, DYS390, DYS19, DYS385, DYS393, DYS391, DYS439, DYS392, DYS437, DYS428 และ GATA H4 พนว่า สามารถตรวจเชื้อ DNA ของโครโมโซมเพศชายได้ทั้ง 12 ตำแหน่ง และงานวิจัยของ Chomont และคณะ⁵ ที่ได้ศึกษาการตรวจโครโมโซมเพศชายจากสารคัดหลั่งช่องคลอดของผู้หญิงที่ผ่านการมีเพศสัมพันธ์ เพื่อใช้เป็นพยานหลักฐานในคดีที่เกี่ยวกับเพศ พนว่า สามารถตรวจเชื้อ PSA ทั้งหมด 50 ตัวอย่าง คิดเป็น 19% และสามารถตรวจเชื้อโครโมโซมเพศชายได้ 100

ตัวอย่าง คิดเป็น 38% โดยที่ตัวอย่าง 50 ตัวอย่างที่ตรวจเจอ PSA นั้น สามารถตรวจเจอโครโนมโอมเพชาย เช่นกัน

ดังนั้น การศึกษาในครั้งนี้จึงมีวัตถุประสงค์เพื่อศึกษาโอกาสการพบหลักฐานในคดีกระทำชำเรา โดยการตรวจดีเอ็นเอของโครโนมโอมเพชายในตำแหน่ง DYS 393 เพื่อเป็นตัวบ่งชี้การมีเพศสัมพันธ์ เทียบกับการตรวจหาตัวอย่างจากน้ำซับช่องคลอดของผู้เสียหาย

วัสดุและวิธีการ

ตัวอย่างน้ำซับช่องคลอดของผู้เสียหายที่ถูกกระทำชำเรา ที่ได้จากภาควิชา_nitิเวชศาสตร์_มหาวิทยาลัยเชียงใหม่ จำนวน 60 ตัวอย่าง แบ่งตัวอย่างออกเป็น 2 กลุ่มคือ กลุ่มที่ตรวจไม่พบตัวอย่าง 30 ตัวอย่าง และกลุ่มที่ตรวจพบตัวอย่าง 30 ตัวอย่าง ซึ่งในกลุ่มที่ตรวจพบตัวอย่างนั้น จะแบ่งเป็น 3 กลุ่มย่อย ตามปริมาณตัวอย่างที่ตรวจพบในตัวอย่างน้ำซับช่องคลอด คือ กลุ่มที่พบตัวอย่างปริมาณ 1+, 2+ และ 3+ ตามลำดับ[#] โดยตัวอย่างทั้ง 60 ตัวอย่างให้ผลตรวจเอนไซม์ acid phosphatase เป็นบวก

จากนั้นนำตัวอย่างทั้ง 60 ตัวอย่าง ไปสกัดดีเอ็นเอแบบไม่แยกชนิดเซลล์ (total extraction)⁴ แล้วผสมน้ำยา Master mix [ประกอบไปด้วย 10X buffer 1 μl, dNTPs (dATP, dCTP, dGTP, dTTP) 1 μl, Taq DNA-polymerase 1 μl, Sterile water 2 μl และ 5 μM each primer mix DYS 393 1 μl] และนำสกัดดีเอ็นเอ (DNA template) 4.0 μl ในหลอด microcentrifuge tube แล้วนำเข้าเครื่องปรับเปลี่ยนอุณหภูมิ (thermal cycles) โดยตั้งอุณหภูมิในแต่ละรอบ ดังนี้ 94 °C 45 วินาที, 55 °C 30 วินาที และ 72 °C 30 วินาที เป็นจำนวน 35 รอบ แล้วพักทิ้งไว้ที่อุณหภูมิ 72°C 7 นาที จากนั้นนำ PCR product ที่ได้ไปแยกแยะ DNA ด้วย 8.5% acrylamide gel electrophoresis โดยใช้กระแสไฟฟ้า 80 volt วิ่งผ่าน running buffer นาน 16.5 ชั่วโมง จากนั้นซื้อมเจลด้วยวิธี Silver staining เพื่อให้เห็นแบบดีเอ็นเอ

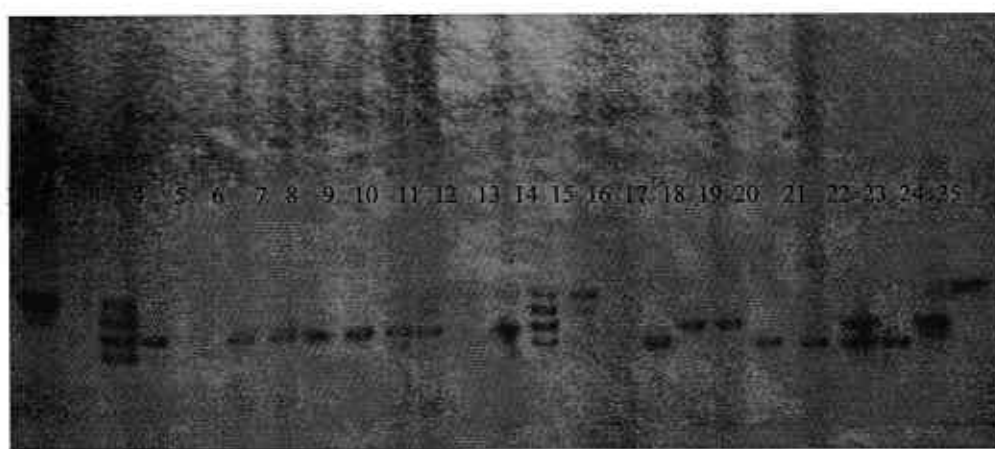
Primer ที่ใช้ในการศึกษาคือ Forward : 5'-GTGGTCTTCTACTTGTGTCAATAC -3' และ

Reverse : 5'-CCTCATTTCGGACTTGAGTTTC-3'

[#] การตรวจหาตัวอย่างที่ด้วยเทคนิคการย้อมสีแบบ Oppitz's test บนพื้นที่วงกลมขนาดเล็กผ่าสูญญากาศประมาณ 1 เซนติเมตร 1+ คือ กลุ่มที่ตรวจพบตัวอย่าง 1-2 ตัว, 2+ คือ กลุ่มที่ตรวจพบตัวอย่าง 3-5 ตัว และ 3- คือ กลุ่มที่ตรวจพบตัวอย่าง 6-8 ตัว

การแปลผลการทดลองจะทำการเปรียบเทียบแบบ DNA ที่ตรวจพบจากตัวอย่างน้ำซับช่องคลอดของผู้เสียหายทั้งหมด กับอัลลิลามาตรฐาน เพื่อคุณตำแหน่งและขนาดของแบบ DNA ที่ตรวจพบ ว่าอยู่ช่วงขนาดที่คาดไว้หรือไม่ ถ้าใช่แสดงว่าให้ผลบวก (positive test) จากนั้นนำข้อมูลที่ได้ไปคำนวณค่าทางสถิติ ด้วย McNemar chi-square test⁵ เพื่อเปรียบเทียบโอกาสการตรวจพบดีเย็นเอื่องโครแซฟเทลไลท์ตำแหน่ง DYS393 กับโอกาสการตรวจพบตัวอย่างจากน้ำซับช่องคลอดของผู้เสียหาย

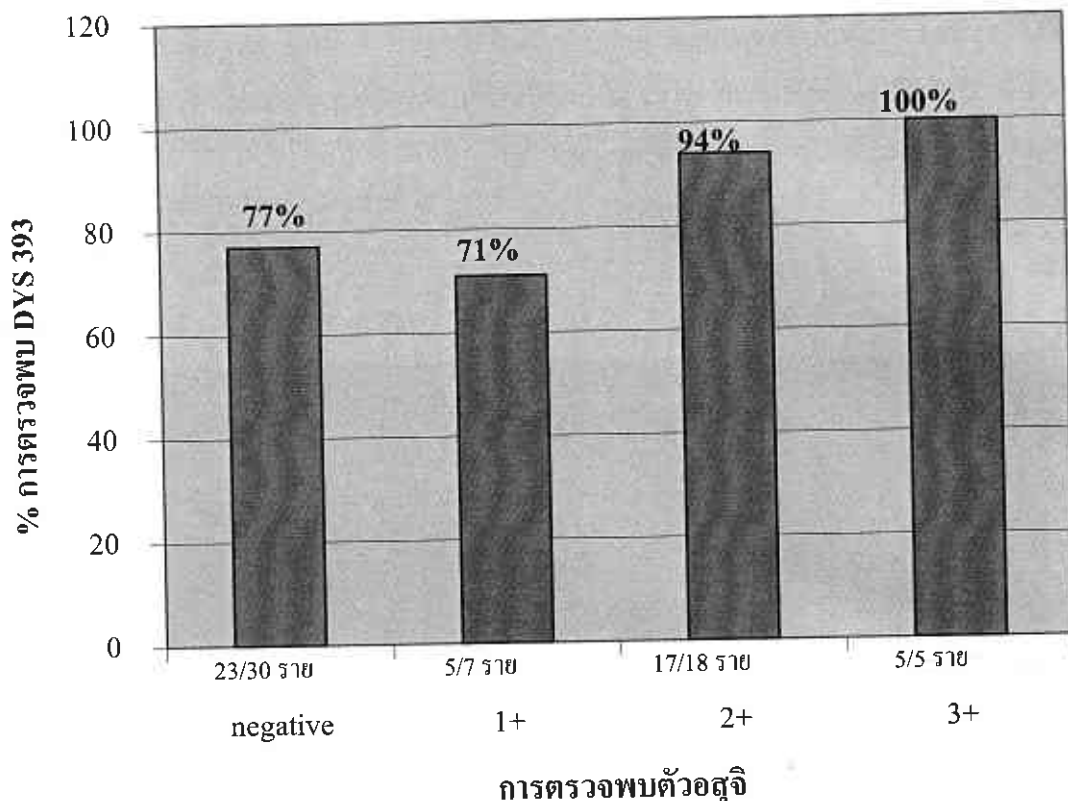
ผลการศึกษา



ภาพที่ 1 แสดงแบบดีเย็นเอื่องจากตัวอย่างน้ำซับช่องคลอดของผู้เสียหายที่ถูกกระทำชำเราเปรียบเทียบกับตัวอย่างเลือดของผู้หญิง (negative control), ตัวอย่างเลือดชาย (positive control) และอัลลิลามาตรฐาน โดยที่ช่องที่ 1, 25 แสดงถึง positive control ที่ใช้ตัวอย่างเลือดผู้ชายเป็นตัวควบคุม ช่องที่ 2 แสดงถึง negative control ที่ใช้ตัวอย่างเลือดผู้หญิงเป็นตัวควบคุม ช่องที่ 3, 14 แสดงถึงอัลลิลามาตรฐาน (ladder) คือ อัลลิลที่ 12, 13, 14 และ 15 เรียงจากແຄບลำดับขึ้นบน ช่องที่ 4-13, 15-24 แสดงถึง ตัวอย่างน้ำซับช่องคลอดของผู้เสียหาย

ตาราง 1 แสดงผลการตรวจเปรียบเทียบระหว่างการตรวจหาตัวอย่าง (Sperm) กับดีเย็นเอื่องโครแซฟเทลไลท์ ตำแหน่ง DYS393

อันดับ	DYS393	ผลลบ	ผลบวก	รวม
ผลลบ	7	23	30	
ผลบวก	3	27	30	
รวม	10	50	60	



ภาพที่ 2 แสดงโอกาสการตรวจพบดีเอ็นเอในโครแซทเทลไลท์ DYS393 เทียบกับแต่ละกลุ่มที่แบ่งตามปริมาณอสูรที่พบ

อภิปรายผลการทดลอง

จากการเปรียบเทียบแบบดีเอ็นเอนามาตรฐานกับแบบดีเอ็นเอที่ได้จากการใช้ตัวอย่างดีเอ็นเอของผู้ชายที่ทราบชนิดอัลลีล์ในตำแหน่ง DYS393 มาเป็นดีเอ็นเอแม่แบบ พบว่า แบบดีเอ็นเอที่เกิดขึ้นอยู่ในช่วงระหว่าง 130-140 bp และผลการตรวจลักษณะดีเอ็นเอในโครแซทเทลไลท์ ตำแหน่ง DYS393 จากน้ำซับช่องคลอดของผู้เสียหาย เทียบกับอัลลีลมามาตรฐาน เมื่อทำการประเมินชนิดของอัลลีล์ พบว่าค่าความถี่ใกล้เคียงกับที่พบในกลุ่มประชากรandan เอเชียตะวันออก^{9, 10} จึงน่าเชื่อได้ว่าแบบดีเอ็นเอดังกล่าวเป็นอัลลีล์ของผู้ชายที่มีการปนเปื้อนมา จริง และเมื่อเปรียบเทียบผลการตรวจพบตัวอสูร กับดีเอ็นเอในโครแซทเทลไลท์ ตำแหน่ง DYS393 จากน้ำซับช่องคลอดของผู้เสียหายทั้ง 60 ตัวอย่าง พบว่าโอกาสของการตรวจพบดีเอ็นเอในโครแซทเทลไลท์ ตำแหน่ง DYS393 มีความแตกต่างจากโอกาสการตรวจพบตัวอสูร จากน้ำซับช่องคลอดของผู้เสียหายอย่างมีนัยสำคัญ ($p = 0.000$) ซึ่งสามารถตรวจพบดีเอ็นเอในโครแซทเทลไลท์ ตำแหน่ง DYS393 ได้ทั้งหมด 50 ตัวอย่าง จาก 60

ตัวอย่าง และเมื่อนำข้อมูลมาวิเคราะห์แยกเป็นกลุ่มย่อยจะพบว่า ในตัวอย่างที่ตรวจไม่พบตัวอสูรสามารถตรวจพบ Microsatellite DNA บนโครโน่ไซด์เพศชายตำแหน่ง DYS 393 ได้ถึง 23 ตัวอย่าง จากทั้งหมด 30 ตัวอย่าง ส่วนในตัวอย่างที่ตรวจพบตัวอสูร 30 ตัวอย่าง สามารถตรวจพบลักษณะดีเอ็นเอในโครแซทเทลไลท์ตำแหน่ง DYS393 ได้ถึง 27 ตัวอย่าง (90%) และเมื่อแยกย่อยตามปริมาณการตรวจพบตัวอสูร คือ ในตัวอย่างที่ตรวจพบตัวอสูรตามเกณฑ์ 1+, 2+ และ 3+ นั้นสามารถตรวจพบในตำแหน่ง DYS 393 ได้ท่ากับ 5/7 ตัวอย่าง, 17/18 ตัวอย่างและ 5/5 ตัวอย่างตามลำดับ จะเห็นได้ว่าการตรวจพบ Microsatellite DNA บนโครโน่ไซด์เพศชายตำแหน่ง DYS 393 จะมีความแปรผันไปตามปริมาณการตรวจพบตัวอสูร และการที่สามารถตรวจเจอดYS 393 ได้ในตัวอย่างที่ตรวจเจอตัวอสูรในปริมาณน้อย ๆ ทั้งนี้อาจเนื่องมาจากการที่ตรวจไม่พบตัวอสูรนั้นอาจเกิดจากวิธีการตรวจหาตัวอสูรที่มีการบกพร่อง ซึ่งในการค้นคว้านี้ใช้วิธีการตรวจตัวอสูรแบบ Oppitz test มีการใช้ปริมาณตัวอย่างจากน้ำซับช่องคลอดจากผู้เสียหายเพียงเล็กน้อยแค่ 2-3 ไมโครลิตร มหาดบวนแพ่นส์ไอล์ดจะไม่มีตัวอสูรติดมาด้วย (ซึ่งทั้งที่จริง ๆ แล้วหากเราใช้ตำแหน่งอื่นของลำดับป้ายช่องคลอดอาจจะมีหรือไม่มีตัวอสูรปนอยู่ก็ได้) จึงทำให้ตรวจไม่พบตัวอสูร หรืออาจเกิดจากความผิดพลาดของผู้ตรวจเองก็เป็นไปได้ เช่นกัน ดังนั้นมีนำมาตรวจหาลักษณะดีเอ็นเอบนโครโน่ไซด์เพศชายซึ่งสามารถตรวจพบได้ในการสักด็ตัวอย่างที่นำมาใช้ในการค้นคว้าครั้นนี้จะสักด้วยไม่แยกชนิดเซลล์ (total extraction) ทำให้เวลาที่สักด็ตัวอย่างอาจทำให้ได้เอ็นเอจากเซลล์อื่นของผู้ชายที่ไม่ใช่ตัวอสูรปนมาด้วย เช่น เยื่อบุผิว (epithelial cells) เป็นต้น และในกรณีที่ผู้กระทำไม่ได้มีการร่วมเพศแต่มีการกระทำอย่างอื่นแทนซึ่งถือเป็นการกระทำชำเราได้ เช่นกัน เช่น การใช้นิวมือกีมือโอกาสที่เซลล์ผิวหนังจากนิวมือจะหลุดติดมาได้ หรือการใช้ปาก (oral) ก็อาจมีคราบน้ำลายติดมาได้ เช่นกัน จึงทำให้เราสามารถตรวจเจอดีเอ็นเอของโครโน่ไซด์เพศชายได้ รวมถึงกรณีที่ผู้กระทำเป็นหมันหรือเป็นคนที่มีตัวอสูรน้อย (azoospermic semen) ก็จะทำให้โอกาสในการตรวจพบตัวอสูรน้อยมากหรืออาจตรวจไม่พบเลย แต่หากมีการกระทำชำเราเกิดขึ้นจริงเราจะยังสามารถตรวจเจอดีเอ็นเอของโครโน่ไซด์เพศชายได้ จึงทำให้วิธีการตรวจการหา microsatellite DNA บนโครโน่ไซด์เพศชายเป็นวิธีที่จะช่วยให้เราพบหลักฐานการกระทำชำเราได้มากขึ้น

สำหรับในกรณีที่มีการตรวจพบตัวอสูรในปริมาณตามเกณฑ์ 1+, 2+ ในบางตัวอย่างที่ตรวจไม่พบลักษณะดีเอ็นเอบนโครโน่ไซด์เพศชาย อาจเนื่องมาจากการสักด็ตัวอสูรนั้นเป็นการสักด้วยไม่แยกชนิดเซลล์ หรือ Total extraction ทำให้ในน้ำสักดีเอ็นเอมีปริมาณดีเอ็นเอของผู้หญิงปนอยู่มาก จึงไปกีดขวางการจับกันระหว่าง primer กับ ดีเอ็นเอเป้าหมาย (Target DNA) ส่งผลให้ primer ไปจับกับดีเอ็นเอของโครโน่ไซด์เพศชายได้น้อย ดังที่ Prinz และคณะ ได้ศึกษาอัตราส่วนของดีเอ็นเอผู้ชายที่ผสมอยู่กับดีเอ็นเอของผู้หญิงในแต่ละอัตราส่วนที่แตกต่างกัน พบว่า ในอัตราส่วนของดีเอ็นเอผู้ชาย : ดีเอ็นเอของผู้หญิงที่ 1:2000 เป็นอัตราส่วนที่สูง

ที่สุดที่ยังสามารถตรวจพบตีอีนของผู้ชายได้ (Prinz, et al) การแก้ไขก่อจลาจลทำได้โดยการเปลี่ยนวิธีการสกัดไปเป็นการสกัดแบบแยกชนิดของเซลล์ หรือ differential extraction ซึ่งวิธีนี้จะมีการย่อยสลายแยกส่วนอาณัตเซลล์เชื่อมบุช่องคลอดออกไปก่อนเหลือไว้แต่เฉพาะเซลล์ตื้อสุจิแล้วทำการย่อยตัวอสุจิอีกครั้งหนึ่ง ซึ่งวิธีนี้อาจจะช่วยลดการกีดขวางการจับกันระหว่าง primer กับ ดีอีนของโครโนไซม์เพศชายจากดีอีนของผู้หญิงได้ นอกจากนี้อาจเป็นผลมาจากการขั้นตอนของการสกัด ที่มีการดูดเอาไว้ต้องตะกอนของน้ำซับช่องคลอดออกไป ก่อนนำไป smear บนสไลด์เพื่อตรวจดูตัวอสุจิจากถังขุลบรรคน์ ซึ่งอาจมีการปนเปื้อนหรือดูดตัวอสุจิที่มีน้อยอยู่แล้วนั้นออกไปด้วยจึงทำให้เราตรวจไม่เจอตัวอสุจิและดีอีนของตัวอสุจินี้ด้วย รวมไปถึงการใช้ Proteinase K ในขั้นตอนของการสกัด เช่นกัน เนื่องมาจาก Proteinase K ในขั้นตอนการสกัดนั้นจะมีหน้าที่ในการย่อยสลายโปรตีนโดยเฉพาะผนังเซลล์ทำให้เซลล์แตกและมีดีอีนหลุดออกมาน้ำ แต่ถ้าหาก Proteinase K ที่ใช้ในการสกัดมีความเข้มข้นน้อยเกินไป ก็อาจส่งผลให้ไม่สามารถทำลายโปรตีนที่เยื่อหุ้มเซลล์ได้อย่างสมบูรณ์ ดีอีนเองจึงไม่สามารถหลุดออกจากเซลล์ได้ทั้งหมดทำให้ DNA template ที่จะใช้เป็นแม่แบบในการสังเคราะห์ดีอีนเองใหม่ไม่มีน้อยส่งผลทำให้กระบวนการเพิ่มปริมาณดีอีนเกิดขึ้นได้น้อยลง ทำให้ไม่สามารถตรวจเจอดีอีนของโครโนไซม์เพศชายได้

สรุป

จากการศึกษาโอกาสการพบหลักฐานในคดีกระทำชำเรา โดยการตรวจดีอีนของโครโนไซม์เพศชายในคำแห่งนั่ง DYS 393 เพื่อเป็นตัวปัจชัยการมีเพศสัมพันธ์ เทียบกับการตรวจหาตัวอสุจิจากน้ำซับช่องคลอดของผู้เสียหาย 60 ราย พบว่ามีความแตกต่างกันอย่างมีนัยสำคัญทางสถิติที่ค่า $p = 0.000$ และเมื่อได้ศึกษาในกลุ่มอย่างของน้ำซับช่องคลอดตามปริมาณที่ตรวจพบตัวอสุจิ พบว่า ใน 30 ตัวอย่างที่ตรวจพบตัวอสุจิได้ถึง 27 ตัวอย่างจากทั้งหมด 30 ตัวอย่าง และเมื่อพิจารณาตามปริมาณที่ตรวจพบตัวอสุจิตามเกณฑ์ 1+, 2+ และ 3+ พบว่าสามารถตรวจเจอลักษณะดีอีนออนไลรแซทเทลไลท์คำแห่งนั่ง DYS 393 ได้ถึง 85.7%, 94.4% และ 100% ตามลำดับ จะเห็นได้ว่าการตรวจเจอดีอีนออนไลรแซทเทลไลท์คำแห่งนั่ง DYS 393 จะมีการแปรผันไปตามการตรวจพบตัวอสุจิ และในตัวอย่างที่ตรวจไม่พบตัวอสุจิ 30 ตัวอย่าง ก็พบว่าสามารถตรวจเจอลักษณะดีอีนออนไลรแซทเทลไลท์คำแห่งนั่ง DYS 393 ได้ถึง 23 ตัวอย่างจากทั้งหมด 60 ตัวอย่างคิดเป็น 85% ดังนั้นจากการค้นคว้าสามารถแสดงให้เห็นได้ว่าโอกาสการพบหลักฐานในคดีกระทำชำเรา โดยการตรวจดีอีนของโครโนไซม์เพศชายในคำแห่งนั่ง DYS 393 สามารถใช้ในการตรวจพิสูจน์วัตถุพยานในการกระทำชำเรา ร่วมกับการตรวจหาตัวอสุจิเพื่อเป็นตัวบ่งชี้การมีเพศสัมพันธ์ได้ เพื่อที่จะช่วยเพิ่มโอกาสและความน่าเชื่อถือในการตรวจพบวัตถุพยานที่เกี่ยวกับคดีการกระทำชำเราได้มากขึ้น

กิตติกรรมประกาศ

ผู้เขียนขอขอบคุณ ภาควิชานิติเวชศาสตร์ และศูนย์ส่วนดูแลอยุพันธุศาสตร์ คณะแพทยศาสตร์ มหาวิทยาลัยเชียงใหม่ ที่กรุณาให้ใช้สถานที่และเครื่องมือสำหรับทำการศึกษาในครั้งนี้

References

1. โภษณ พิสุทธิชัย. (2553). “การป้องกันตนของจากการตกเป็นเหยื่อในคดี “บ่มขืน”. [ระบบออนไลน์] แหล่งที่มา http://engb.facebook.com/note.php?note_id=163356457022535 (19 ตุลาคม 2553)
2. จินดนา ประคุจกัญญา. (2552). โครงการอบรมวิชาการ การปฏิบัติงานด้านนิติเวชศาสตร์สำหรับแพทย์จังหวัดชายแดนภาคใต้ ครั้งที่ 1: DNA กับงานนิติเวชศาสตร์ (หน้า 101-117), หน่วยนิติเวชศาสตร์และพิมวิทยา ภาควิชาพยาธิวิทยา คณะแพทยศาสตร์ มหาวิทยาลัยสงขลานครินทร์
3. อรรถพล แย้มสุวรรณ. นิติวิทยาศาสตร์ 3 เพื่อการสืบสวนสอบสวน. พิมพ์ครั้งที่ 1. กรุงเทพ: ดาวฤกษ์; 2544
4. วิจารย์ ทะสุยะ และ ชาనินทร์ ภู่พัฒน์. SOP DNA Analysis for Forensic Medicine. พิมพ์ครั้งที่ 1. เชียงใหม่: ภาควิชานิติเวชศาสตร์ คณะแพทยศาสตร์ มหาวิทยาลัยเชียงใหม่; 2005
5. อารยา ชาติเสถียร. ชีวสถิติ (BIOSTATISTIC). พิมพ์ครั้งที่ 1. เชียงใหม่: ภาควิชาชีววิทยา คณะวิทยาศาสตร์ มหาวิทยาลัยเชียงใหม่; 2550
6. Parson W, Niederstatter H, Kochl S, Steinlechner M, Berger B. When autosomal short tandem repeat fail: Optimized primer and reaction design for Y-chromosome short tandem repeat analysis in forensic casework. *Croat Med J* (2001) 42(3): 285-287.
7. Caine L, Pereira MJ, Pinheiro MF. Identification of several profiles in a sexual assault case. *Forensic Science International: Genetics Supplement Series* 1 (2008) 403-404.
8. Chomont N, Gresenguet G, Levy M, Hocini H, Becquart P, Matta M, et al. Detection of Y chromosome DNA as evidence of semen in cervicovaginal secretions of sexually active women. *Clin Diagn Lab Immunol* 2001 September; 8(5): 955-8.
9. Chun BW, Shin SC, Kim YJ, Kyung-Sook Kim KS, Dong-Ho Choi DH, Kim KH, et al. Allele frequencies and haplotypes of the STR loci of the PowerPlex Y-system in southern populations from Korea. *Forensic Sci Int* 148 (2005) 225–31.
10. Hara M, Kido A, Takada A, Adachi N, Saito K. Genetic data for 16 Y-chromosomal STR loci in Japanese. *Legal Med* 9 (2007) 161–70.

การวิเคราะห์หาอัตราการถ่ายพันธุ์ของไข้โคคอนเดรียลดีเอ็นเอบริเวณ

Hypervariable region ในจังหวัดพิษณุโลก

สายศิริ มีระseen *

สุทธศัน ดวงจิตร **

บทคัดย่อ

ปัจจุบันได้มีการนำดีเอ็นเอมาใช้ตรวจพิสูจน์บุคคลในงานทางนิติวิทยาศาสตร์ แต่หากสิ่งส่งตรวจอยู่ในสภาพไม่สมบูรณ์ เน่าเปื่อย หรือมีอุญภ่าแก่ และไม่สามารถตรวจจากนิวเคลียร์ดีเอ็นเอได้ จึงมีการพัฒนาวิธีการตรวจพิสูจน์บุคคลด้วยไข้โคคอนเดรียลดีเอ็นเอ เมื่อจากมีความแปรผันของลำดับเบสในประชากรเชื้อชาติเดียวกัน ซึ่งสามารถนำมาใช้ตรวจพิสูจน์บุคคลและความสัมพันธ์เครือญาติได้ กะยะผู้วิจัยจึงศึกษาความผันแปรของลำดับเบสของไข้โคคอนเดรียลดีเอ็นเอที่บริเวณ HVR I, II และ III ของประชากรที่อาศัยในจังหวัดพิษณุโลก ซึ่งไม่มีความสัมพันธ์ทางสายเลือดจำนวน 100 คน พบว่าที่บริเวณ HVR I, II และ III มีตัวบ่งชี้เอกลักษณ์ที่จำเพาะ 81, 74 และ 13 haplotypes ตามลำดับ และมีความหลากหลายของ haplotype เท่ากับ 0.9943, 0.9853 และ 0.7973 ตามลำดับ มีค่ากำลังการแยกแยะ (PD) 0.9844, 0.9754 และ 0.7858 ตามลำดับ เมื่อวิเคราะห์ร่วมกันระหว่างบริเวณ HVR I และ II จะทำให้ได้ค่ากำลังการแยกแยะเพิ่มขึ้นถึง 0.9896 และเพิ่มขึ้นเป็น 0.9900 เมื่อวิเคราะห์ร่วมกันทั้ง 3 บริเวณ ซึ่งข้อมูลตั้งกล่าวเป็นประโยชน์อย่างมากในการศึกษาพันธุ์และวิัฒนาการของชาวพื้นเมืองในจังหวัดพิษณุโลก และสามารถนำมาใช้เป็นทางเลือกในการตรวจพิสูจน์เอกลักษณ์บุคคลของประชากรพิษณุโลกและเขตภาคเหนือตอนล่าง นอกจากนี้ยังสามารถนำมาศึกษา SNPs (single nucleotide polymorphisms) เพื่อใช้เป็นตัวบ่งชี้เอกลักษณ์ที่จำเพาะ (biomarker) ของโรคทางระบบประสาทในเขตภาคเหนือตอนล่างต่อไปในอนาคต

คำสำคัญ ไข้โคคอนเดรียลดีเอ็นเอ บริเวณที่มีความหลากหลาย (HVR) และจังหวัดพิษณุโลก

* ภาควิชาชีวเคมี คณะวิทยาศาสตร์การแพทย์ มหาวิทยาลัยนเรศวร พิษณุโลก

** ภาควิชาสรีรวิทยา คณะวิทยาศาสตร์การแพทย์ มหาวิทยาลัยนเรศวร พิษณุโลก

Mutation Rate of Mitochondrial DNA at Hypervariable Region in Phitsanulok Province

Saisiri Mirasena *

Suthat Duangchitra **

ABSTRACT

At present, DNA technology was used to forensically personal identifications. For nuclear DNA, there is limitation in degraded, decomposed or old biological evidences. According to geographic distribution, mitochondrial DNA has many haplotypes so it was applied to forensically personal identification, especially in maternal inheritance. We studied the polymorphism of mtDNA at hypervariable regions (HVR) in 100 Phitsanulok populations that were not maternally related. The haplotypes in each HVR region were 81, 74, 13 and haplotype diversities were 0.9943, 0.9853 and 0.7973, respectively. The power of discrimination (PD) in each region were 0.9844, 0.9754 and 0.7858, respectively. The combined of HVR I and II was 0.9896 and increased to 0.9900 when combined all three HVRs. This data were very informative for study of anthropology and geaneology in Phitsanulok population and were used in forensically personal identification in this area. Moreover, these data would be very benefited for study of single nucleotide polymorphisms (SNP) and used as biomarkers in neuroscience degenerative diseases at this area.

Keywords: mitochondrial DNA, hypervariable region, Phitsanulok province

* Department of Biochemistry, Faculty of Medical Science, Naresuan University, Phitsanulok

** Department of Physiology, Faculty of Medical Science, Naresuan University, Phitsanulok

วารสารนิติศาสตร์ ปีที่ 4 ฉบับที่ 2

มกราคม – เมษายน พ.ศ.2555

บทนำ

ในปัจจุบันได้มีการนำวิทยาการและเทคโนโลยีด้านดีเอ็นเอมาใช้ตรวจพิสูจน์บุคคลในงานทางนิติวิทยาศาสตร์กันอย่างแพร่หลาย ซึ่งมีส่วนช่วยในการไขคดีต่างๆ มากมายรวมทั้งด้านอาชญากรรม การพิสูจน์บุคคลสูญหาย รวมทั้งกรณีภัยพิบัติใหญ่ เช่น 津านมิ โคลนดัล หรือเครื่องบินตก เป็นต้น โดยดีเอ็นเอที่นำมาใช้ส่วนใหญ่เป็น nuclear DNA บริเวณ non-coding region ที่เรียกว่า VNTR (Variable Number Tandem Repeat) และ STR (Short Tandem Repeat) ซึ่งมีข้อจำกัดในกรณีที่สิ่งส่งตรวจอยู่ในสภาพไม่สมบูรณ์ เน่าเปื่อย หรือมีอายุเก่าแก่ จึงมีการพัฒนาวิธีการตรวจพิสูจน์บุคคลด้วยไม่ടอกอนเดรียลดีเอ็นเอ (mtDNA) เช่น การตรวจพิสูจน์วงศ์พของพระเจ้าชาวนิโคลัสที่สอง การตรวจพิสูจน์โครงกระดูกของทหารที่เสียชีวิตในสังคրามเวียดนาม หรือสังค្រាមເກາະລີ หรือการตรวจความสัมพันธ์ระหว่างเครือญาติ เป็นต้น

ไม่टอกอนเดรียลดีเอ็นเออยู่ในออร์แกนแนลที่เรียกว่าไม่ಟอกอนเดรีย ซึ่งจะมีถักยอะเป็นวงกลมสองสายพันกัน สายที่มีเบสเพียรินมาก เรียกว่า H-strand และอีกสายที่มีเบสไพริมิดินมากเรียกว่า L- strand มีความยาวลำดับเบสทั้งหมด 16,569 คู่เบส และทำการถอดรหัสขึ้นเพื่อใช้ในกระบวนการขยายจีโนทิปด้วยชุดเซลล์ทั้งหมด 37 คู่ในไม่টอกอนเดรียลดีเอ็นเอพบได้มากภายในเซลล์ (high copy number) สามารถถ่ายทอดจากแม่สู่ลูก (maternal inheritance) ทำให้ผู้ที่มีความสัมพันธ์ทางสายโลหิตฝ่ายแม่ จะมีรหัสพันธุกรรมของไม่�อกอนเดรียลดีเอ็นเอเหมือนกัน นอกจากนี้ยังพบว่า ไม่টอกอนเดรียลดีเอ็นเอไม่มีการ recombination (lack of recombination) และมีความแปรผันของลำดับเบส (mutation rate) สูงกว่าใน nuclear DNA จึงมีการนำมาใช้ศึกษาวิถีทางการของมนุษย์ การจำแนก species เช่น cytochrome b การศึกษาทางมนุษยวิทยา โดยการสังเกตถักยอะของลำดับเบสที่มีการวิวัฒนาการ พบว่า ประชากรในโลกล้วนมีถิ่นกำเนิดจากทวีปแอฟริกา และมีการอพยพข้ายังถิ่นแห่งยาโยไปทั่วโลกตามทฤษฎี Mitochondrial Eve นอกจากนี้ยังสามารถจำแนกกลุ่มประชากรตามความพันแปรของเบสในตำแหน่งต่างๆ (haplogroup) ซึ่งมีการเปรียบเทียบหาลักษณะของเบสในส่วน control region ในกลุ่มประชากรแอฟริกันอเมริกันและกลุ่มคนผิวขาวในอเมริกาได้

Non-coding region ที่ใช้ในการตรวจพิสูจน์บุคคลมี 2 บริเวณคือ Hypervariable region (HVR) I และ II ซึ่งเป็นบริเวณที่มีความแปรผันของเบสค่อนข้างสูง มีรายงานว่า ในประชากรไทยพบความแปรผันของ HVR I และ HVR II เพ่ากัน 27.70% และ 16.78 % ตามลำดับ ก็คือเป็นค่าที่ถูกแบ่งของทั้งสองตำแหน่ง

(Combined Discrimination Power) มีค่าเท่ากับ 0.9872 โดยสิ่งที่จะพน คนที่มีลำดับเบสเหมือนกัน (random match probability) มีค่าเท่ากับ 0.0128 ซึ่งมีค่าสูงเมื่อเทียบกับการตรวจด้วย STR ซึ่งมีค่าเท่ากับ 5.01×10^{-18}

การตรวจพิสูจน์ความสัมพันธ์เครือญาติในบางครั้งก็ประสบปัญหาเกี่ยวกับการกลายพันธุ์ ซึ่งบริเวณที่ทำการกลายพันธุ์ที่พบได้มากที่สุดคือบริเวณของ control region หรือ non-coding region เกิดจาก DNA polymerase ซึ่งมีสมบัติ proof reading โดยสามารถแก้ไขซ่อนแซมความผิดพลาดจากการคัดลอกสายดีเอ็นเอ กับว่าอัตราการกลายพันธุ์ของไม่โตกอนเครียลดีเอ็นเอหั้งหมาดมีค่าประมาณ 0.017×10^{-6} ตำแหน่งต่อปี เมื่อพิจารณาเฉพาะส่วนของ control region พบว่ามีอัตราการเกิดการกลายพันธุ์ได้สูงถึง 0.075×10^{-6} ตำแหน่งต่อปี สำหรับการกลายพันธุ์โดยตรงจากการสืบทอดในเครือญาติ หรือในครอบครัวมีค่าเฉลี่ยสูงถึง 0.47×10^{-6} ตำแหน่งต่อปี บางแห่งพบว่าโอกาสที่จะเกิดการกลายพันธุ์ในส่วนของ Control region เทียบต่อรุ่นสูงถึง 1.2×10^{-6} ถึง 2.7×10^{-6} ต่อตำแหน่งต่อรุ่นเลยที่เดียว จากข้อมูลดังกล่าวพบว่า อัตราการกลายพันธุ์ในไม่โตร กอนเครียลดีเอ็นเอมีความอ่อนข้างสูง และสามารถเกิดขึ้นได้ในดีเอ็นเอแต่ละส่วนของร่างกาย (heteroplasmy) (ร่างกายมีลำดับเบสในตำแหน่งเดียวกันอยู่หลายตัว) เหตุการณ์ดังกล่าวอาจเกิดได้หลายกรณี เช่น เนื้อเยื่อเดียวกันมีลำดับเบสไม่เหมือนกัน หรือในเนื้อเยื่อต่างชนิดกันของคนเดียวกัน มีลำดับเบสแตกต่างกัน ซึ่งการกลายพันธุ์ในลักษณะนี้ ก็ให้เกิดปัญหาในการพิสูจน์ไม่โตกอนเครียลดีเอ็นเออย่างมาก เนื่องจากลำดับเบสที่ได้จากการทำการอ่านลำดับเบส (sequencing) จะมีลักษณะคล้ายกับการที่ตัวอย่างสิ่งส่งตรวจมีการปนเปื้อน (contamination) ทำให้ยากต่อการตรวจพิสูจน์ ในประชากรของไทย พบว่าอาจมีอัตราการกลายพันธุ์ที่แตกต่างกันในแต่ละกลุ่ม ไม่ว่าจะเป็นจากการกลายพันธุ์มีหลายอย่าง คณะผู้วิจัยจึงหาความแปรผันและอัตราการกลายพันธุ์ของลำดับเบส 10 ไม่โตกอนเครียลดีเอ็นเอ ในประชากรภาคเหนือตอนล่างของประเทศไทยเพื่อใช้ตรวจพิสูจน์บุคคลและ ความสัมพันธ์เครือ และนำมาใช้ในการตรวจพิสูจน์บุคคล ความสัมพันธ์ทางเครือญาติในงานทางนิติวิทยาศาสตร์ คณวิทยาศาสตร์การแพทย์ มหาวิทยาลัยนเรศวร รวมทั้งเป็นข้อมูลพื้นฐานในการศึกษาชาติพันธุ์ (Genealogy) วิวัฒนาการ และมนุษยวิทยา (Anthropology) ของประชากรในพื้นที่ที่ศึกษา นอกจากนี้ ยังสามารถนำมาใช้เป็นตัวบ่งชี้ออกลักษณะที่จำเพาะ (biomarkers) ของโรคต่างๆ ในเบตภาคเหนือตอนล่างต่อไปใน

ระเบียบวิธีวิจัย

เมื่อได้รับอนุญาตในการดำเนินการวิจัยในมนุษย์แล้ว จึงดำเนินการเก็บสารพันธุกรรมจากเซลล์เยื่อบุกระเพื้องแก้ม (buccal cells) ของประชากรที่อาศัยอยู่ในจังหวัดพิษณุโลกจำนวน 100 คน ที่ไม่มีความเกี่ยวพันทางสายเลือด จากนั้นจึงสกัดดีเอ็นเอจากเซลล์เยื่อบุกระเพื้องแก้มด้วยวิธี Chelex 100 แล้วจึงเพิ่มปริมาณดีเอ็นเอที่ตัวแหน่ง Hypervariable region (HVR) I, II และ III โดยมีความเข้มข้นของส่วนผสมต่าง ๆ คือ 0.2 mM dNTPS, 1.5 mM MgCl₂, 0.05 U/μl Taq DNA Pol (QIAGEN, Germany) และ 0.2 μM HVR I, II และ III primers ดังตารางที่ 1

ตารางที่ 1 แสดงค่าดัชนี primers ที่ใช้เพิ่มปริมาณไม่ต้องเครื่องดีเอ็นเอบริเวณ HVR I, II และ III (ที่มา: Lutz *et al.* และ Parson *et al.*)

Region	Primers	Sequence (5' → 3')
HVR I	L15997	5'-cacatttagcacaacaagct-3'
	H16401	5'-tgatttcacggaggatggtg-3'
HVR II	L29	5'-ggtctataccctattaaccac-3'
	H408	5'-ctgttaaaagtgcatacgcca-3'
HVR III	L128	5'-cgcacctacgltcaatattac-3'
	H619	5'-ggtgtatgtgagcccgctaa-3'

จากนั้นนำไปเพิ่มปริมาณด้วยเครื่อง thermocycler 9700 (Perkin Elmer) pre-denaturation ที่อุณหภูมิ 94°C เวลา 4 นาที denaturation 94 °C เวลา 45 วินาที annealing 55 °C เวลา 55 วินาที และ extension ที่ 72 °C เป็นเวลา 3 นาที จากนั้นทำซ้ำอีก 30 รอบ แล้วจึง final extension 72 °C เป็นเวลา 7 นาที แล้วจึงตรวจสอบด้วย 2% agarose gel electrophoresis แล้วทำให้ amplicon บรรลุที่ (purification) ด้วย QIAquick PCR purification kit (QIAGEN, Germany) แล้วจึงวิเคราะห์หาลำดับเบสด้วยเครื่องวิเคราะห์ลำดับเบสอัตโนมัติ (DNA Sequencing) แล้วจึงนำลำดับเบสที่ได้มาอ่านเปรียบเทียบกับลำดับเบสสำเร็จของ Anderson หรือ Cambridge Reference

Sequence (CRS) เพื่อหาแบบที่แตกต่างกัน และหา Haplotype เพื่อนำมาหาค่าสถิติ คือ random match probability (p), discrimination power (DP), haplotype diversity ของประชากรในจังหวัดพิษณุโลก

ผลและการอภิปรายผลการวิจัย

จากการศึกษาประชากรจังหวัดพิษณุโลก จำนวน 100 คน ด้วยเทคนิค DNA sequencing พบว่า ความแปรผันของลำดับเบสของไมโทคอนเดรียลดีเอ็นเอ (polymorphism) รูปแบบความซ้ำจำเพาะของลำดับเบส (haplotype) และความหลากหลาย (haplotype diversity) ความสามารถในการแยกแยะ (PD) และ random match probability ที่บริเวณ HVR ทั้งสาม (HVR I, II, III) แสดงในตารางที่ 2 และ 3

ตารางที่ 2 แสดงความแปรผันของลำดับเบสของไมโทคอนเดรียลดีเอ็นเอ รูปแบบความซ้ำจำเพาะของลำดับเบส (haplotype) และ ความหลากหลาย (haplotype diversity) ความสามารถในการแยกแยะ (PD) และ random match probability ที่ HVR I, II, III

HVR Region	Polymorphisms	Haplotype	Haplotype diversity	Power of Discrimination		Random match Probability (p)
				(PD)		
HVR I	81	97	0.9943	0.9844		0.0156
HVR II	74	40	0.9853	0.9754		0.0246
HVR III	16	13	0.7937	0.7858		0.2142

ตารางที่ 3 แสดงตำแหน่งที่มีการเปลี่ยนแปลงลำดับเบสของไมโทคอนเดรียลดีเอ็นเอ (Haplotype) ที่ HVR I, II, III เมื่อเปรียบเทียบ กับลำดับเบสมาตรฐาน Cambridge Reference Sequence (CRS)

HVR Region	Haplotypes
HVR I	16041 16042 16051 16058 16059 16075 16086 16093 16097 16108 16109 16118 16124 16126 16129 16136 16140 16141 16147 16148 16153 16157 16161 16162 16167 16169 16172 16173 16181 16182 16183 16184 16187 16189 16192 16193 16194 16206 16209 16212 16214 16217 16218 16219 16221 16223 16224 16225 16232 16234 16235 16239 16244 16249 16256 16257 16259 16260 16261 16263 16264 16266 16270 16271 16272 16274 16278 16287 16288 16290 16291 16292 16293 16294 16295 16296 16297 16298 16301 16304 16309 16311 16312 16316 16319 16320 16324 16325 16327 16328 16334 16344 16352 16354 16355 16357 16362

ภาควิชาเคมีเคมีศาสตร์ ปีที่ 4 ฉบับที่ 2

มกราคม - เมษายน พ.ศ. 2555

HVR II 073 091 093 114 125 127 128 131 143 146 150 151 152 153 184 185 187 189 194 195 199 200 204 205 207 210 228 229 246

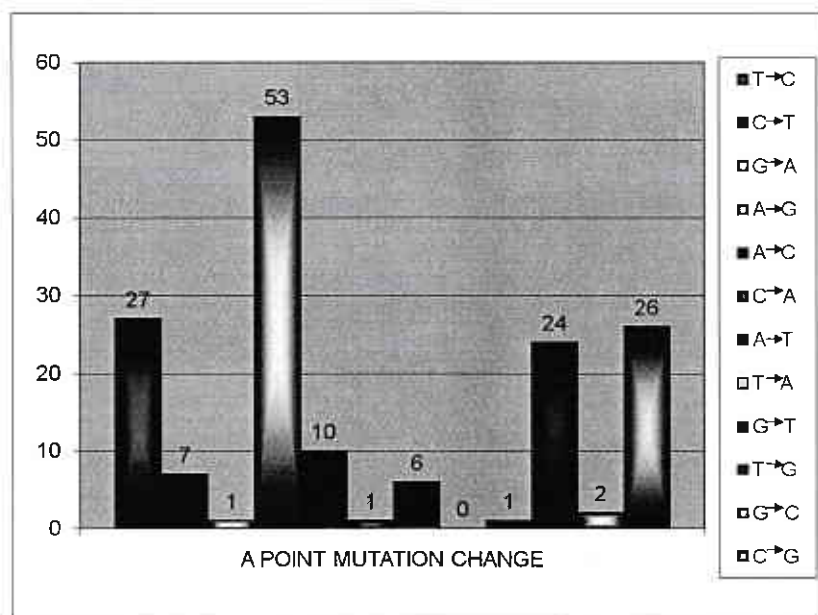
249 263 298 309 315 316 318 324 326 329 332

HVR II 455 463 464 466 479 482 485 489 513 522 523 553 568

ตารางที่ 4 แสดงรูปแบบของลำดับเบสที่มีการเปลี่ยนแปลงไปเมื่อเทียบกับลำดับเบสมาตรฐานของ Anderson's sequence ที่ปริเวณตำแหน่ง HVR II มีการเปลี่ยนแปลงของลำดับเบสซึ่งแสดงไว้ดังนี้

ลำดับเบสที่มีการเปลี่ยนแปลง	จำนวนครั้งของลำดับเบสที่มีการเปลี่ยนแปลง	
T → C	27	88
C → T	7	
G → A	1	
A → G	53	
A → C	10	
C → A	1	
A → T	6	70
T → A	1	
G → T	1	
T → G	24	
G → C	2	
C → G	26	
Insertion	24	
Deletion	8	
% Transition	55.70	
% Transversion	44.30	

แผนภูมิที่ 1 รูปแบบของลำดับเบสที่มีการเปลี่ยนแปลงเมื่อนำไปเทียบกับลำดับเบสมมาตรฐานของ Anderson's sequence ที่บริเวณตัวแหน่ง HVR II



เมื่อพิจารณาลักษณะการเปลี่ยนแปลงที่เกิดขึ้นในตัวแหน่งบริเวณ HVR II จะเห็นได้ว่าตัวแหน่งเบสที่มีการเปลี่ยนแปลงไปจากลำดับเบสมหา屋ฐานของ Anderson's sequence มีลักษณะการเปลี่ยนแปลงที่พบด้วยกันทั้งหมด 4 แบบ ดังนี้

1. Transition กือการเปลี่ยนแปลงลำดับเบสในหมู่เดียวกัน ได้แก่

- purine/purine A → G, G → A

- pyrimidine/pyrimidine C → T, T → C

2. Tranversion กือการเปลี่ยนแปลงลำดับเบสในหมู่เบสที่ต่างกัน ได้แก่

- purine/pyrimidine A → T, A → C, G → C, G → T

- pyrimidine/purine C → G, C → A, T → A, T → G

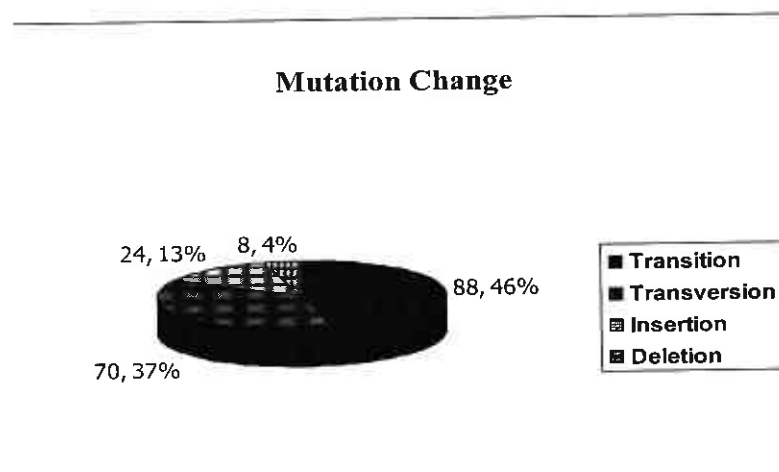
รายงานนิติเวชศาสตร์ ปีที่ 4 ฉบับที่ 2

มกราคม – เมษายน พ.ศ.2555

3. Insertion คือการเปลี่ยนแปลงลำดับเบส โดยมีการแทรกหมู่เบสเข้ามาในลำดับเบสนั้น

4. Deletion คือการเปลี่ยนแปลงลำดับเบส โดยมีการหายของหมู่เบสในลำดับเบสนั้น

แผนภูมิที่ 2 รูปแบบของลำดับเบสที่มีการเปลี่ยนแปลงที่พบในกลุ่มประชากรจังหวัดพิษณุโลกจำนวน 21 ราย



ตารางที่ 5 แสดงผลการทดลองลักษณะลำดับเบสในกลุ่มประชากรจังหวัดพิษณุโลกพบว่าลักษณะเบสมีความหลากหลายทางพันธุกรรมถึง 19 แบบ จากจำนวนทั้งหมด 21 คนซึ่งแสดงไว้ดังนี้

ลักษณะความหลากหลายทางพันธุกรรม	จำนวนความถี่	X_i	X_i^2
73G 189G 207A 226G 263G	1	0.047619	0.002267569161
73G 135C 150T 196G 204G 206G 208G 222G 226G 248G 252G 256G 257C 263G 270C 297C 300C 310C	1	0.047619	
73G 210G 263G 310C 324G	1	0.047619	0.002267569161
73G 135C 138C 263G	1	0.047619	0.002267569161

รายงานนิติเวชศาสตร์ ปีที่ 4 ฉบับที่ 2

มกราคม - เมษายน พ.ศ.2555

73G 263G	1	0.047619	0.002267569161
73G 84T 85C 195C 210G 263G	1	0.047619	0.002267569161
73G 84T 263G	3	0.142858	0.020408408164
73G 84T 138C 146C 263G 309.I+C 316.I+C	1	0.047619	0.002267569161
73G 84T 85C 135C 138C 139C 151T 263G 309.I+C 316.I+C	1	0.047619	0.002267569161
73G 135C 139C 142C 210G 263G 308309+2C	1	0.047619	0.002267569161
73G 142C 150T 198C 204C 263G 309.I+C 316.I+C	1	0.047619	0.002267569161
73G 154A 186G 195C 206G 208G 222G 226G 248G 249-C 252G 263G 270C 295T 309.I+C 320T 330G	1	0.047619	0.002267569161
73G 142-T 145C 226G 228T 249-A 263G 309.I+C 316.I+C 324G	1	0.047619	0.002267569161
73G 114T 131G 142C 186G 204G 206G 222G 248G 252G 256G 257C 263G 270C 297C	1	0.047619	0.002267569161
73G 186G 226G 252G 263G 309.I+C 316.I+C	1	0.047619	0.002267569161
73G 138C 139C 186G 206G 208G 221G 225G 256G 263G 270C	1	0.047619	0.002267569161
73G 249-A 263G 316.I+C	1	0.047619	0.002267569161
73G 138C 152C 186G 222G 226G 252G 263G 309.I+C 324G	1	0.047619	0.002267569161
73G 138C 150T 186G 198C 206G 208G 221G 225G 248G 252G 256G 263G 270C 316.I+C 317G 324G 330G 335T 338A	1	0.047619	0.002267569161
SUM	21	1	0.061224653062
1-SUM [1-$\sum X_i^2$]			0.938775346938

Random match probability

$$P = \underline{\sum} (X_i^2) = 0.0612$$

Discrimination power

$$D_p = 1 - \sum X_i^2 = 0.9387$$

Haplotype diversity

$$h = \frac{(1 - \sum X_i^2)n}{n-1} = 0.9909$$

จากการศึกษาพบว่า ลักษณะลำดับเบสของไมโทคอนเดรียลดีอีนเอที่บริเวณตำแหน่ง HVR II ของกลุ่มประชากรในจังหวัดพิษณุโลกจำนวน 21 คน พบว่ามีความหลากหลายทางพันธุกรรม โดยคู่ค่าจาก Haplotype diversity เท่ากับ 0.9909 และโอกาสที่จะพบคนคนหนึ่งที่ไม่มีความสัมพันธ์ทางสายเลือดเดียวกันที่จะมีลักษณะลำดับเบสที่เหมือนกันนั้น โดยคู่ค่าจาก Random match probability เท่ากับ 0.0612

ค่าความหลากหลายทางพันธุกรรมที่พบในบริเวณตำแหน่ง HVR II ของกลุ่มประชากรจังหวัดพิษณุโลก พบว่ามีความหลากหลายสูงมากถึง 0.9909 คิดเป็น 99.09 % ด้วยความหลากหลายทางพันธุกรรมของบริเวณตำแหน่ง HVR II นี้สามารถที่จะนำไปใช้เป็นข้อมูลในการคุ้ยค่ากำลังการแยกแยะ (Discrimination power) ได้ซึ่งมีรายจายวิจัยอื่นๆที่ทำการศึกษาหาลำดับเบสของไมโทคอนเดรียลดีอีนเอในบริเวณตำแหน่ง HVR I และ HVR II ร่วมด้วย ได้รายงานว่า เมื่อทำการศึกษาริเวณทั้ง 2 ตำแหน่งนี้ร่วมกันพบว่ามีความหลากหลายทางพันธุกรรมมากยิ่งขึ้น สามารถที่จะนำการตรวจไมโทคอนเดรียลดีอีนเอที่ตำแหน่ง HVR I และ HVR II มาใช้ในงานนิติวิทยาศาสตร์ ทั้งในเรื่องการพิสูจน์บุคคลและการพิสูจน์ความสัมพันธ์ทางสายเลือดมาเดียวกัน ดังนั้นในการศึกษารึงนี้ผู้ทำการศึกษาได้ให้ความยืนยันสนับสนุนเกี่ยวกับการใช้ตำแหน่ง HVR II เป้ามาช่วยในการพิสูจน์บุคคลร่วมกับการใช้ตำแหน่ง HVR I ว่าในความหลากหลายทางพันธุกรรมของไมโทคอนเดรียลดีอีนเอที่บริเวณตำแหน่ง HVR II นี้พบว่ามีความหลากหลายสูงมาก ดังนั้นในค่าความหลากหลายทางพันธุกรรมของตำแหน่ง HVR II นี้สามารถที่จะนำไปใช้เป็นข้อมูลเข้ามาช่วยคู่ค่ากำลังการแยกแยะซึ่งเฉพาะบุคคลในกลุ่มประชากรจังหวัดพิษณุโลกกลุ่มนี้ได้ และจากข้อมูลรายงานวิจัยอื่นๆที่ทำการศึกษายังได้รายงานอีกว่าในกลุ่มประชากรคนไทยภาคเหนือ พบว่าลำดับเบสของตำแหน่ง HVR II มี 2 ตำแหน่งที่มีลักษณะจำเพาะต่อกลุ่ม

ประชากรคนไทยภาคเหนือ คือ ตัวแทนที่ 73 และ 263 ซึ่งพบการเปลี่ยนแปลงของลำดับเบสจาก Adenine (A) ตามลำดับบนมาตรฐานของ Anderson's sequence เป็น Guanine (G) ในทุกรายทั้ง 2 ตัวแทน และในงานวิจัยที่ผู้นำการศึกษารังนี้ก็พบว่าในกลุ่มประชากรจังหวัดพิษณุโลกจำนวน 21 คนนี้ มีการเปลี่ยนแปลงลำดับเบสทั้ง 2 ตัวแทน คือ 73G และ 263G ทุกราย ดังนั้นอาจจะข่ายเป็นการยืนยันได้ว่า การเปลี่ยนแปลงลำดับเบสของทั้ง 2 ตัวแทนนี้จำเพาะต่อกลุ่มประชากรในคนไทยภาคเหนือก็ได้ และเป็นที่สนใจได้ว่า การเปลี่ยนแปลงลำดับเบสที่จำเพาะต่อกลุ่มประชากรคนไทยภาคเหนือนั้นสามารถที่จะนำไปเปรียบเทียบการเปลี่ยนแปลงของลำดับเบสในตัวแทนต่างๆของแต่ละเชื้อชาติได้

สรุปผลการศึกษา

จากกลุ่มประชากรในจังหวัดพิษณุโลกลักษณะไม่โตกอนเครียลดีเย็นเอทีบริเวณตัวแทน HVR II ที่ไม่มีความสัมพันธ์ทางสายเลือดมารดาเดียวกันจำนวน 50 คน สามารถตรวจได้สำเร็จเป็นจำนวน 21 คน แยกแยะลักษณะลำดับเบสได้ทั้งหมด 19 แบบ พบทะแหน่งของเบสที่เปลี่ยนแปลงไปจากลำดับเบสของ Anderson's sequence 53 ตัวแทน โอกาสที่คนคนหนึ่งจะพบลักษณะของเบสช่วงตรงนี้โดยบังเอิญเท่ากับ 0.0612 คิดเป็น 6.12 % และมีค่าการกระจายตัวของลักษณะลำดับเบส หรือ ค่าความหลากหลายทางพันธุกรรมสูงมาก เท่ากับ 0.9909 คิดเป็น 99.09 % ซึ่งหมายความว่ามีข้อมูลที่ใช้ในการคุ้มครองและแยกแยะเชื้อชาติได้ ซึ่งหมายความว่า ที่จะนำมาใช้ในงานนิติวิทยาศาสตร์ ทั้งในแง่การพิสูจน์บุคคลและการพิสูจน์ความสัมพันธ์ทางสายเลือดมารดาเดียวกัน และพบว่าลักษณะลำดับเบสที่จำเพาะต่อประชากรในจังหวัดพิษณุโลกสามารถที่จะนำมาเปรียบเทียบกับคนเชื้อชาติอื่นๆได้ ในส่วนนี้อาจจะเป็นประโยชน์ในการใช้ทำนายเชื้อชาติหรือกลุ่มประชากรอื่นๆได้ และเป็นข้อมูลที่ใช้ในการศึกษาวิัฒนาการของมนุษย์ ชาติพันธุ์วิทยา และมนุษย์วิทยา รวมทั้งการนำมาใช้เป็น biomarker ของโรคทางระบบประสาท (neuroscience degenerative diseases) ได้ในอนาคต

วารสารนิติเวชศาสตร์ ปีที่ 4 ฉบับที่ 2

มกราคม – เมษายน พ.ศ. 2555

กิตติกรรมประกาศ

ขอขอบคุณ คุณณัฐพงษ์ เสิงพาณิช ศูนย์นิติวิทยาศาสตร์ คณะวิทยาศาสตร์การแพทย์ มหาวิทยาลัยนเรศวรที่ช่วยดำเนินการจัดเตรียมตัวอย่างดีเยี่ยมและวิเคราะห์หาอัตราการถ่ายพันธุ์ของไข่โดยเครื่องดีเอ็นเอ และขอขอบคุณสำนักงานคณะกรรมการวิจัยแห่งชาติที่สนับสนุนงบประมาณเพื่อการวิจัยนี้

References

1. Budowle B, Allard MW, Wilson MR, Chakraborty R. Forensics and mitochondrial DNA: applications, debates, and foundations. *Ann Rev of Genome Hum Genet* 2003; 4: 119–41.
2. Anderson S, Bankier AT, Barrell BG, et al. Sequence and organization of the human mitochondrial genome. *Nature* 1981; 290: 457–65.
3. Andrews RM, Kubacka I, Chinnery PF, Lightowers RN, Turnbull DM, Howell N. Reanalysis and revision of the Cambridge reference sequence for human mitochondrial DNA. *Nat Genet* 1999; 23: 147.
4. Giles RE, Blanc H, Cann HM, Wallace DC. Maternal inheritance of human mitochondrial DNA. *Proc Natl Acad Proc Natl Acad* 1980; 77: 6715-19.
5. Gill P, Ivanov PL, Kimpton C, Piercy R, Benson N, et al. Identification of the remains of the Romanov family by DNA analysis. *Nat Genet* 1994; 6: 130–35.
6. Herrnstadt C, Elson JL, Fahy E, Preston G, Turnbull DM, et al. Reducedmedian - network analysis of complete mitochondrial DNA coding-region sequences for the major African, Asian, and European haplogroups. *Am J Hum Genet* 2002; 70: 1152–71.
7. Holland MM, Fisher DL, Mitchell LG, Rodriguez WC, Canik JJ, et al. Mitochondrial DNA sequence analysis of human skeletal remains: identification of remains from the Vietnam War. *J Forensic Sci* 1993; 38: 542–53.
8. Jazin E, Soodyall H, Jalonen P, Lindholm E, Stoneking M, Gyllensten U. Mitochondrial mutation rate revisited: hot spots and polymorphism. *Nat Genet* 1998; 18: 109–10.
9. Paabo S. Mutational hot spots in the mitochondrial microcosmos. *Am J Hum Genet* 1996; 59: 493–96.
10. Parsons TJ, Unicue DS, Sullivan K, Woodyatt N, Alliston-Greiner R, et al. A high observed substitution rate in the human mitochondrial DNA control region. *Nat Genet* 1997; 15: 363–68.
11. Schwartz M, Vissing J. Paternal inheritance of mitochondrial DNA. *N Engl J Med* 2002; 347: 576–80.
12. Stoneking M. DNA and recent human evolution. *Evol. Anthropol.* 1993; 2: 60–73.

13. Stoneking M. Hypervariable sites in the mtDNA control region are mutational hotspots. *Am J Hum Genet* 2000; 67: 1029–32.
14. Tanaka M, Cabrera VM, Gonzalez AM, Larruga JM, Takeyasu T, et al. Mitochondrial genome variation in eastern Asia and the peopling of Japan. *Genome Res* 2004; 14: 1832–50.
15. Wakeley J. Substitution rate variation among sites in hypervariable region 1 of human mitochondrial DNA. *J Mol Evol* 1993; 37: 613–23.
16. Yao YG, Bravi CM, Bandelt HJ. A call for mtDNA data quality control in forensic science. *Forensic Sci Int* 2004; 141: 1– 6.
17. Melton T, Dimick G, Higgins B, Lindstrom L, Nelson K. Forensic mitochondrial DNA analysis of 691 casework hairs. *J Forensic Sci* 2005; 50: 73–80.
18. Holland MM, Parsons TJ. Mitochondrial DNA sequence analysis—validation and use for forensic casework. *Forensic Sci Rev* 1999; 11: 21–50.
19. Nelson TM, Just RS, Loreille O, Schanfield MS, Podini D. Development of a multiplex single base extension assay for mitochondrial DNA haplogroup typing. *Croat Med J* 2007; 48: 460-72.
20. van der Walt JM, Dementieva YA, Martin ER, et al., Analysis of European mitochondrial haplogroups with Alzheimer's disease risk. *Neurosci Letter* 2004; 365: 28-32.
21. Nicodemus KK, Martin ER, Scott WK, et al., Mitochondrial polymorphisms significantly reduce the risk of Parkinson disease. *Am J Hum Genet* 2003; 72: 804-11.
22. William C Copeland. Mitochondrial DNA: Method and protocols. Human Press, New Jersey, 2002: p.3-50.
23. Sabine Lutz, Hans J Weisser, Jeannette Heizmann, Stefen Polak. Mitochondrial heteroplasmy among maternal related individuals. *Int J Legal Med* 1999; 113: 155-61.
24. Sabine Lutz, Hans J Weisser, Jeannette Heizmann, Stefen Pollak. Location and frequency of polymorphic positions in the mtDNA control region of individuals from Germany. *Int J Legal Med* 1998; 111: 67-77.
25. Thomas J Parsons, Michael D Coble. Increasing the forensic discrimination of the mitochondrial DNA testing through analysis of the entire mitochondrial DNA genome. *Croat Med J* 2001; 42: 304-9.

การสร้างครามเลือดแพกลปลอมของแมลงวันหัวเขียว *Chrysomya megacephala* และ *Achoetandrus* (= *Chrysomya rufifacies*) บนพื้นผิวที่แตกต่างกัน

นพวรรณ บุญชู *

คำรำพันธุ์ ทองวัฒน์ *

สุนิสา วงศ์ *

แสงชัย นทีวนารถ **

บทคัดย่อ

การศึกษาเกี่ยวกับครามแพกลปลอมที่แมลงวันหัวเขียวสร้างขึ้น มีความสำคัญเป็นอย่างยิ่งในด้านนิติภัยวิทยา เนื่องจากแมลงวันหัวเขียวเป็นแมลงกลุ่มแรกที่มายังสภาพและได้สร้างครามแพกลปลอมทึ้งไว้บนพื้นผิวตุ่มพูพายนในสถานที่เกิดเหตุ ซึ่งอาจทำให้เกิดการประปันกับครามเลือดที่มีความสำคัญในการพิสูจน์คดี ซึ่งก่อให้เกิดความคลาดเคลื่อนในการสืบสวนໄດ້ วัตถุประสงค์ในการศึกษานี้ เพื่อทราบถึงลักษณะการสร้างครามเลือดของแมลงวันหัวเขียวที่มีความสำคัญทางนิติภัยวิทยาในประเทศไทย คือ *Chrysomya megacephala* และ *Achoetandrus* (= *Chrysomya rufifacies*) บนพื้นผิวที่แตกต่างกัน 5 ประเภท ได้แก่ ไม้อัด แผ่นพลาสติก ห้าฝ่ายละเอียด กระดาษถ่ายเอกสารสีขาว 80 แกรม และ โฟมอัดละอัด อโดยทำการเลี้ยงแมลงวันหัวเขียวทั้ง 2 สายพันธุ์ ซึ่งเป็นแมลงวันหัวเขียวที่มีความสำคัญทางนิติภัยวิทยาในประเทศไทย 2 สายพันธุ์ ซึ่งเป็นแมลงวันหัวเขียวที่มีความสำคัญทางนิติภัยวิทยาในประเทศไทย 2 สายพันธุ์ ในกรงเลี้ยงที่บุดดวยพื้นผิวที่ทำการศึกษาแต่ละชนิด กรงละ 1 ตัว ภายในกรงมีเลือดหมูสดและน้ำกลันเป็นเต้มวัยทั้ง 2 สายพันธุ์ ในกรงเลี้ยงที่บุดดวยพื้นผิวที่ทำการศึกษาแต่ละชนิด 1 ตัว ภายในกรงมีเลือดหมูสดและน้ำกลันเป็นเต้มวัยทั้ง 2 สายพันธุ์ ในการศึกษา ใช้ผลการศึกษาพบว่า ครามเลือดที่แมลงวันสร้างขึ้นสามารถจับแนกได้เป็น 3 ลักษณะ ได้แก่ ครามเลือดที่เป็นร่องๆ ที่บุดดวยพื้นผิวที่ทำการศึกษาแต่ละชนิด เพื่อเปรียบเทียบกันระหว่างแมลงวันหัวเขียว 2 สายพันธุ์นี้ จากการศึกษาพบว่า ครามเลือดที่แมลงวันสร้างขึ้นสามารถจับแนกได้เป็น 3 ลักษณะ ได้แก่ ครามเลือดที่เกิดจากการขับถ่าย ครามเลือดที่เกิดจากการสำรอก และครามเลือดที่เกิดจากการเคลื่อนไหวของแมลงวันหัวเขียว 2 สายพันธุ์นี้ จากการศึกษาพบว่า ครามเลือดที่แมลงวันหัวเขียว *C. megacephala* และ *A. rufifacies* 1 ตัว สร้างในเวลา 24 ชั่วโมง เท่ากับ 57.34 และ 40.32 ครั้ง ตามลำดับ เป็นครานเลือดที่เกิดจากการขับถ่าย การสำรอก และการเคลื่อนไหวของแมลงวัน คิดเป็นร้อยละ 61.79, 28.09 และ 10.12 ของจำนวนที่พบทั้งหมด ตามลำดับ ซึ่งขนาดครานเลือดแต่ละรูปแบบบนพื้นผิวแต่ละชนิด ไม่มีความแตกต่างกัน อย่างมีนัยสำคัญทางสถิติ พนักงานสอบสวนสามารถจับแนกครานเลือดของแมลงวันทั้ง 2 สายพันธุ์บนพื้นผิวที่มีรูปแบบใหม่ของครานเลือดที่เกิดจากการเคลื่อนไหวของแมลงวันซึ่งมีลักษณะคล้ายคลอกไม้มีอิกถ่าย ซึ่งผลการศึกษาในครั้งนี้จะเป็นประโยชน์ในการนำไปใช้ด้านนิติภัยวิทยาต่อไป

คำสำคัญ : แมลงวันหัวเขียว ครานเลือดที่เกิดจากการแมลงวัน นิติภัยวิทยา

* คณะวิทยาศาสตร์การแพทย์ มหาวิทยาลัยนเรศวร จังหวัดพิษณุโลก

** คณะสหเวชศาสตร์ มหาวิทยาลัยนเรศวร จังหวัดพิษณุโลก

Production of Blood Stain Artifacts of *Chrysomya megacephala* and *Achoetandrus (= Chrysomya) rufifacies* on the Different Material Surfaces

Nophawan Bunchu *

Damrongpan Thongwat *

Sunisa Vlongsuk *

Saengchai Nateeworanart **

Abstract

Study of fly artifacts, produced by blow flies, is very important for forensic investigation because blow flies, the first insect fauna arriving at a corpse, produce some artifacts on surrounding surfaces of the crime scene that may alter the real blood stain evidences. The fly artifacts may be a cause of misinterpreted investigation of blood stain pattern in the crime scene. Currently, the study about blow fly artifacts is limited. Therefore, the objective of this study was to investigate pattern, number, and size of blood stains, produced by the two most forensically-important blow fly species of Thailand, *Chrysomya megacephala* and *Achoetandrus (= Chrysomya) rufifacies*, on 5 different material surfaces. *C. megacephala* and *A. rufifacies* adults were separately reared in a rearing cage. Each rearing cage was covered all the sides with one kind of the studied material surfaces. Fresh swine blood and distilled water in a separated container, as a food source, were placed in the center of the cage. After 24 hrs, the tested materials were examined for fly artifacts. Pattern, number, and size of blood stains produced by each fly species on each kind of studied materials were investigated. Fly artifacts were divided into 3 types including fecal spots, regurgitation spots and swiping stains. In general, mean numbers of fly artifacts, produced by *C. megacephala* and *A. rufifacies* were 57.34 and 40.32 spots, respectively. Totally, numbers of fecal spots, regurgitation spots, and swiping stains found in this study were found 61.79%, 28.09% and 10.12%, respectively. However, the artifact sizes on each kind of material surface produced by these blow fly species were not significantly difference. The results showed that the highest number of fly artifacts was found on the polystyrene foam surface. Moreover, the rosette-like form, the new character of swiping stains, was discovered in this study. The information from this study may be useful for applying in forensic entomology further.

Keywords: Blow fly, fly artifacts, Forensic Entomology

* Department of Microbiology and Parasitology, Faculty of Medical Science, Naresuan University, Phitsanulok

** Department of Medical Technology, Faculty of Allied Health Sciences, Naresuan University, Phitsanulok

บทนำ

การศึกษาเกี่ยวกับทราบแปลงปลอมที่แมลงวันหัวเปียสร้างขึ้น โดยเฉพาะอย่างยิ่งทราบเลือดในสถานที่เกิดเหตุมีความสำคัญเป็นอย่างมากในด้านนิติวิทยา (Forensic Entomology) เนื่องจากแมลงวันหัวเปียเป็นแมลงกลุ่มแรกที่มายังศพและมักสร้างทราบเลือดแปลงปลอมทึบไว้บนพื้นผิวนอนบริเวณสถานที่เกิดเหตุ ซึ่งอาจทำให้เกิดการเปลี่ยนแปลงของทราบเลือดที่มืออยู่ก่อนในสถานที่เกิดเหตุ จากการศึกษาเกี่ยวกับการสร้างทราบเลือดของแมลงวันหัวเปียที่ผ่านมาพบว่า ทราบเลือดที่แมลงวันสร้างขึ้นเป็นทราบที่เกิดจากการสำรอง การขับถ่าย และการเคลื่อนไหว โดยทราบเลือดที่เกิดขึ้นจะมีลักษณะคล้ายกับทราบกระเช่นของเลือดที่เกิดจากการตายหรือการถูกทำร้ายของเหยื่อในคดีฆาตกรรม ดังนั้น ทราบเลือดที่แมลงวันหัวเปียสร้างขึ้นจึงเป็นสาเหตุหนึ่งที่ก่อให้เกิดความคลาดเคลื่อนในการสืบสวนที่ต้องอาศัยข้อมูลของรูปแบบทราบเลือดที่พบริเวณสถานที่เกิดเหตุในการพิสูจน์คดี (Bevel, & Gardner, 2002; Stirman, et al., 2011)

ปัจจุบันการศึกษาเกี่ยวกับการสร้างทราบเลือดของแมลงวันหัวเปียยังคงมีอยู่อย่างจำกัด ไม่ครอบคลุมไปถึงวัตถุพยานทุกชนิดที่พบในสถานที่เกิดเหตุ อย่างไรก็ตาม จากการศึกษาดังกล่าว สามารถจำแนกทราบที่แมลงวันสร้างขึ้นได้เป็น 3 ลักษณะ ได้แก่ (1) ทราบที่เกิดจากการขับถ่ายของแมลงวัน (Fecal spots) มีลักษณะเป็นจุดกลมขนาดเล็ก สีดำ ผิวด้านบนนูนและเรียบสม่ำเสมอ เส้นผ่านศูนย์กลางประมาณ 0.5–4 มิลลิเมตร มี 3 สีที่แตกต่างกัน คือ สีครีม สีน้ำตาล และสีน้ำตาลเข้ม (2) ทราบที่เกิดจากการสำรองของแมลงวัน (Vomit/regurgitation spots) มีลักษณะเป็นจุดกลมขนาดเล็ก ตรงกลางนูน ด้านขอบจะหนาแน่นให้ชัดเจน ผิวของทราบจะสะท้อนเห็นเป็นมันวาวภายในตัวทราบสังเกตผ่านกล้องจุลทรรศน์ ซึ่งจะเห็นว่าประกอบด้วยจุดขนาดเล็กจำนวนมาก เส้นผ่านศูนย์กลางของทราบชนิดนี้ ประมาณ 1- 2 มิลลิเมตร (3) ทราบที่เกิดจากการเคลื่อนไหวของแมลงวัน (Swiping stains) เป็นทราบที่เกิดจากการเคลื่อนไหวของปลายขาของแมลงวันในระหว่างการขับถ่าย ทราบลักษณะนี้ประกอบด้วย ส่วนตัว (body) และ ส่วนหาง (tail) ซึ่งแบ่งตามรูปร่างของทราบได้ 4 แบบ คือ ทราบที่มีลักษณะคล้ายหยดน้ำตา (Tear drop-like) คล้ายอสุจิ (Sperm-like) คล้ายงู (Snake-like) และคล้ายลูกอ้อด (irregular tadpole-like) โดยปกติแล้วเส้นผ่านศูนย์กลางของทราบที่เกิดจากการเคลื่อนไหวของแมลงวันนี้จะอยู่ในช่วง 4.8–9.2 มิลลิเมตร (James, & Eckert, 1999; Bevel, & Gardner, 2002; Greenberg, & Kunich, 2002, Zuha, et al., 2008)

พฤติกรรมการกินและการขับถ่ายของแมลงวันหัวเปียนั้นมีลักษณะที่เฉพาะตัว กล่าวคือ การกินอาหารของแมลงวันจะทำให้เกิดจุดเปื้อน เป็นทราบ และในเวลาต่อมาแมลงวันก็จะกลับมากินบริเวณทราบเดิมที่สร้าง

โดยปรากฏเป็นจุดเล็ก ๆ ที่มีขนาดเล็กมากและรูปร่างไม่แน่นอน ด้วยเหตุนี้ แมลงวันจึงเป็นตัวแปรสำคัญที่ทำให้เกิดคราบเลือดแพลงปลอมขึ้นในสถานที่เกิดเหตุ เช่น บนร่างกาย เสื้อผ้า รวมไปถึงบนวัตถุอื่น ๆ รอบตัวผู้กระทำการ อันเป็นหลักฐานที่ใช้วิเคราะห์ถึงสาเหตุการบาดเจ็บก่อนเสียชีวิต หากการศึกษาเกี่ยวกับลักษณะการสร้างจุดคราบเลือดของแมลงวันพบว่า แมลงวันมักจะสร้างจุดเป็นในบริเวณที่ยังคงอบอุ่นอยู่ และลักษณะของจุดคราบเลือดบนพื้นผิววัตถุแต่ละชนิดมีลักษณะที่ไม่แน่นอน จึงต้องอาศัยหลักเกณฑ์ในการจำแนกรูปแบบของคราบเลือดที่แมลงวันสร้างขึ้นเพื่อใช้ในการยืนยันต่อศาล เพื่อจำแนกความแตกต่างระหว่างรอยกระเด็นของเลือดซึ่งเป็นหลักฐานในการพิสูจน์คดีกับกรณีเลือดแพลงปลอมที่เกิดจากการกระทำของแมลงวัน (Benecke, & Barksdale, 2003)

มีการศึกษาเกี่ยวกับการสร้างคราบเลือดของแมลงวันหัวเขียวสายพันธุ์ที่พบมากที่สุดในประเทศไทย เอเชีย คือ *Chrysomya megacephala* พบว่า แมลงวันหัวเขียวชนิดนี้สามารถสร้างคราบเลือดที่แตกต่างกันได้ทั้ง 3 ลักษณะ ดังที่กล่าวข้างต้น (Zuha, et al., 2008) แต่การศึกษาดังกล่าวได้ทำการทดลองบนพื้นผิวกระดาษ Grafefather ที่มีความสำคัญทางนิติวิทยาของประเทศไทย ดังนั้น วัตถุประสงค์ของการศึกษาในครั้งนี้ จึงเพื่อทดสอบการสร้างคราบเลือดบนพื้นผิววัตถุที่แตกต่างกัน 5 ชนิด ได้แก่ ไม้อัด แผ่นพลาสติก ผ้าฝ้ายและอีกด้วยความถี่ 80 แกรม และโฟมอัดละอียด ของแมลงวันหัวเขียว *C. megacephala* และ *Achoetandrus* (= *Chrysomya*) *rufifacies* ซึ่งเป็นแมลงวันหัวเขียวที่พบมากที่สุด และมีความสำคัญทางนิติวิทยาของประเทศไทย (Suchrit, et al., 1976; Sucharit, & Tumrasvin, 1981; Sukontason, et al., 2008) ซึ่งข้อมูลที่ได้จะเป็นประโยชน์ต่อการนำไปใช้ในทางนิติวิทยาต่อไป

วิธีการศึกษาวิจัย

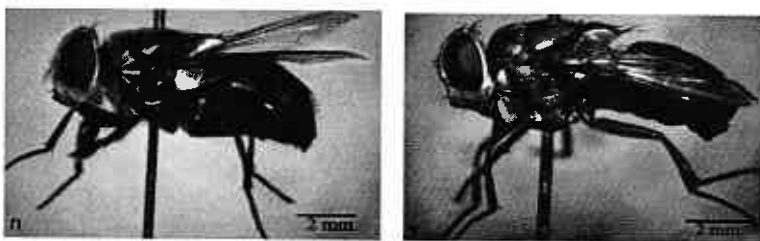
การเลี้ยงแมลงวัน *Chrysomya megacephala* และ *Achoetandrus rufifacies* ในห้องปฏิบัติการ

ทำการจับแมลงวันตัวเต็มวัยด้วยวิธีสวิงโคลบ โดยใช้เครื่องในหมูเน่าเป็นเหยื่อล่อ จากพื้นที่ในเขตตำบลท่าโพธิ์ อำเภอเมือง จังหวัดพิษณุโลก จำแนกชนิดของแมลงวันที่จับมาได้ โดยการทำให้สลบด้วยความเย็น แล้วจำแนกตามลักษณะทางสัณฐานวิทยา โดยใช้กฎแจอนุกรรมวิชาณของ Tumrasvin et al. (1979) คัดเลือกเฉพาะแมลงวันชนิด *C. megacephala* (รูป 1ก) และ *A. rufifacies* (รูป 1ข) นำไปเลี้ยงในกรงสำหรับเลี้ยงแมลงวันที่หุ้นรากยุงผ้าตาข่ายขนาด 30x30x30 เซนติเมตร โดยในหนึ่งกรงจะทำการเลี้ยงแมลงวันเพศผู้และเพศเมีย เพศละ 50 ตัว เลี้ยงตัวเต็มวัยของแมลงวันด้วยสารละลายน้ำตาลพสนวิตามินรวม 10% (w/v) และตับหมูสดประมาณ 40

การสารนิติศาสตร์ ปีที่ 4 ฉบับที่ 2

มกราคม – เมษายน พ.ศ.2555

กรั่นต่อกรง เพื่อเป็นแหล่งอาหาร โดยเปลี่ยนอาหารเลี้ยงแมลงวันทุกวัน เมื่อแมลงวันวางไข่ที่ตับหมู ทำการย้ายไปบ่อบรังษีในพลาสติกขนาด $11 \times 20 \times 6$ เซนติเมตร ที่มีช่องขนาด 6×13.5 เซนติเมตร ซึ่งบ่อบรังษีด้านในหุ้มผ้าตาข่ายสำหรับระบบอากาศอยู่บนฝากล่อง ไปจะฟักเจริญเติบโตเป็นตัวอ่อน ให้ตับหมูสดเป็นอาหารตัวอ่อน จนกระทั่งตัวอ่อนเจริญเป็นดักแด๊กแล้วจึงหยุดให้อาหาร และเมื่อพับดักแด๊กเป็นตัวเต็มวัยภายในกล่องเลี้ยง จึงนำกล่องดังกล่าวไปเก็บภายในกรงเลี้ยงแมลงวัน แล้วทำการเลี้ยงตัวเต็มวัยตามวิธีที่กล่าวข้างต้นต่อไป



รูปที่ 1 ลักษณะทางสัณฐานวิทยาของแมลงวันหัวเขียว *Chrysomya megacephala* (ก) และแมลงวันหัวเขียว *Achoetandrus rufifacies* (ก)

การศึกษาการสร้างคราบเลือดของแมลงวันหัวเขียว *Chrysomya megacephala* และ *Achoetandrus rufifacies*

การศึกษาการสร้างคราบเลือดแปลงปะลอกปลอมของแมลงวันนี้ศึกษาในกรงขนาดเล็ก $15 \times 15 \times 15$ เซนติเมตร ซึ่งหุ้มด้วยผ้าตาข่ายสีขาวที่ตัดเอาผ้าตาข่ายออกหักหมด 4 ด้าน เพื่อสำหรับใช้ติดพื้นผิวต่ำที่ทดสอบ ซึ่งประกอบด้วย ด้านแนวตั้งหักหมด 3 ด้าน และแนวระนาบ 1 ด้าน (พื้นกรง) โดยแต่ละด้านแบ่งพื้นที่ออกเป็น 4 ส่วน วัตถุที่ใช้ศึกษาในครั้งนี้ประกอบด้วย ไม้อัด แผ่นพลาสติก ผ้าฝ้ายและอีกด กระดาษถ่ายเอกสารสีขาว 80 แกรม และโฟมอัดกระเบียด

ทำการศึกษาการสร้างคราบเลือดของแมลงวันหัวเขียว *C. megacephala* และ *A. rufifacies* โดยย้ายแมลงวันจากกรงเลี้ยงในห้องปฏิบัติการ มาอยู่ในกรงขนาดเล็กที่ติดพื้นผิวต่ำที่ทดสอบ กรงละ 1 ตัว วางขาดเลือดหมูสดและน้ำเปล่าที่มีสำลีพันปลายไม้จุ่มอยู่อย่างละ 1 ชุด ขวดละ 100 มิลลิลิตร ที่บริเวณกึ่งกลางกรง เพื่อให้เป็นแหล่งของเลือดและน้ำที่แมลงวันจะนำไปทำให้เกิดคราบ เมื่อครบ 24 ชั่วโมง สังเกต จดบันทึกจำนวนคราบเลือดที่แมลงวันสร้างขึ้นในแต่ละส่วนของกรงเลี้ยง จำแนกลักษณะคราบเลือดที่แมลงวันสร้างขึ้นได้แก่ คราบเลือดที่เกิดจากกระบวนการสำรอง การขันถ่าย และการเคลื่อนไหวของแมลงวัน ตามการศึกษาของ Zuhra et al. (2008) นับจำนวนและบันทึกลักษณะคราบเลือดที่พบ วัดขนาดคราบเลือดแต่ละลักษณะ โดยใช้วิธีการวัดขนาดเทียบกับตารางมาตรฐาน ภายใต้กล้องจุลทรรศน์สเตอริโอ (Olympus, ประเทศไทย) ทำการศึกษาการสร้างคราบเลือดของแมลงวันหักสองสายพันธุ์บนพื้นผิวสัมผัสด้วย 10 ชั้ม เพื่อหาค่าเฉลี่ยของขนาดคราบเลือดทั้ง 3

ลักษณะที่เมลงวันสร้างขึ้น ค่าเฉลี่ยของจำนวนคราบเลือดทั้ง 2 สายพันธุ์สร้างขึ้นภายในเวลา 24 ชั่วโมง และเปรียบเทียบความแตกต่างในการสร้างคราบเลือดของเมลงวันทั้ง 2 สายพันธุ์

ผลการศึกษา

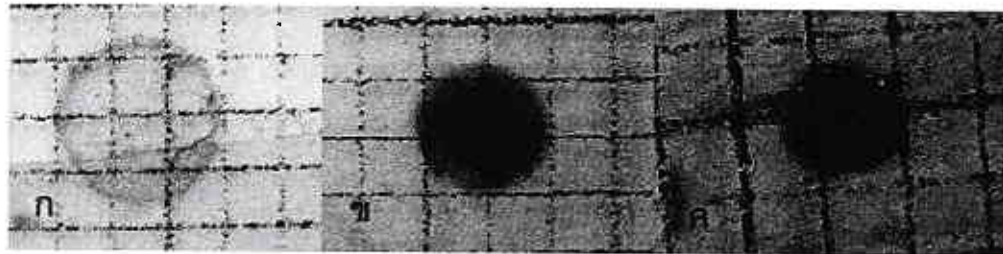
จากการศึกษาการสร้างคราบเลือดของเมลงวันหัวเขียว 2 สายพันธุ์ คือ *C. megacephala* และ *A. rufifacies* บนพื้นผิววัสดุที่แตกต่างกัน 5 ชนิด ได้แก่ ไม้อัด แผ่นพลาสติก ผ้าฝ้ายและอีกด กระดาษถ่ายเอกสารสีขาว 80 แกรม และโฟมอัดละอิช พบร้า แมลงวันหัวเขียวทั้ง 2 สายพันธุ์ มีการสร้างคราบเลือดที่มีลักษณะเหมือนกัน ซึ่งจำแนกได้เป็น 3 ลักษณะ ได้แก่

(1) คราบเลือดที่เกิดจากการขับถ่ายของเมลงวัน มีลักษณะเป็นจุดกลมขนาดประมาณ 0.2–4 มิลลิเมตร ที่นิ่วค้านบนของคราบเลือดจะมีลักษณะเรียบด้าน ไม่มั่นคง มีความสม่ำเสมอ ซึ่งคราบเลือดลักษณะนี้มี 3 สี คือ สีครีม สีน้ำตาลอ่อน และสีน้ำตาลเข้ม (รูปที่ 2)



รูปที่ 2 ลักษณะตัวอย่างคราบเลือดที่เกิดจากการขับถ่ายของเมลงวันหัวเขียวตัวเดิมวัยสายพันธุ์ *Chrysomya megacephala* และ *Achoetandrus rufifacies* ซึ่งมี 3 ระดับสีคือ สีครีม (ก) สีน้ำตาลอ่อน (ห) และสีน้ำตาลเข้ม (ค)

(2) คราบเลือดที่เกิดจากการสำรองของเมลงวัน มีลักษณะเป็นจุดกลม ขนาดเล็กตั้งแต่ 0.2–5.5 มิลลิเมตร ผิวค้านบน ไม่เรียบสม่ำเสมอ เป็นมั่นคง มีเม็ดขนาดเล็กกระจายอยู่ที่ผิวค้านบนของจุดคราบเลือด ซึ่งมี 3 สี คือ สีครีม สีน้ำตาลอ่อน และ สีน้ำตาลเข้ม เนื่นเดียวกับจุดเมลงวันที่เกิดจากการขับถ่าย (รูปที่ 3)



รูปที่ 3 ลักษณะตัวอย่างคราบเลือดที่เกิดจากการสำรองของเมลงวันหัวเขียวตัวเดิมวัยสายพันธุ์ *Chrysomya megacephala* และ *Achoetandrus rufifacies* ซึ่งมี 3 ระดับสีคือ สีครีม (ก) สีน้ำตาลอ่อน (ห) และสีน้ำตาลเข้ม (ค)

(3) คราบเลือดที่เกิดจากการเคลื่อนไหวของแมลงวัน ซึ่งมีความยาวตั้งแต่ 1.1 - 9.8 มิลลิเมตร และสามารถแยกรูปร่างที่แตกต่างกันเป็น 5 รูปแบบคือ

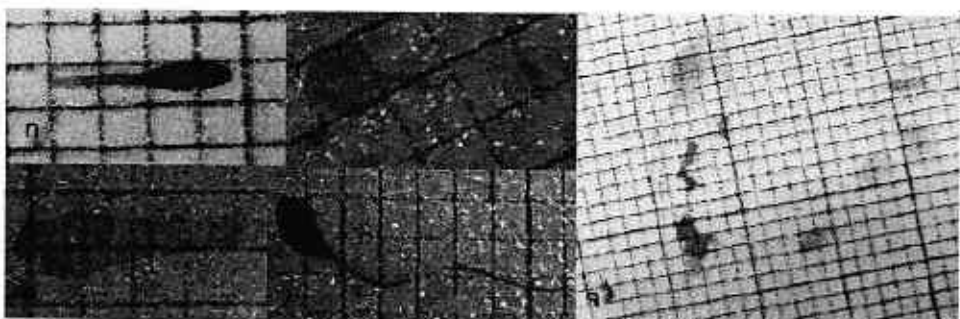
(3.1) คราบเลือดที่มีลักษณะคล้ายหยดน้ำตา (Tear drop-like stain) โดยส่วนตัว (Body) จะมีลักษณะเป็นวงรีหรือกลม และส่วนหาง (Tail) จะมีความยาวไม่นานนัก (รูปที่ 4ก)

(3.2) คราบเลือดที่มีลักษณะคล้ายอสุจิ (Sperm-like stain) มีลักษณะใกล้เคียงกับคราบเลือดที่มีลักษณะคล้ายหยดน้ำตา แต่ส่วนหางจะมีความยาวมากกว่าส่วนตัว และที่ปลายสุดของส่วนหางจะมีจุดขนาดเล็ก 1 จุด (รูปที่ 4ข)

(3.3) คราบเลือดที่มีลักษณะคล้ายงู (Snake-like stain) มีลักษณะที่ส่วนตัวและส่วนหางมีความกว้างที่ใกล้เคียงกัน ซึ่งส่วนหางของคราบเลือดรูปแบบนี้จะกว้างกว่ารูปแบบอื่นๆ (รูปที่ 4ค)

(3.4) คราบเลือดที่มีลักษณะคล้ายลูกอ้อด (Tadpole-like stain) มีลักษณะที่ส่วนตัวที่เป็นวงรี และส่วนหางที่เรียวยาว (รูปที่ 4ง)

(3.5) คราบเลือดที่มีลักษณะคล้ายดอกไม้ (rosette – like form) มีลักษณะกระจายตัวเป็นกลุ่ม เป็นวงกลม แต่ละจุดคราบเลือดในกลุ่มนี้มีลักษณะที่ไม่แน่นอน

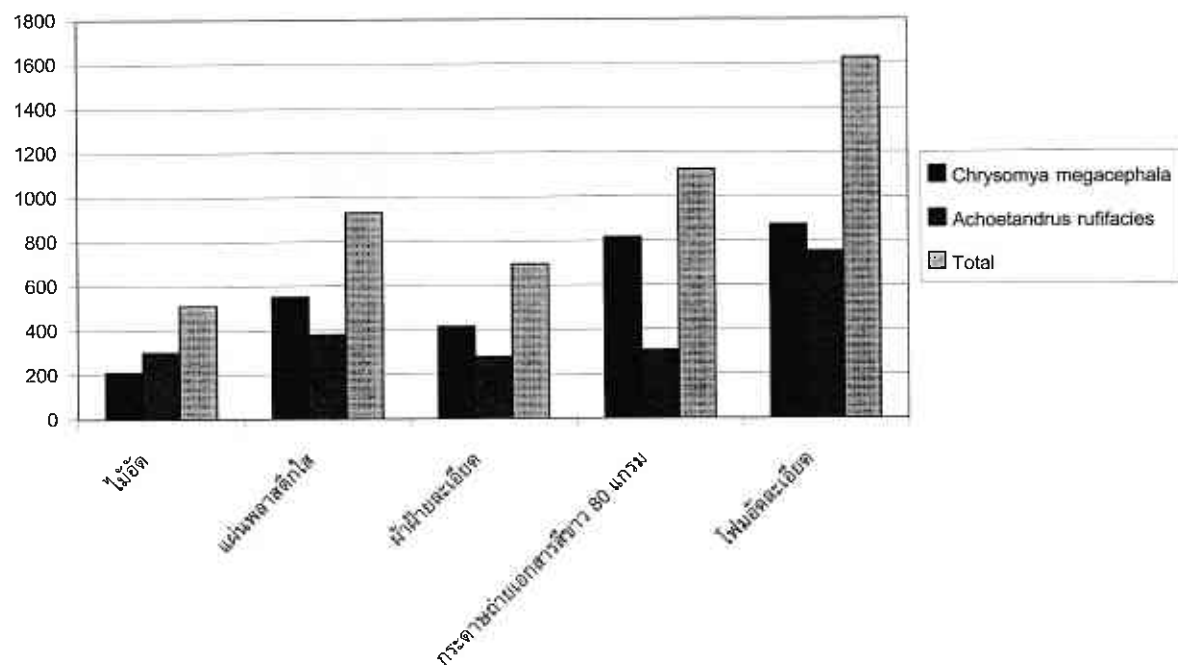


รูปที่ 4 ลักษณะคราบเลือดที่เกิดจากการเคลื่อนไหวของแมลงวันตัวเดิมวัยสายพันธุ์ *Chrysomya megacephala* และ *Achoetandrus rufifacies* ทั้ง 5 รูปแบบ ที่พบราก่อนการศึกษาคือ คราบเลือดที่มีลักษณะคล้ายหยดน้ำตา (ก) คราบเลือดที่มีลักษณะคล้ายอสุจิ ซึ่งวงกลมสีแดงแสดงจุดขนาดเล็กที่ปลายหาง (ข) คราบเลือดที่มีลักษณะคล้ายงู (ค) คราบเลือดที่มีลักษณะคล้ายลูกอ้อด (ง) และคราบเลือดที่มีลักษณะคล้ายดอกไม้ (จ)

จากการศึกษาคราบเลือดของแมลงวันตัวเดิมวัยสายพันธุ์ *C. megacephala* และ *C. rufifacies* พบว่า แมลงวันทั้ง 2 สายพันธุ์สร้างคราบเลือดทั้ง 3 ลักษณะ โดยเป็นคราบเลือดที่เกิดจากการขับถ่ายของแมลงวันมาก

ที่สุด รองลงมาคือคราบเลือดที่เกิดจากการสำรอง และคราบเลือดที่เกิดจากการเคลื่อนไหว คิดเป็นร้อยละ 61.79 28.09 และ 10.12 ตามลำดับ

จากการสังเกตในเวลา 24 ชั่วโมง พบร่วมแมลงวัน *C. megacephala* 1 ตัว สร้างจำนวนคราบเลือดโดยเฉลี่ย 57.34 คราบ และแมลงวัน *A. rufifacies* สร้าง 40.32 คราบ โดยพบจำนวนการสร้างคราบเลือดบนผิวไฟฟ์อัดละเอียดมากที่สุดในแมลงวันหัวเขียวทั้ง 2 สายพันธุ์ รองลงมาคือกระดาษถ่ายเอกสารสีขาว 80 แกรม แผ่นพลาสติกใส ผ้าฝ้ายละเอียด และไม้อัด ตามลำดับ (รูปที่ 5)



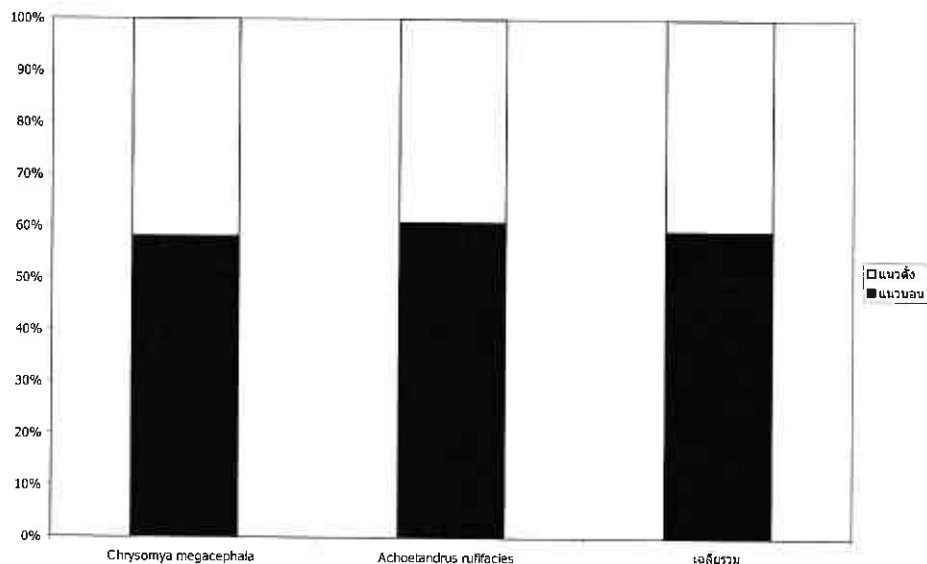
รูปที่ 5 กราฟแสดงจำนวนคราบเลือดทั้งหมดที่แมลงวันหัวเขียว *Chrysomya megacephala* และ *Achoetandrus rufifacies* สร้างบนผืนผิวตุ่นแต่ละชนิดที่ใช้ทดสอบ

จากการวัดขนาดคราบเลือดที่แมลงวันทั้ง 2 สายพันธุ์สร้างขึ้น พบร่วมคราบเลือดที่เกิดจากการขับถ่ายและการสำรองของแมลงวันบนผืนผ้าฝ้าย มีขนาดโดยเฉลี่ยมากกว่าคราบเลือดบนผืนผิวนิดอื่น และคราบเลือดทุกลักษณะบนผืนผิวพลาสติกใสมีขนาดโดยเฉลี่ยน้อยที่สุด เมื่อนำมาข้อมูลด้านขนาดของคราบเลือดที่ได้จากการทดลองทั้ง 3 ลักษณะที่แมลงวันทั้ง 2 สายพันธุ์สร้างขึ้น มาเปรียบเทียบความแตกต่างกันทางสถิติโดยใช้ T-Test พบร่วมว่า ขนาดของคราบเลือดแต่ละลักษณะที่แมลงวันทั้ง 2 สายพันธุ์สร้างขึ้น ไม่มีความแตกต่างกันอย่างมีนัยสำคัญทางสถิติ ดังแสดงในตารางที่ 1 นอกจากนี้ การศึกษาระนาบที่แมลงวันหัวเขียวทั้ง 2 สายพันธุ์

รายงานนิติเวชศาสตร์ ปีที่ 4 ฉบับที่ 2

มกราคม – เมษายน พ.ศ.2555

สร้างทราบเลือดพบว่า แมลงวันหัวเขียวทั้ง 2 สายพันธุ์ สร้างทราบเลือดบนระบบแนวโน้มของกรงเลี้ยงมากกว่าระบบแนวตั้งดังแสดงในรูปที่ 6



รูปที่ 6 กราฟแสดงอัตราส่วนการสร้างทราบเลือดของแมลงวันหัวเขียว *Chrysomya megacephala* และ *Achoetandrus rufifacies* บนพื้นผิวตู้ทั้ง 5 ชนิดที่ใช้ทดสอบ ในระบบแนวโน้มและแนวตั้ง

ตารางที่ 1 ขนาดของทราบเลือดที่สร้างขึ้นโดยแมลงวันหัวเขียว *C. megacephala* และ *A. rufifacies* บนพื้นผิวตู้แต่ละชนิด

ลักษณะของทราบเลือด	ขนาดของทราบเลือดเฉลี่ย (มิลลิเมตร)									
	ไม้อัด		แผ่นพลาสติกใส		ผ้าฝ้ายละเอียด		กระดาษถ่ายเอกสารสีขาว 80 แกรม		โฟมอัดละอียด	
	CM	AR	CM	AR	CM	AR	CM	AR	CM	AR
ทราบเลือดที่เกิดจากการขับถ่ายของแมลงวัน	1.56	1.65	1.24	1.26	2.39	2.44	1.05	1.26	1.29	1.02
ทราบเลือดที่เกิดจากการสำรองของแมลงวัน	1.38	1.61	2.11	1.46	3.54	3.81	1.39	1.59	1.69	1.69
ทราบเลือดที่เกิดจากการเกตีอนไขของแมลงวัน	4.35	4.31	2.76	2.69	2.45	3.45	4.28	4.35	4.03	3.18

อภิปรายและสรุปผลการวิจัย

จากการศึกษาการสร้างคราบเลือดของแมลงวันหัวใจขาว *C. megacephala* และ *A. rufifacies* บนพื้นผิววัตถุที่แตกต่างกัน 5 ลักษณะ ได้แก่ ไม้อัด แผ่นพลาสติก ผ้าฝ้ายละเอียด กระดาษถ่ายเอกสารสีขาว 80 แกรม และฟิล์มอัดละเอียด พบว่า แมลงวันหัวใจขาวทั้ง 2 สายพันธุ์ มีการสร้างคราบเลือดที่ 5 ลักษณะที่เหมือนกัน คือ คราบเลือดที่เกิดจากการขับถ่าย คราบเลือดที่เกิดจากการสำรอก และ คราบเลือดที่เกิดจากการเคลื่อนไหว เช่นเดียวกับการศึกษาการสร้างคราบเลือดของแมลงวันหัวใจขาวสายพันธุ์ *C. megacephala* ในประเทศไทยเดียวกัน (Zuha, et al. 2008) นอกจากนั้น การศึกษารั้งนี้ได้พบรูปแบบใหม่ของคราบเลือดที่เกิดจากการเคลื่อนไหวของแมลงวัน ที่มีลักษณะคล้ายดอกไม้ สอดคล้องกับการศึกษาของ Zuha et al. (2008) ซึ่งยังไม่มีการกำหนดชื่อรูปแบบที่ชัดเจน ดังนั้น คงจะผู้วิจัยจึงตั้งชื่อเพื่อใช้เรียกคราบเลือดในรูปแบบนี้ว่า คราบเลือดที่มีลักษณะคล้ายดอกไม้ (rosette-like form)

แมลงวันทั้งสองสายพันธุ์สร้างจำนวนคราบเลือดบนพื้นผิววัตถุทั้ง 5 ชนิด โดยไม่มีความแตกต่างอย่างมีนัยสำคัญทางสถิติ แต่อย่างไรก็ตาม พบรูปแบบใหม่ของคราบเลือดที่เกิดจากการเคลื่อนไหวของแมลงวันทั้ง 2 สายพันธุ์ ทั้งนี้อาจเนื่องมาจาก พื้นผิวฟิล์มอัดละเอียดมีความหยาบมากที่สุดเมื่อเทียบกับพื้นผิววัตถุอีก 4 ชนิดที่ทำการทดสอบ ทำให้แมลงวันเกะกะที่ผิวฟิล์มได้ง่าย จึงทำให้มีการสร้างคราบเลือดมากที่สุด สำหรับขนาดของคราบเลือดที่พับบนพื้นผิววัตถุทั้ง 5 ชนิดนั้น พบรูปแบบใหม่ของคราบเลือดที่เกิดจากการขับถ่ายและการสำรอกของแมลงวันบนผ้าฝ้ายมีขนาดใหญ่ที่สุด ส่วนคราบเลือดบนพลาสติกใส่นั้นมีขนาดเล็กที่สุด ซึ่งเกิดจากความสามารถในการการดูดซับของเหลวที่แตกต่างกันของวัตถุแต่ละชนิด กล่าวคือ ในวัตถุทั้ง 5 ชนิดที่ใช้ในการศึกษารั้งนี้ ผ้าฝ้ายสามารถดูดซับของเหลวได้ดีที่สุด ดังนั้นเมื่อแมลงวันสร้างคราบเลือดบนพื้นผิวผ้าฝ้าย แล้ว คราบเลือดจะถูกดูดซึมน้ำย่างรวดเร็ว ทำให้ขอบเขตของคราบเลือดขยายขนาดขึ้นจากการกระทำของแมลงวันอีกเล็กน้อย โดยเมื่อเปรียบเทียบกับพื้นผิวของพลาสติกใส ซึ่งเป็นวัตถุที่ไม่ดูดซับของเหลว เมื่อเกิดคราบเลือดขึ้นบนพื้นผิวพลาสติกแล้ว จุดคราบเลือดจะมีขนาดเท่ากันที่แมลงวันสร้างขึ้นจริงเท่านั้น ไม่มีการขยายขนาดซึ่งเกิดจากการดูดซึมดังที่กล่าวข้างต้น ขณะนี้ จะเห็นได้ว่าความสามารถในการดูดซึมของเหลวของวัตถุต่างๆ มีผลต่อขนาดของคราบเลือดที่แมลงวันสร้างขึ้นเป็นอย่างยิ่ง นอกจากนี้ การศึกษารั้งนี้ยังพบว่า แมลงวันทั้ง 2 สายพันธุ์ สร้างคราบเลือดที่ระบายน้ำนานมากกว่าระบายน้ำแบบตั้งของกรงเลี้ยง อาจเนื่องมาจากการหล่ออาหาร หรือเลือดที่ให้น้ำว่างอยู่ที่พื้นกรง หรือเป็นผลจากพฤติกรรมในการกินอาหารของตัวแมลงวันเอง

การศึกษารั้งนี้แสดงให้เห็นว่า ลักษณะคราบเลือดที่เกิดจากการสร้างขึ้นของแมลงวันนั้น มีความหลากหลาย ซึ่งสามารถทำให้เกิดความสับสน หรือเข้าใจผิดว่าเป็นคราบเลือดที่เกิดจากการกระเซ็นที่เกิดจากการร้าบก้าบของคนร้ายในสถานที่เกิดเหตุได้ อันสอดคล้องกับการศึกษาของ Benecke & Barksdale (2003) เช่น ทราบ

เลือดที่เกิดจากการขับถ่ายของแมลงวัน มีลักษณะที่คล้ายกับเลือดที่กระเช็นในอัตราเร็วมากกว่า 1.5 เมตรต่อวินาที โดยเกิดจากแรงโน้มถ่วงของโลก ซึ่งพบได้จากการที่เลือดหลุดจากมือหรืออาวุธ ทราบเลือดที่เกิดจากการสำรองจะคล้ายคลึงกับคราบเลือดที่เกิดจากการทุบตีด้วยก้อนหินหรือขวน และคราบเลือดที่เกิดจากการเคลื่อนไหวจะคล้ายคลึงกับคราบเลือดที่กระเช็นจากการกระแทกอย่างรุนแรง เช่นเลือดที่กระเด็นจากการกระแทกด้วยอัตราเร็วมากกว่า 10 เมตรต่อวินาที เช่น การยิงด้วยอาวุธปืน เลือดลักษณะนี้จะกระเด็นในระยะน้อยกว่า 1 มิลลิเมตรจากจุดศูนย์กลาง ดังนั้นคราบเลือดจากการสร้างของแมลงวัน โดยเฉพาะแมลงวันหัวเปียวซึ่งมาถึงศพในสถานที่เกิดเหตุเป็นชนิดแรกนั้น เป็นสาเหตุหนึ่งที่ทำให้เกิดความสับสนในการตีความพฤติการณ์ที่เกิดขึ้นซึ่งต้องอาศัยข้อมูลของคราบเลือดในสถานที่เกิดเหตุเป็นข้อมูลประกอบ ซึ่งจากการศึกษาในครั้งนี้ สามารถสรุปข้อควรระวังในการจำแนกคราบเลือดที่แมลงวันสร้างขึ้น ได้ดังนี้คือ ควรระวังในการตรวจสอบคราบเลือดในพื้นผิววัตถุต่างๆ ในที่เกิดเหตุ เพราะมีโอกาสพบการปนเปื้อนคราบเลือดที่แมลงวันสร้างขึ้นบนทุกพื้นผิววัตถุ โดยเฉพาะบริเวณแนวร้าบ (แนวนอน) จะพบการปนเปื้อนของคราบเลือดที่มากกว่าแนวตั้ง โดยทราบเลือดที่สร้างขึ้นมีขนาดและรูปร่างคล้ายกับคราบเลือดที่กระเช็นในอัตราเร็วต่างๆ ซึ่งปัจจุบันพบว่าการทดสอบโดยใช้การตรวจเบื้องต้นทางเคมี เช่น การใช้ phenophthalein (Hematix[®]), leucocrystal violet, Sangur, Luminol, fluorescein และ DNA typing ไม่สามารถแยกความแตกต่างระหว่างคราบเลือดที่แมลงวันสร้างขึ้นกับคราบเลือดมนุษย์ที่เกิดขึ้นจริงในที่เกิดเหตุได้ (Benecke, & Barksdale, 2003; Fujikawa, et al., 2009) ข้อมูลทางค้านรูปแบบจำนวน และขนาดของคราบเลือดซึ่งเกิดจากแมลงวัน จะเป็นประโยชน์ยิ่งในการนำไปใช้เปรียบเทียบกับคราบเลือดที่พบในสถานที่เกิดเหตุ เพื่อการวินิจฉัยพฤติการณ์ที่เกิดขึ้น ได้อย่างถูกต้อง อย่างไรก็ตาม การสร้างคราบเลือดของแมลงวันชนิดอื่น และ การสร้างคราบเลือดบนวัตถุอื่นๆ นอกเหนือจากที่ทำการศึกษาในครั้งนี้ ควรมีการศึกษาเพิ่มเติมเพื่อประโยชน์ด้านนิติกฎหมายในอนาคต

กิตติกรรมประกาศ

คณะผู้วิจัยขอขอบคุณ คณะวิทยาศาสตร์การแพทย์ มหาวิทยาลัยนเรศวร ที่สนับสนุนทุนในการทำวิจัยในครั้งนี้

References

1. Benecke, M., & Barksdale, L. (2003). Distinction of bloodstain patterns from fly artifacts. *Forensic Science International*, 137, 152-159.
2. Bevel, T., & Gardner, R.M. (2002). *Bloodstain Pattern Analysis: with an Introduction to Crime Scene Reconstruction* (2nd ed). Florida: CRC Press LLC.

3. Fujikawa, A., Barksdale, L., & Carter, D.O. (2009). *Calliphora vicina* (Diptera: Calliphoridae) and their ability to alter the morphology and presumptive chemistry of bloodstain patterns. *Journal of Forensic Identification*, 59, 502-512.
4. Greenberg, B., & Kunich, J.C. (2002). *Entomology and the Law*. UK: Cambridge University Press.
5. James, S.H., & Eckert, W.G. (1999). *Interpretation of Evidence at Crime Scenes* (2nd ed). Florida: CRC Press LLC.
6. Striman, B., Fujikawa, A., Barksdale, L., & Carter, D.O. (2011). Alteration of excreted bloodstain patterns by *Calliphora vicina* and *Lucilia sericata* (Diptera: Calliphoridae) through ingestion and deposition of artifacts. *Journal of Forensic Science*, 56, 123-127.
7. Sucharit, S., & Tumrasvin, W. (1981). The survey of files of medical and veterinary importance in Thailand. *Japanese Journal of Sanitary Zoology*, 32, 281-285.
8. Sucharit, S., Tumrasvin, W., & Vutikes, S. (1976). A survey on house flies in Bangkok and neighboring Provinces. *Southeast Asian Journal of Tropical Medicine and Public Health*, 7, 85-90.
9. Sukontason, K., Piangjai, S., Siriwanarungsee, S., & Sukontason, K.L. (2008). Morphology and developmental rate of blowflies *Chrysomya megacephala* and *Chrysomya rufifacies* in Thailand: application in forensic entomology. *Journal of Parasitology Research*, 120, 1207-1216.
10. Tumrasvin, W., Kurahashi, H., & Kano, R. (1979). Studies on medically important flies in Thailand VII. Report on 42 species of calliphorid flies, including the taxonomic keys (Diptera: Calliphoridae). *The Bulletin of Tokyo Medical and Dental University*, 26, 243-272.
11. Zuha, R.M., Supriyani, M., & Omar, B. (2008). Fly artifact documentation of *Chrysomya megacephala* (Fabricius) (Diptera: Calliphoridae) - a forensically important blowfly species in Malaysia. *Tropical Biomedicine*, 25, 17–22.

วารสารนิติเวชศาสตร์ ปีที่ 4 ฉบับที่ 2

มกราคม – เมษายน พ.ศ.2555

ระยะเวลาในการเจริญและเติบโตของด้วงหนังสัตว์ *Dermestes maculatus* ที่ป้านา

คลองหนองเหล็ก ตำบลล่าโพธิ์ อําเภอเมือง จังหวัดพิษณุโลก

แสงขัน ทิวานารถ ครรชิต คงรส *

ไชยวัฒน์ ไชยสมบูรณ์ วัชรินทร์ เทียนสันต์ อรัญญา จิรวิริยะกุล *

อิทธิพล พลสวัสดิ์ ธนากร เสียงล้ำ พิทักษ์ สุริยะบุตร **

อนุกูล พิชญวิวัฒน์ ***

บทคัดย่อ

ด้วงหนังสัตว์ (*Dermestes maculatus*) เป็นแมลงปีกแข็งที่มีความสำคัญในการสืบสานทางนิติวิทยาศาสตร์ ด้วงชนิดนี้จะพบในระยะท้ายของการเน่าสลายของสิ่งมีชีวิต การศึกษานี้มีวัตถุประสงค์เพื่อประมาณเวลาในการเจริญเติบโตของแมลงชนิดนี้ในเขตชุมชนบ้านคลองหนองเหล็ก ตำบลล่าโพธิ์ อําเภอเมือง จังหวัดพิษณุโลก ผลการศึกษาพบระยะเวลาในการเจริญจากด้วงตัวเต็มวัยเป็นตัวอ่อน ตัวอ่อนเป็นดักแด้และดักแด่เป็นตัวเต็มวัยใช้เวลา 7.08 ± 2.00 , 22.14 ± 2.88 , 7.07 ± 1.71 วันตามลำดับ ข้อมูลจากการศึกษานี้เป็นประโยชน์ในทางนิติวิทยาศาสตร์ของสถานที่ทำการศึกษา

คำสำคัญ: ด้วงหนังสัตว์ ระยะเวลาการเจริญเติบโต

* ภาควิชาเทคนิคการแพทย์ คณะสหเวชศาสตร์ มหาวิทยาลัยนเรศวร พิษณุโลก

** นิติเทคนิคการแพทย์ คณะสหเวชศาสตร์ มหาวิทยาลัยนเรศวร พิษณุโลก

*** สำนักงานเลขานุการ คณะสหเวชศาสตร์ มหาวิทยาลัยนเรศวร พิษณุโลก

Growth and Developmental Duration of De Geer (*Dermestes maculates*) in Klong

Nong Lek Village, Tha Po Sub-district, Phitsanulok City, Phitsanulok Province.

Saengchai Nateeworanart, Kunchit Kongros *

Chaiwat Chaisomboon, Arunya Jiraviriyakul, Watcharinthon Theansun*

Itthipon Ponsawat, Thanakorn Slanglam, Pittak Suriyabut**

Anukul pichayawiwat***

Abstract

De Geer (*Dermestes maculates*) is a kind of beetle that plays an important role in forensic investigation. It can be found in the late stages of creature decomposition. This study aims to estimate period of growth and development of this insect in an ambient area of Klong Nong Lek Village, Tha Po Subdistrict, Phitsanulok City, Phitsanulok Province. The results show that the developing time from adult insect to larva, larva to pupa and pupa to adult were 7.08 ± 2.00 , 22.14 ± 2.88 , 7.07 ± 1.71 days, respectively. Our data is useful for forensics study.

Keywords: De Geer, growth and development duration

* Department of Medical Technology, Faculty of Allied Health Sciences, Naresuan University, Phitsanulok.

** Medical Technology Student, Faculty of Allied Health Sciences, Naresuan University, Phitsanulok.

*** The Secretariat of the Faculty of Allied Health Sciences, Naresuan University, Phitsanulok.

บทนำ

Dermestes maculatus De Geer (Hide beetle) หรือ ด้วงหนังสัตว์ เป็นแมลงปีกแข็งที่จัดอยู่ใน Kingdom Animalia, Phylum Arthropoda, Class Insecta, Order Coleoptera, Infraorder Bostrichiformia, Superfamily Bostrichoidea และ Family Dermestidae¹⁻⁴ แมลงปีกแข็งชนิดนี้มีวงจรชีวิตแบบสมบูรณ์ (complete metamorphosis) (รูป 1)

ด้วงชนิดนี้มีรายงานการพบร้าโอลิกรูมทั่วโลกรวมทั้งมีการใช้เป็นหลักฐานประกอบในสถานที่เกิดเหตุทั่วโลก⁵ โดย Sukontason และคณะรายงานพบด้วงชนิดนี้ในศพ 30 ร่างตั้งแต่ปี ก.ศ. 2000 ถึง 2006 ซึ่งด้วงถูกเก็บจากสถานที่เกิดเหตุบริเวณป่าไม้ทั้งในร่มและกลางแจ้ง เขตเมืองและชนเมือง สำหรับกรณีศึกษาที่เกิดใน Bukit Mertajam, Penang, Malaysia พบร้าด้วงชนิดนี้ในชากศพของผู้ตายรายหนึ่ง จากการประมาณจากตัวอ่อนและตัวเต็มวัยของด้วง *D. ater* (De Geer) คาดว่าผู้ตายน่าจะตายมาแล้ว 14 วัน⁷ ส่วนกรณีศึกษาที่สองเป็นศพเพศหญิงที่ศพบนหนองด้วงหนังสัตว์ *D. maculatus* จำนวนมาก จากเอกสารของชีวิตของด้วงหนังสัตว์คิดค่า PMI ได้ประมาณ 19-24 วัน (ระยะเวลาที่ด้วงเริ่มเข้าทำลายศพ 11 วัน⁸ + ระยะเวลา 1 - 6 วัน + อายุหนองที่พบร้านศพ 7 วัน) ต่อมาเมื่อเจ้าหน้าที่ตำรวจขึ้นตัวมาตกรได้ คำสารภาพของมาตกรทำให้ทราบระยะเวลาการตายที่แท้จริงคือ 22 วัน⁹ นอกจากนี้ Schroeder และคณะตั้งข้อสังเกตถึงการพนมูลของด้วงหนังสัตว์ (frass) ว่า สามารถชี้ให้เห็นถึงร่องรอยของการมาที่ศพของแมลงชนิดนี้ได้ โดยมูลของด้วงหนังสัตว์มีสีน้ำตาลดำ มีลักษณะคล้ายเส้นใยคล้ำขนาดน้ำ¹⁰

เนื่องจากด้วงชนิดนี้มีความสำคัญทางนิติวิทยาศาสตร์ การศึกษานี้จึงมีวัตถุประสงค์เพื่อศึกษาระยะเวลาที่ด้วงหนังสัตว์ใช้ในการเจริญเติบโตเพื่อประมาณเวลาในการตายสำหรับใช้เป็นข้อมูลทางนิติวิทยาสำหรับพืนที่ที่ทำการศึกษา

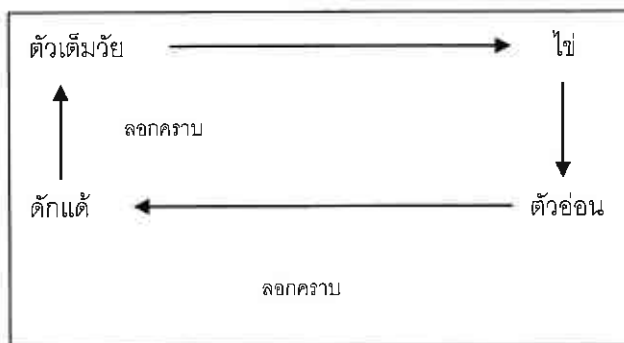
วิธีการศึกษาวิจัย

สถานที่เก็บตัวต้นวัยในการศึกษา

นำศพไก่ทึ้งในเขตที่อยู่อาศัย บ้านคลองหนองเหล็ก ตำบลท่าโพธิ์ อำเภอเมือง จังหวัดพิษณุโลก ทำการเก็บแมลงตัวเต็มวัยที่มาที่ศพทุกวัน และนำมาเลี้ยงในเรือนเพาะเลี้ยงที่ตั้งอยู่บริเวณไกลักษันที่ทึ่งศพ บ้านทึ่งอุณหภูมิและความชื้นสัมพัทธ์ทุกวัน

การศึกษาระยะเวลาในการเจริญเติบโตของตัวอ่อนและตัวเต็มวัย

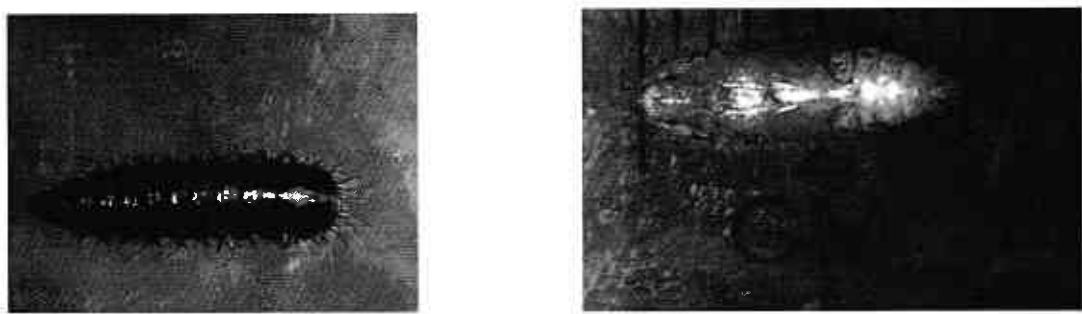
นำด้วงหนังสัตว์ที่เก็บจากฟูกไก่มาเพาะเลี้ยงในกล่องเลี้ยง โดยให้ปุ๋ยแท็งและน้ำอย่างเพียงพอ สังเกตการเปลี่ยนแปลงการเจริญเติบโต จนบันทึกระยะเวลาที่ด้วงหนังสัตว์ใช้การเจริญและเปลี่ยนแปลงรูปร่าง



รูปที่ 1 วงจรชีวิตของด้วงหนังสัตว์



รูปที่ 2 ตัวเต็มวัยของด้วงหนังสัตว์ที่เก็บจากฟูกไก่ (ซ้าย: dorsal view; ขวา: ventral view)



รูป 3 ตัวอ่อนของด้วงหนังสัตว์

รูป 4 ดักแด้ของด้วงหนังสัตว์จากการเพาะเลี้ยงในห้องปฏิบัติการ

ผลการศึกษาวิจัย

ผู้วิจัยทำการเพาะเลี้ยงแมลงในช่วงเดือนมิถุนายนถึงเดือนสิงหาคมที่อุณหภูมิของอากาศในการศึกษานี้อยู่ระหว่าง $26.67 \pm 1.74^{\circ}\text{C}$ ความชื้นสัมพัทธ์ $79.31 \pm 6.9\%$

การศึกษานี้พับด้วงหนังสัตว์ในช่วง active advance และ dry ของการย่อยสลายศพ โดยจะเริ่มพับแมลงชนิดนี้ในวันที่ 6-9 หลังจากเริ่มทึ่กฟูกไก่ เมื่อนำตัวเต็มวัยมาทำการเพาะเลี้ยง 2 generation ผู้วิจัยพบระยะเวลาตัวเต็มวัยออกไข่และไข่ฟักเป็นตัวอ่อนใช้เวลา 7.08 ± 2.00 วัน และตัวอ่อนเป็นดักแด๊กคือ 22.14 ± 2.88 วัน ในขณะที่ระยะเวลาจากดักแด๊กเป็นตัวเต็มวัยใช้เวลา 7.07 ± 1.71 วัน (รูปที่ 2-4 และ ตาราง 1)

ตาราง 1 แสดงระยะเวลาในการเจริญเติบโตของด้วงหนังสัตว์ที่เลี้ยงในโรงพยาบาลเพาะเลี้ยง

การเจริญเติบโตของด้วงหนังสัตว์	ระยะเวลาที่ใช้ในการเจริญเติบโต(วัน)
ตัวเต็มวัยออกไข่และไข่ฟักเป็นระยะตัวอ่อน	7.08 ± 2.00
ระยะตัวอ่อนไปเป็นระยะดักแด๊ก	22.14 ± 2.88
ระยะดักแด๊กไปเป็นระยะตัวเต็มวัย	7.07 ± 1.71
รวมระยะเวลาในการเจริญ	36.29 ± 6.59

สรุปและอภิปรายผลการศึกษาวิจัย

การศึกษานี้ ผู้วิจัยทำการศึกษาระยะเวลาในการเจริญเติบโตของด้วงหนังสัตว์ที่เลี้ยงในโรงพยาบาลเพาะเลี้ยง ในเขตชุมชนบ้านคลองหนองเหล็ก ต. ท่าโพธิ์ อ. เมือง จ. พิษณุโลก พบว่าระยะเวลาตัวเต็มวัยออกไข่และไข่ฟัก เป็นตัวอ่อนใช้เวลา 7.08 ± 2.00 วัน และตัวอ่อนเป็นดักแด๊กคือ 22.14 ± 2.88 วัน ในขณะที่ระยะเวลาจากดักแด๊กเป็นตัวเต็มวัยใช้เวลา 7.07 ± 1.71 วัน ซึ่งสอดคล้องกับชุมพล กันทะที่ระบุระยะเวลาในการเจริญเติบโตของแมลงชนิดนี้คือ ไข่ของด้วงชนิดนี้ใช้เวลา 1-6 วัน ในการเจริญเป็นตัวอ่อน ระยะตัวอ่อนใช้เวลา 18 วัน ระยะดักแด๊กใช้เวลา 6 วัน ระยะเวลาจากไข่ เป็นตัวเต็มวัยประมาณ 30 วัน ^{8,11} ในขณะที่ Tassanee Jamjanya และคณะ เก็บตัวอ่อนที่เก็บจากซากศพในสถานที่เกิดเหตุ และทำการเพาะเลี้ยงในห้องปฏิบัติการ คณะผู้วิจัยพบว่าไข่ของด้วงใช้เวลา 2.4 ± 0.67 วันในการฟักเป็นตัวอ่อน จากนั้นตัวอ่อนจะลอกคราบ 5 ครั้งใช้เวลา 23.38 ± 1.85 วัน ในระยะ prepupa ใช้เวลา 2.94 ± 0.89 วัน pupa ใช้เวลา 6.23 ± 0.55 วัน รวมระยะที่ครบวงจรชีวิตใช้เวลา 32.01 ± 1.92

วัน¹² ส่วนการศึกษาระยะเวลาในการเจริญเติบโตของแมลงชนิดนี้ทางภาคใต้ของประเทศไทยโดย สุวดี มัจฉา พบระยะห์ใช้เวลา 2.6 ± 0.05 วัน ตัวอ่อนใช้เวลา 38 ± 0.46 วัน ดักแด๊กใช้เวลา 6.4 ± 0.06 วัน รวมระยะเวลาจากไข่เจริญไปเป็นตัวเต็มวัย 46.90 ± 0.44 วัน¹³

การศึกษานิคของแมลงที่พับบนศพ มีประโยชน์ในนิติวิทยาศาสตร์ โดยนิคและเวลาที่ใช้ในวงจรชีวิตแมลงจะช่วยการประมาณเวลาหลังการตาย (post mortem interval; PMI) ซึ่งจะใช้ประกอบเป็นหลักฐานร่วมกับการตรวจทางนิติเวชอื่น เช่น การตรวจร่างกายศพ การตรวจทาง พยาธิวิทยา การตรวจทางนิติเชื้อโรโอลี และการตรวจทางอนุวิทยา เป็นต้น

ในการนิติภูมิวิทยามีการแบ่งช่วงการเน่าสลายของศพที่แตกต่างกัน แต่การศึกษานี้แบ่งเน่าสลายของศพตามรายงานของ Apichat และคณะ ซึ่งแบ่งระยะการเน่าสลายของศพเป็น 5 ระยะได้แก่ระยะ fresh, bloat, active, advance และ dry²⁸ โดยส่วนใหญ่จะ ตัวอ่อน ดักแด๊กของแมลงวันจะพบในระยะต้นของการเน่าสลาย ส่วนแมลงปีกแข็งรวมทั้ง *D. maculatus* จะพบในระยะ advance และ dry โดยผลการศึกษาดังกล่าวได้จากการศึกษาศพ ถึง กระต่าย หนู rat และหมู¹⁴⁻²⁵ ซึ่งสอดคล้องกับการศึกษานี้ซึ่งพบด้วงหนังสัตว์ในการย่อยสลายของศพช่วง active advance และ dry

นอกจากการประมาณเวลาหลังการตายแล้ว สัตว์ขาข้อที่พับบนศพยังถูกนำมาใช้ในการตรวจพิมพิทยาเพื่อหาสารพิษ ยาฆ่าแมลงและสารเสพติดจากศพได้^{26, 27} ดังมีรายงานการตรวจสาร morphine ในแมลงปีกแข็งกลุ่ม Coleoptera ซึ่งได้แก่ *D. frischii* และ *Thanatophilus sinuatus* โดยการตรวจสารพิษในระยะตัวอ่อน ดักแด๊กและตัวเต็มวัยของแมลงปีกแข็งทั้งสองชนิดดังกล่าว พนว่าระยะตัวอ่อน ดักแด๊กและตัวเต็มวัยของ *D. frischii* ตรวจพบสารเสพติดได้ในขณะที่ *T. sinuatus*²⁸ พน morphine ในบางระยะเท่านั้น (2^{nd} และ 3^{rd} instar larvae) โดย Gagliano-Candela และ Aventaggiato และนำการตรวจสารพิษจากแมลงกินศพตรวจด้วยวิธีที่มีความไวและจำเพาะ เช่น GC-MS และ HPLC-MS มากกว่าการตรวจด้วย immunoenzyme essay นอกจากนี้นักวิเคราะห์ยังระบุว่า หากศพมีสาเหตุการตายจากการได้รับยาหรือสารพิษ ความเข้มข้นของยาและสารพิษที่ตรวจจากแมลงปีกแข็งจะพบปริมาณที่ต่ำกว่าที่พบในตัวอ่อนหนอนและดักแด๊กของแมลงวัน ถึงแม้ว่าด้วงจะกินไข่หรือตัวอ่อนหนอนแมลงวันก็ตาม²⁹ นอกจากนี้ Miller และคณะพบว่า ด้วงในกลุ่ม dermestidae จะตรวจสารพิษจากศพที่แห้งได้ เพราะด้วงจะกินผิวนังชาศพที่แห้งเป็นอาหาร³⁰

วารสารนิติเวชศาสตร์ ปีที่ 4 ฉบับที่ 2

มกราคม – เมษายน พ.ศ.2555

ปัจจัยที่มีผลต่อการใช้แมลงเพื่อการประมาณเวลาในการตาย ได้แก่ อุณหภูมิ สภาพและระยะเวลาการตายของศพ ความชื้นและกลิ่นที่เกิดจากแบคทีเรียอย่างสาขศพ ในการศึกษาผลของการเปลี่ยนแปลงของอุณหภูมิต่อการเจริญเติบโตของ *D. maculatus* พบว่าที่อุณหภูมิ 15°C ตัวอ่อนด้วงไม่สามารถเจริญเป็นตัวเต็มวัย และที่ $20^{\circ}-35^{\circ}\text{C}$ แมลงชนิดนี้จะมีอัตราการระดับชีวิตอยู่ในช่วง 93-36% ระยะเวลาในการระดับชีวิตพบด้วงนี้จะมีช่วงเวลาการระดับชีวิต 89-36 วันที่ช่วงอุณหภูมิเดียวกันนี้ ดังนั้นการประมาณเวลาหลังการตายจะต้องคำนึงถึงอุณหภูมิในสถานที่เกิดเหตุด้วย⁸ การศึกษานี้ผู้วิจัยทำการเพาะเลี้ยงแมลงในช่วงเดือน พฤษภาคมถึงเดือนมิถุนายนที่อุณหภูมิของอากาศในการศึกษานี้อยู่ระหว่าง $26.67 \pm 1.74^{\circ}\text{C}$ ความชื้นสัมพัทธ์ $79.31 \pm 6.9\%$ ส่วนการศึกษาของสุวัตี มัจฉา¹³ ที่อุณหภูมิของอากาศในการศึกษานี้อยู่ระหว่าง $27.60 \pm 0.8^{\circ}\text{C}$ ความชื้นสัมพัทธ์ $79.31 \pm 4.0\%$ ซึ่งผลการศึกษามีความแตกต่างกันอยู่บ้างทั้งนี้อาจเนื่องมาจากการอุณหภูมิที่แตกต่างกันของภูมิอากาศของภาคเหนือตอนล่างและภาคใต้มีความแตกต่างกัน

D. maculatus เป็นแมลงอีกชนิดหนึ่งที่สามารถพบได้ในทุกๆ ภาค ^{16, 31-33} ดังนั้น การศึกษาชีววิทยาและวงจรชีวิตของด้วงหนังสัตว์ในแต่ละสภาวะอากาศและสิ่งแวดล้อมที่แมลงชนิดนี้อาศัยเพื่อใช้เป็นวัสดุพยานในงานนิติวิทยาศาสตร์ซึ่งมีความสำคัญในทุกพื้นที่ของประเทศไทย

กิตติกรรมประกาศ

ขอขอบคุณคุณพิสิษฐ์ แสงอนันต์การ อุณสุรีพร นาครอั้ง ภาควิชาภาษาอังกฤษ คณะวิทยาศาสตร์การแพทย์ มหาวิทยาลัยนเรศวร ในการทำนายความสะดวกการถ่ายภาพสำหรับใช้ในการประกอบเนื้อหาของงานวิจัยนี้ ขอขอบคุณอาจารย์ Matthew Robert Furcason สถาบัน NULC มหาวิทยาลัยนเรศวรในการตรวจสอบความถูกต้องของบทคัดย่อภาษาอังกฤษ

References

1. Dermestes maculatus - BugGuide.Net. Identification, images, & information for insects, spiders & their kin for the United States & Canada. 2006. Access at <http://bugguide.net/node/view/39726/bgpage>. on July 5, 2010.
2. Shaver B, Kaufman P. Hide beetle Dermestes maculatus DeGeer 2008. Access at <http://edis.ifas.ufl.edu/pdffiles/IN/IN83600.pdf> on July 5, 2010.
3. Dermestes maculatus DeGeer, 1774. Access at <http://www.dermestidae.com/Dermestesmaculatus.html> on July 5, 2010.

4. Gernard DE. Forensic entomology: an introduction. 1st ed. UK: John Wiley and sons ltd. 2007.
5. Sukontason K, Narongchai P, Kanchai C, Vichairat K, Sribanditmongkol P, Bhoopat T, et al Forensic entomology cases in Thailand: a review of cases from 2000 to 2006. Parasitol Res 2007; 101(5): 1417-23.
6. Kulshrestha P, Satpathy DK. Use of beetles in forensic entomology. Forensic Sci Int. 2001 ; 120(1-2): 15-7.
7. Kumara TK, Abu Hassan A, Che Salmah MR, Bhupinder S. The infestation of *Dermestes ater* (De Geer) on a human corpse in Malaysia. Trop Biomed 2009; 26(1): 73-9.
8. Richardson MS, Goff ML. Effects of temperature and intraspecific interaction on the development of *Dermestes maculatus* (Coleoptera: Dermestidae). J Med Entomol 2001 ; 38(3): 347-51.
9. นภาพร ศรีตตะวันนิช, ทัศนีย์ แจ่มจรรยา, ยุพา หาญบุญทรง, อัมพร แจ่มสุวรรณ. การประยุกต์ใช้นิodic กีวิทยาในการประมาณระยะเวลาหลังการตาย วารสารวิจัยมหาวิทยาลัยขอนแก่น ฉบับบัณฑิตศึกษา 2550; 7(2): 1-5.
10. Schroeder H, Klotzbach H, Oesterhelweg L, Püschel K. Larder beetles(Coleoptera: Dermestidae) as an accelerating factor for decomposition of a human corpse. Forensic Sci Int 2002; 127(3): 231-6.
11. ชุมพล กันทะ. หลักการป้องกันกำจัดแมลงศัตรูในโรงเก็บ. ภาควิชาคีวิทยา คณะเกษตรศาสตร์ มหาวิทยาลัยขอนแก่น 2533
12. Jamjanya T, Sritavanich N, Jansuwan A, Hanboonsong Y. The use of Dermestid to evaluate post-mortem interval. The 2nd international conference on forensic science and medical science, July 28th-29th,2007. Naresuan university, Phitsanulok, Thailand.116 .
13. สุวศิริ มัจนา. การศึกษาระยะเวลาการเจริญเติบโตและดำเนินชีวิตของด้วง *Dermestes maculatus* De Geer (Coleoptera: Dermestidae) 116 <http://www.Scimth.org/component/show/586> สืบค้นวันที่ 10 มีนาคม พศ. 2554
14. Apichat V, Wilawan P, Udomsak T, Chanasorn P, Saengchai N. A preliminary study on insects associated with pig (*Sus scrofa*) carcasses in Phitsanulok, northern Thailand. Trop Biomed 2007; 24(2): 1-5.
15. Sukontason KL, Narongchai P, Sukontason K, Methanitikorn R, Piangjai S. Forensically important fly maggots in a floating corpse: the first case report in Thailand. J Med Assoc Thai 2005 ; 88(10): 1458-61.
16. Arnaldos MI, García MD, Romera E, Presa JJ, Luna A. Estimation of postmortem interval in real cases based on experimentally obtained entomological evidence. Forensic Sci Int 2005 ; 149(1): 57-65.
17. Valdes-Perezgasga MT, Sanchez-Ramos FJ, Garcia-Martinez O, Anderson GS. Arthropods of Forensic Importance on Pig Carrion in the Coahuilan Semidesert, Mexico. J Forensic Sci 2010; 55(4): 1098-101.
18. Velásquez Y. A checklist of arthropods associated with rat carrion in a montane locality of northern Venezuela. Forensic Sci Int 2008; 174(1): 68-70.

19. Tantawi TI, eL-Kady EM, Greenberg B, el-Ghaffar HA. Arthropod succession on exposed rabbit carrion in Alexandria, Egypt. J Med Entomol. 1996; 33(4): 566-80.
20. Bharti M, Singh D. Insect faunal succession on decaying rabbit carcasses in Punjab, India. J40.
21. Richardson MS, Goff ML. Effects of temperature and intraspecific interaction on the development of *Dermestes maculatus* (Coleoptera: Dermestidae). J Med Entomol 2001 ; 38(3): 347-51.
22. Carvalho LM, Thyssen PJ, Linhares AX, Palhares FA. A checklist of arthropods associated with pig carrion and human corpses in southeastern brazil. Mem Inst Oswaldo Cruz 2000 ; 95(1): 135-8.
23. Kulshrestha P, Satpathy DK. Use of beetles in forensic entomology. Forensic Sci Int 2001; 120(1-2): 15-7.
24. Arnaldos MI, García MD, Romera E, Presa JJ, Luna A. Estimation of postmortem interval in real cases based on experimentally obtained entomological evidence. Forensic Sci Int 2005; 149(1): 57-65.
25. Oliva A. Insects of forensic significance in Argentina. Forensic Sci Int 2001; 120(1-2): 145-54.
26. Gomes L, Gomes G, Desuó IC. A preliminary study of insect fauna on pig carcasses located in sugarcane in winter in southeastern Brazil. Med Vet Entomol 2009; 23(2): 155-9.
27. Introna F, Campobasso CP, Goff ML. Entomotoxicology. Forensic Sci Int 2001; 120(1-2): 42-7.
28. Lan LM, Liao ZG, Chen YQ, Yao Y, Li JB, Li MY, Cai JF. Advances of forensic entomology in China. A Yi Xue Za Zhi 2006 ; 22(6): 448-50.
29. Bourel B, Tournel G, Hédonin V, Goff ML, Gosset D. Determination of drug levels in two species of necrophagous Coleoptera reared on substrates containing morphine. J Forensic Sci 2001; 46(3): 600-3.
30. Gagliano-Candela R, Aventaggiato L. The detection of toxic substances in entomological specimens. Int J Legal Med 2001; 114(4-5): 197-203.
31. Miller ML, Lord WD, Golf ML, Donnelly B, McDonough ET, Alexis JC. Isolation of amitriptyline and nortriptyline from fly puparia (*Phoridae*) and beetle exuviae (*Dermatidae*) associated with mummified human remains. J Forensic Sci 1994; 39: 1305-13.
32. Wang J, Li Z, Chen Y, Chen Q, Yin X. The succession and development of insects on pig carcasses and their significances in estimating PMI in south China. Forensic Sci Int 2008; 179: 11-8.
33. รักษิณ พลสีดา. ด้วงเหาสัตว์กับการใช้ประโยชน์ในงานนิติเวชศาสตร์. วารสารนิติเวชศาสตร์. 2554; 3(3): 141-57.
34. แสงชัย นทีวนารถ, อภิชาติ วิทย์คง. ด้วงหนังสัตว์ (*Dermestes maculatus*) วารสารเทคนิคการแพทย์ 2553; 38(2): 3190-202.

ความยาวของ Cephalopharyngeal skeleton ของ *Chrysomya rufifacies* ระยะ third instar larvae ที่เก็บจากมหาวิทยาลัยนเรศวร จังหวัดพิษณุโลก

ไชยวัฒน์ ไชยสมบูรณ์ แสงชัย ทิวนารถ อรัญญา จิราภิรัษฐ์ *

อธิพล พลสวัสดิ์ ธนากร เสียงล้ำ พิทักษ์ ศุริยะบุตร **

บทคัดย่อ

Chrysomya rufifacies เป็นหนึ่งในแมลงวันหัวเขียวที่มีความสำคัญมากที่สุดที่พบในหลายส่วนทั่วโลก ตัวอ่อนของแมลงวันนี้มักพบบนเศษของมนุษย์ ซึ่งนักนิติวิทยาสามารถใช้ตัวอ่อนเหล่านี้ประมาณเวลาหลังการตาย (postmortem interval; PMI) ได้ การศึกษานี้มีวัตถุประสงค์เพื่อวัดส่วนต่าง ๆ ของ cephalopharyngeal skeleton (CS) ของแมลงวันชนิดนี้ในระยะ third instar larva โดยตัวอย่างหนอนตัวอ่อนจะถูกขยยและทำให้เห็นส่วนของ CS ใน 10% KOH จากนั้นวัด CS ด้วย oculo micrometer ผลการศึกษาพบ ค่าเฉลี่ย \pm ส่วนเบี่ยงเบนมาตรฐานของความยาวของ pharyngeal sclerite (PS), mouthhook-dorsal lobes (cornua) of pharyngeal sclerite (MH-DC), pharyngeal sclerite-dorsal lobes (cornua) of pharyngeal sclerite (PS-DC), mouthhook-ventral (cornua) of pharyngeal sclerite (MH-VC), mouthhook-vertical plate (MH-VP) และ sclerite เท่ากับ 195.18 \pm 23.83, 1,421.05 \pm 69.88, 1,132.89 \pm 79.36, 1,300.00 \pm 78.77, 1,231.14 \pm 65.34 และ 57.41 \pm 13.85 ไมโครเมตร ตามลำดับ ผลที่ได้จากการศึกษานี้สามารถช่วยในการแยกชนิดของแมลงวันหัวเขียว *C. rufifacies* กับแมลงวันหัวเขียวอื่น ซึ่งจะนำไปสู่การใช้ประโยชน์ในการประมาณเวลาหลังการตายในพื้นที่ทำการศึกษา

คำรหัส: *Chrysomya rufifacies* cephalopharyngeal skeleton มหาวิทยาลัยนเรศวร จังหวัดพิษณุโลก

* ภาควิชาเทคนิคการแพทย์ มหาวิทยาลัยนเรศวร พิษณุโลก

** นิสิตสาขาเทคนิคการแพทย์ ภาควิชาเทคนิคการแพทย์ มหาวิทยาลัยนเรศวร พิษณุโลก

Length of Cephalopharyngeal Skeleton of *Chrysomya rufifacies*, Third Instar Larvae, Collected from Naresuan University, Phitsanulok Province

Chaiwat Chaisomboon, Saengchai Nateeworanart, Arunya Jiraviriyakul *

Itthipon Ponsawat, Thanakorn Sienglum, Pitak Suriyabut **

Abstract

Chrysomya rufifacies is one of the most important blowfly species in a multifarious part of the world. The fly larvae are often found in human corpses, and it is used by forensic entomologist to estimate the postmortem interval (PMI). The objective of this study was to measure the various parts of the cephalopharyngeal skeleton (CS) taken from third instar larva of this fly. The specimens were digested and cleared for a better visualization in 10% KOH. Then the cleared sample was measured its CS by using an oculo micrometer. The results show that the mean \pm standard deviation of length of pharyngeal sclerite (PS), mouthhook-dorsal lobes (cornua) of pharyngeal sclerite (MH-DC), mouthhook-dorsal lobes (cornua) of pharyngeal sclerite or length pharyngeal sclerite-dorsal lobes (cornua) of pharyngeal sclerite (PS-DC), mouthhook-ventral cornua of pharyngeal sclerite (MH-VC) mouthhook-vertical plate (MH-VP) and sclerite are 195.18 ± 23.83 , $1,421.05 \pm 69.88$, $1,132.89 \pm 79.36$, $1,300.00 \pm 78.77$, $1,231.14 \pm 65.34$ and 57.41 ± 13.85 micrometers, respectively. The data results are useful for identifying *C. rufifacies* that lead to estimate PMI in studied area.

Keywords: *Chrysomya rufifacies*, cephalopharyngeal skeleton, Naresuan University, Phitsanulok province

* Department of Medical Technology, Naresuan University, Phitsanulok.

** Student of Medical Technology, Department of Medical Technology, Naresuan University, Phitsanulok.

บทนำ

แมลงวันหัวเขียว (Blow fly) เป็นแมลงวันที่มีความสำคัญทางนิติวิทยาศาสตร์ ด้วยพฤติกรรมของแมลงวันหัวเขียวที่มักจะวางไข่บนสิ่งมีชีวิตที่ตายแล้ว การพบรดตัวอ่อนหนองแมลงวันชนิดนี้จึงสามารถใช้ในการนิติวิทยาศาสตร์เพื่อประมาณระยะเวลาหลังการตาย (postmortem interval: PMI) ของศพได้

Chrysomya rufifacies เป็นแมลงวันหัวเขียวที่พบมากในระยะแรกของกระบวนการเน่าเปื่อยของศพ มีรากฐานการพบแมลงวันชนิดนี้บนซากศพหัวโลกลักษณะเดียวกันในประเทศไทยที่ผ่านมาพบแมลงวัน *Chrysomya megacephala* และ *C. rufifacies* เป็นกลุ่มที่พบมากและมีความสำคัญทางนิติวิทยาในประเทศไทย^{1,2}

Cephalopharyngeal skeleton (CS) เป็นอวัยวะหนึ่งของตัวอ่อนหนองแมลงวันด้าน anterior ที่สามารถถูกอกคุณของแมลงวันได้³ ผู้วิจัยจึงทำการวัดส่วนประกอบของ CS เพื่อใช้เป็นข้อมูลพื้นฐานของการศึกษาความนิติวิทยาของพื้นที่โดยรอบมหาวิทยาลัยเกริก จังหวัดพิษณุโลก

วิธีการศึกษา

ตัวอย่างที่ใช้ในการศึกษา

ผู้วิจัยทำการเก็บตัวอย่างโดยใช้ชากไก่น่าเป็นเหยื่อล่อให้แมลงวันตัวเมียวางไข่ โดยการวางเหยื่อล่อ 5 จุดรอบมหาวิทยาลัยเกริก จ.พิษณุโลก จำนวนนี้ทำการเก็บตัวอย่างหนองในวันที่ 3 ของการวางเหยื่อ โดยเลือกเฉพาะตัวอ่อนระยะ third stage larva ของแมลงวันหัวเขียวเท่านั้นมาเพื่อทำการศึกษาต่อไป จำนวนนี้ทำการแยกชนิดของ *C. rufifacies* จากลักษณะภายนอกจาก key และรายงานที่เคยมีการศึกษาที่ผ่านมา⁴⁻⁵ โดยใช้ตัวอ่อนหนอง *C. rufifacies* จำนวน 72 ตัว ในการวัดความยาวของส่วน CS

การวัดความยาวของตัวอ่อนหนองแมลงวันและส่วน CS

1. วัดขนาดหนองแมลงวันชนิด *C. rufifacies* โดยใช้ vernier caliper และเลือกใช้ตัวที่มีขนาดความกว้าง 1.00 – 1.35 เซนติเมตร ความกว้าง 0.20 – 0.35 เซนติเมตร
2. ตัดส่วนหัวของตัวอ่อนหนองแมลงวันโดยตัดจากส่วนปลายถึงปล้องที่ 3 (รูปที่ 1)
3. นำส่วนหัวของหนองแมลงวันแช่ในสารละลาย 10% KOH ข้ามคืน
4. ทำการ dehydration ส่วนหัวของหนองแมลงวันโดยแช่ใน ethanol ร้อยละ 35, 50, 70, 80, 95 และ 100 เป็นเวลา ความเข้มข้นละ 30 นาที จากนั้นแช่ใน ethanol xylene (S.E. Supply LTD., PART) นาน 30 วินาที

5 Mount ส่วนหัว โดยใช้ permount (Permound, Fisher Chemical, UN 1993)

6 วัดส่วน CS จากส่วนหัวของหนอนแมลงวัน โดยใช้ oculo micrometer โดยวัด

6.1 ความยาวตั้งส่วน Pharyngeal sclerite (Length of PS)

6.2 ส่วน MH-DC (Mouthhook-dorsal lobes (cornua) of pharyngeal sclerite)

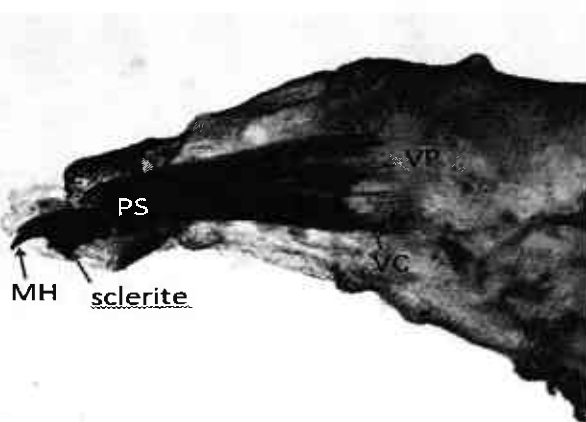
6.3 ส่วน PS-DC (Pharyngeal sclerite-dorsal lobes (cornua) of pharyngeal sclerite)

6.4 ส่วน MH-VC (Mouthhook-ventral cornua of pharyngeal sclerite)

6.5 ส่วน MH-VP (Mouthhook-vertical plate of pharyngeal sclerite)

6.6 ส่วน sclerite

7. บันทึกผลโดยรายงานค่ากลางความยาวของ CS ได้แก่ ค่าความยาวและความกว้างสูงสุดและต่ำสุด (maximum and minimum) ค่าเฉลี่ย (mean) ส่วนเบี่ยงเบนมาตรฐาน (standard deviation; SD) โดยค่าที่รายงานมีหน่วยเป็น ไมโครเมตร



รูปที่ 1 โครงสร้าง cephalopharyngeal skeleton ระยะ L3 ของ blow fly larva. PS; pharyngeal sclerite, MH; mouthhook, DC;

dorsal lobes (cornua) of pharyngeal sclerite, VC; ventral cornua of pharyngeal sclerite, VP; vertical plate. (10x)

ผลการศึกษา

ขนาดของ CS ของตัวอ่อนหนอนแมลงวัน *C. rufifacies* มีความยาวของส่วน PS อยู่ระหว่าง 150-250 ไมโครเมตร ค่าเฉลี่ยที่ 195.18 ไมโครเมตร ความยาวจากส่วน mouthhook (MH) ถึงส่วน dorsal lobes (cornua) of pharyngeal sclerite (DC) มีความยาวระหว่าง 1,250-1,550 ไมโครเมตร ค่าเฉลี่ยที่ 1,421.05 ไมโครเมตร ค่า

ความยาวจากส่วน pharyngeal sclerite (PS) ถึง dorsal lobes (cornua) of pharyngeal sclerite (DC) มีความยาวระหว่าง 1,000-1,425 ไมโครเมตร ค่าเฉลี่ยที่ 1,132.89 ไมโครเมตร ค่าความยาวของส่วน MH ถึงส่วน ventral cornua of pharyngeal sclerite (VC) มีความยาวระหว่าง 1,125-1,500 ไมโครเมตร ค่าเฉลี่ยที่ 1,300.00 ไมโครเมตร ความยาวของส่วน MH ถึง vertical plate (VP) มีความยาวระหว่าง 1,100-1,400 ไมโครเมตร ค่าเฉลี่ยที่ 1,231.14 ไมโครเมตร และความยาวสำหรับ sclerite มีค่าระหว่าง 25-87.5 ไมโครเมตร ค่าเฉลี่ย 57.41 ไมโครเมตร (ตารางที่ 1)

ตารางที่ 1 ความยาวของโครงสร้าง Cephalopharyngeal skeleton of *C. rufifacies*

	Length of (micrometers; μm)					
	PS (μm)	MH-DC (μm)	PS-DC (μm)	MH-VC (μm)	MH-VP (μm)	Sclerite (μm)
Max	250	1,550	1,425	1,500	1,400	87.5
Min	150	1,250	1,000	1,125	1,100	25
Mean	195.18	1,421.05	1,132.89	1,300	1,231.14	57.41
SD	23.83	69.88	79.36	78.77	65.34	13.85

สรุปและวิจารณ์

ในการศึกษานี้ ผู้วิจัยดัดความยาวของ CS ของตัวอ่อนหนอนแมลงวัน *C. rufifacies* มีความยาวของส่วน PS, MH-DC, PS-DC, MH-VC, MH-VP และ sclerite เท่ากับ 195.18 ± 23.83 , $1,421.05 \pm 69.88$, $1,132.89 \pm 79.36$, $1,300.00 \pm 78.77$, $1,231.14 \pm 65.34$ และ 57.41 ± 13.85 ไมโครเมตร ตามลำดับ ในขณะที่การวัดความยาวของ CS ของตัวอ่อนระยะ third instar larvae ของ *C. megacephala* พน ค่าเฉลี่ย \pm ส่วนเบี่ยงเบนมาตรฐาน ของความยาวของ PS ระยะของ MH-DH, PS-DC, MH-VC และ MH-VP เท่ากับ 392.14 ± 29.14 , $1,616.47 \pm 85.42$, $1,265.65 \pm 69.65$, $1,362.01 \pm 85.94$ และ 607.88 ± 44.13 ไมโครเมตร ตามลำดับ⁵ จากข้อมูลดังกล่าว

พบว่า ส่วน PS และ MH-VP ของแมลงวันทึ้งสองชนิดมีความแตกต่างกันมาก และนักนิติวิทยาสามารถแยก แมลงวันทึ้งสองชนิดได้จาก CS ทึ้งสองส่วนนี้ อย่างไรก็ตาม ผู้วัดต้องใช้ตัวอ่อนระยะ third instar larva ของ แมลงวันหัวเขียว เนื่องจากเป็นระยะที่ CS ไม่มีการเปลี่ยนแปลงแล้ว

การศึกษาส่วน CS มีประโยชน์ในการระบุชนิดของ *C. megacephala* และ *C. rufifacies* การพับตัวอ่อน หนอนแมลงวันนี้ นอกจากจะมีประโยชน์ในการประมาณเวลาหลังการตายแล้ว ยังสามารถใช้ตัวอ่อนหนอน แมลงวันมาตรวจสอบพิษหรือยาที่ผู้ชายได้รับก่อนตายได้อีกด้วย^{6,7}

หนอนแมลงวันที่นำมารักษาเป็นหนอนแมลงวันที่ได้มาจากการวางไข่ตามธรรมชาติ ผู้วิจัยคาดว่า การศึกษาจะมีประโยชน์มากยิ่งขึ้นหากมีการศึกษาด้านอื่น เช่น การศึกษาพิษวิทยา ระยะเวลาในช่วงเวลาที่มีการเจริญและพัฒนาของตัวอ่อนที่เพาะเลี้ยงในห้องปฏิบัติการตัวอย่าง เนื่องจากข้อมูลดังกล่าวจะมีประโยชน์ในการ พิษวิทยาและการประมาณค่า PMI มาตรฐานของพื้นที่ที่ศึกษา

ในการศึกษานี้ผู้วิจัยใช้สารละลาย 10% KOH ช่วยย่อยสารประกอบในตัวหนอนเพื่อให้เห็นส่วน CS ได้ชัดเจนยิ่งขึ้น อย่างไรก็ตาม มีรายงานการศึกษาพบว่าสารละลายกรด HCl และ H_2SO_4 ทำให้เห็นส่วน CS ของตัว อ่อนได้เร็วกว่าสารละลาย 10% KOH สารละลายกรดจึงน่าจะใช้เวลาอยู่ตัวหนอนได้เร็วขึ้น⁸ การศึกษาในอนาคตจึงควรทำการศึกษาชนิดของสารละลายที่เหมาะสมในการย่อยและทำให้เห็นส่วน CS เนื่องจากจะช่วย ระบุชนิดของตัวอ่อนได้เร็วขึ้น ทำให้สามารถรายงานผลได้เร็วขึ้น นำไปสู่การประมาณเวลาหลังการตายรวดเร็ว ยิ่งขึ้น

การศึกษานานาด รูปร่างของไข่และอวัยวะของแมลงวันมีส่วนช่วยในการคลี่คลายคดีที่มีรายงาน ในสหรัฐอเมริกาและหลายประเทศทั่วโลก สำหรับในประเทศไทยมีรายงานการใช้ตัวอ่อนแมลงวันในการ ประมาณเวลาในการตาย เช่น การประมาณเวลาในการตายของหญิงไทยรายหนึ่งในจังหวัดขอนแก่น ได้จากการ ย่อนของ *C. megacephala*⁹ สำหรับอวัยวะที่สามารถใช้ในการแยกชนิดแมลงวัน ได้แก่ anterior และ posterior spiracle เป็นต้น^{3, 10, 11} ในขณะที่มีรายงานการศึกษาในจังหวัดเชียงใหม่ ซึ่งมีการศึกษารูปร่างลักษณะและอัตรา การพัฒนาของแมลงวันที่มีความสำคัญทางนิติศาสตร์ คือ *C. megacephala* และ *C. rufifacies*¹² รายงานนี้ ผู้วิจัยทำการวัด CS ของ *C. rufifacies* เท่านั้น เนื่องจากเป็นแมลงวันหัวเขียวที่พบมากในพื้นที่ที่ศึกษา อย่างไรก็

ภารกิจภายในอนาคตการทำการวัดส่วนต่างๆ ของ CS ของแมลงวันหัวเขียวชนิดอื่นที่พบในเขตที่ทำการศึกษา แมลงวันที่ควรทำการวัด CS ได้แก่ *C. nigripes*, *C. chain* โดย Bunchu และคณะได้รายงานไว้ในการสำรวจชนิดของแมลงวันหัวเขียวในจังหวัดพิษณุโลก อย่างไรก็ตาม แมลงวันที่พบสูงสุด คือ *C. megacephala* และ *C. rufifacies*¹³ สำหรับการศึกษาลักษณะและความขาวของ CS ของแมลงวันในอนาคตควรมีการศึกษาแมลงวันกลุ่มนี้ เช่น แมลงวันบ้าน แมลงวันหลังลายและแมลงวันกลุ่มนี้ๆ ซึ่งผู้วิจัยคาดว่าจะเป็นประโยชน์ในการนิติภูมิทางของจังหวัดพิษณุโลกและประเทศไทยต่อไป

กิตติกรรมประกาศ

ผู้วิจัยขอขอบคุณ คุณพิสิฐ แสงอนันต์การ คุณสุรีพร นาครองและอาจารย์ยุทธพงษ์ ทองพน ภาควิชาภาษาอังกฤษ
คณะวิทยาศาสตร์การแพทย์ มหาวิทยาลัยนเรศวร ในการให้ความช่วยเหลือระหว่างทำการทดลอง และขอขอบคุณอาจารย์ Matthew Robert Ferguson, Naresuan University Language Center (NULC) ในการให้คำแนะนำและช่วยตรวจสอบความถูกต้องของบทคัดย่อภาษาอังกฤษ

References

1. กม สุคนธสรพ., ก้าบแก้ว สุคนธสรพ. แมลงวันที่มีความสำคัญทางการแพทย์ในประเทศไทย. พิมพ์ครั้งที่ 1. เชียงใหม่: เชียงใหม่ดิจิตอลเวิร์คส์ จำกัด. 2548.
2. Erzinclioglu YZ. The larvae of some blowflies of medical and veterinary importance. Med Vet Entomol 1987; 1: 121-5.
3. Greenberg B, Kunich JC. Entomology and the law: flies as forensic indicators. UK: Cambridge University Press. 2002.
4. Wells JD, Byrd JH, Tantawi TI. Key to third-instar chrysomyinae (Diptera: Calliphoridae) from carrion in the continental United States. J Med Entomol 1999; 36(5): 638-41.
5. แสงชัย นทีวรรณ, นพวรรณ บุญชู, อภิชาติ วิทย์ตะ. การวัด Cephalopharyngeal skeleton ของ *Chrysomya megacephala* ระยะ third instar larvae ที่เก็บจากมหาวิทยาลัยนเรศวร จังหวัดพิษณุโลก. วารสารเทคนิคการแพทย์ 2553; 38(1): 3100-6.
6. Gagliano CR, Aventaggiato L. The detection of toxic substances in entomological specimens. Int J Legal Med 2001; 114: 197-203.
7. Campobasso CP, Gherardi M, Caligara M, Sironi L, Introna F. Drug analysis in blowfly larvae and in human tissue: a comparative study. Int J Legal Med 2004; 118: 201-4.

วารสารนิติเวชศาสตร์ ปีที่ 4 ฉบับที่ 2

มกราคม – เมษายน พ.ศ.2555

8. Sukontason K, Mathanitikorn R, Sukontason KL, Piangjai S, Olson JK. Clearing technique to examine the cephalopharyngeal skeletons of blow fly larvae. *J Vector Ecol* 2003; 29: 192-5.
9. นภาพร ศรีตะวันนิช, พัฒนีย์ แจ่มจรรยา, ยุพา หาญนุณทรง, อัมพร แจ่มสุวรรณ. การประยุกต์ใช้เทคนิคกีวิวิทยาในการประมาณเวลาหลังการตาย. *วารสารวิจัย นข.* 2550; 7(2): 1-5.
10. Greenberg B. *Chrysomya megacephala* (F) (Diptera: Calliphoridae) collected in North America and note on *Chrysomya* species present in the New World. *J Med Entomol* 1988; 25: 199-200.
11. Greenberg B, Singh D. Species identification of Calliphoridirid (Diptera) egg. *J Med Entomol* 1995; 48: 46-50.
12. Sukontason K, Piangjai S, Siriwattanarungsee S, Sukontason LK. Morphology and developmental rate of blowflies *Chrysomya megacephala* and *C. rufifacies* in Thailand: application in forensic entomology. *Parasitol Res* 2008; 102(5): 973-80.
13. Bunchu N, Sanit S, Sontigun N, et al. Blowfly species (Diptera: Calliphoridae) in different landscapes of Phitsanulok province, Thailand. Abstract of the 6th Naresuan research conference, 2010 July 29-31. Thailand, Phitsanulok: 2010. p83.

ความซุกของหมู่เลือด ABO และ Rh ในโครงการบริการวิชาการของคณะ

วิทยาศาสตร์การแพทย์ มหาวิทยาลัยนเรศวร พิษณุโลก

ยุทธพงษ์ ทองพน *

อภิชาติ วิทย์ดะ **

แสงชัย นทีวนารถ ***

บทคัดย่อ

คณะผู้วิจัยศึกษาความซุกของหมู่เลือดในระบบ ABO และ Rh โดยเก็บตัวอย่างเลือดจำนวนทั้งสิ้น 167 คน จาก 3 ตำบลของจังหวัดพิษณุโลก คือ (1) ตำบลบ้านชาติตระการ อำเภอชาติตระการ (จำนวน 47 คน), (2) ตำบลบ้านมุง อำเภอเนินมะปราง (จำนวน 100 คน) และ (3) ตำบลบ้านยาง อำเภอวัดโบสถ์ (จำนวน 20 คน) พบว่าตัวอย่างเลือดจากบ้านชาติตระการเป็นหมู่เลือด A, B, AB และ O เป็นจำนวน 7, 15, 2 และ 23 ตัวอย่างตามลำดับ ในกลุ่มที่สองพบความซุกของหมู่เลือด A, B, AB และ O จากประชากรบ้านมุงเป็นจำนวน 12, 36, 8 และ 44 คนตามลำดับ และในกลุ่มสุดท้าย ประชากรจากบ้านยางจำนวน 2, 10, 1 และ 7 คนมีหมู่เลือด A, B, AB และ O ตามลำดับ นอกจากนี้พบว่าตัวอย่างเลือดทั้งหมดจากบ้านชาติตระการและบ้านยางเป็นหมู่ Rh+ ในขณะที่ประชากรในพื้นที่บ้านมุงมีหมู่เลือด Rh- จำนวน 1 คน หมู่เลือด ABO และ Rh นอกจจะเป็นข้อมูลพื้นฐาน ค้านสูงภาพของประชาชนในพื้นที่แล้ว ข้อมูลดังกล่าวยังเป็นข้อมูลพื้นฐานทางนิติวิทยาศาสตร์ต่อไปอีกด้วย

คำสำคัญ : ความซุก, หมู่เลือด ABO, หมู่เลือด Rh, มหาวิทยาลัยนเรศวร, พิษณุโลก

* ภาควิชาการวิภาคศาสตร์ คณะวิทยาศาสตร์การแพทย์ มหาวิทยาลัยนเรศวร พิษณุโลก

** ภาควิชาจุลทรรศน์วิทยาและปรสิตวิทยา คณะวิทยาศาสตร์การแพทย์ มหาวิทยาลัยนเรศวร พิษณุโลก

*** ภาควิชาเทคนิคการแพทย์ คณะสหเวชศาสตร์ มหาวิทยาลัยนเรศวร พิษณุโลก

Prevalence of ABO and Rh Blood Group, Attending Medical Science

Academic Service Program of Naresuan University, Phitsanulok

Yutthapong Tongpob *

Apichat Vitta **

Saengchai Nateeworanart ***

Abstract

We investigated prevalence of blood group base on ABO and Rh system. In this investigation, total number of blood samples was 167 that were collected from 3 areas of Phitsanulok province; (1) BC; Ban Chattakarn, Amphur Chattakarn (n=47), (2) BM; Ban Mung, Amphur Nernmapang (n=100), and (3) BY; Ban Yang, Amphur Watbot (n=20). In BC area, we found that the prevalence of blood group A, B, AB and O were 7, 15, 2 and 23 samples, respectively. In the second area, the prevalence of blood group A, B, AB and O from BM area, were 12, 36, 8 and 44 samples, respectively. In the last group, all people from BY area had 2, 10, 1 and 7 samples in blood group A, B, AB and O, respectively. All of samples from BC and BY area were blood group Rh⁺. On the other hand, we found 1 Rh⁻ from people from BM area. This data is not only a basic health data of people in this area but a fundamental data of basic forensic data.

Keywords : Prevalence, ABO blood group, Rh blood group, Naresuan university, Phitsanulok

* Department of Anatomy, Faculty of Medical Science, Naresuan University, Phitsanulok

** Department of Microbiology and Parasitology, Faculty of Medical Science, Naresuan University, Phitsanulok

*** Department of Medical Technology, Faculty of Allied Health Sciences, Naresuan University, Phitsanulok

บทนำ

ระบบ ABO เป็นระบบเลือดที่มีความสำคัญมากในการให้เลือด โดยการให้เลือดผิดหมู่ในระบบ ABO อาจเกิด intravascular hemolysis เป็นการเกิดการทำลาย incompatible red blood cell จาก antigen-antibody reaction กระตุ้น complement partway ทำให้เกิดรูบบริเวณ red blood cell membrane และเกิด hemolysis นอกจากนี้ การให้เลือดผิดหมู่ในระบบ ABO ยังเป็นผลให้เกิด extravascular hemolysis จากการทำลาย incompatible red blood cell โดย macrophage ใน reticuloendothelial system ด้วย¹⁻³ เนื่องจาก แอนติบอดีในระบบ ABO สามารถเกิดปฏิกิริยากับเม็ดเลือดแดงที่มีแอนติเจนตรงกัน ได้อย่างรุนแรง ดังนั้นการให้เลือดจึงต้องให้เลือดตรงตามหมู่โดยมีการตรวจหมู่เลือดทั้งของผู้ป่วยและผู้รับเลือด

แอนติเจนในระบบ Rh ที่สำคัญได้แก่ D antigen ผู้ที่มี D antigen จะเป็น Rh positive (Rh+) ส่วนผู้ที่ไม่มี D antigen จะเป็น Rh negative (Rh-) แอนติบอดีของระบบ Rh นี้เกิดการกระตุ้นทางระบบภูมิคุ้มกันด้วยการรับเลือดหรือการตั้งครรภ์เท่านั้น ผู้ป่วยที่ไม่มี D antigen หากรับเลือดหรือสัมผัสแอนติเจนชนิดนี้จากการตั้งครรภ์จะสร้าง anti-D ที่ความสามารถในการกระตุ้นภูมิคุ้มกันสูง ด้วยเหตุนี้การให้เลือดต้องตรวจหมู่เลือดในระบบ Rh ด้วย¹

นอกจากเป็นข้อมูลเบื้องต้นในการให้และรับเลือดแล้ว หมู่เลือดทั้งสองระบบยังมีความสำคัญในแง่nidivi วิทยาศาสตร์สามารถใช้ศึกษาการถ่ายทอดทางพันธุกรรมโดยการควบคุมของยีนและการสืบทอดเชื้อสายของคนได้ นอกจากนี้การตรวจหมู่เลือดจากเลือดหรือครานเลือดในสถานที่เกิดเหตุยังใช้เป็นหลักฐานประกอบการสืบสวนทางนิติเวชได้⁴⁻⁵

หมู่เลือด ABO และ Rh เป็นข้อมูลระบบเลือดที่มีความสำคัญ เพราะนอกจากจะเป็นข้อมูลของบุคคลในระบบจะเป็นข้อมูลทางนิติวิทยาศาสตร์และข้อมูลในการให้และรับเลือดในกรณีฉุกเฉิน ภาควิชากายวิภาคศาสตร์ มหาวิทยาลัยนเรศวรเล็งเห็นถึงความสำคัญของข้อมูลดังกล่าวจึงจัดตั้งศูนย์บริการตรวจระบบหมู่เลือดให้กับประชาชนที่อาศัยอยู่ใน 3 ตำบลของจังหวัดในพิษณุโลก

การศึกษานี้เป็นการให้บริการ หมู่เลือดระบบ ABO และ Rh กับผู้รับบริการตรวจหมู่เลือดในโครงการบริการวิชาการของคณะวิทยาศาสตร์การแพทย์ มหาวิทยาลัยนเรศวร พิษณุโลก โดยมีวัตถุประสงค์เพื่อให้

วารสารนิติเวชศาสตร์ ปีที่ 4 ฉบับที่ 2

มกราคม – เมษายน พ.ศ.2555

ผู้รับบริการทราบหมู่เลือดของตนในระบบ ABO และ Rh เพื่อเป็นข้อมูลสำหรับการรับบริการทางสาธารณสุข ในโรงพยาบาลและเป็นข้อมูลสำหรับงานนิติวิทยาศาสตร์ในกรณีที่ต้องใช้ข้อมูลของระบบหมู่เลือด

วิธีการศึกษา

คณะผู้วิจัยทำการเก็บตัวอย่างเลือดและตรวจหมู่เลือด cell grouping ระบบ ABO และ Rh ให้ผู้รับบริการ ในโครงการบริการวิชาการของคณะวิทยาศาสตร์การแพทย์ มหาวิทยาลัยนเรศวร ในพื้นที่พิษณุโลก 3 ตำบล ดังนี้ (1) วันที่ 8 มกราคม 2554 ณ ตำบลบ้านชาติธรรม อำเภอชาติธรรม จำนวน 47 คน, (2) วันที่ 15 มกราคม 2554 ณ ตำบลบ้านมุง อำเภอเนินมะปราง จำนวน 100 คน และ (3) วันที่ 29 มีนาคม 2554 ณ ตำบลบ้านยาง อำเภอวัดโบสถ์ จำนวน 20 คน โดยกลุ่มตัวอย่างจากทั้ง 3 พื้นที่มีอายุระหว่าง 1-72 ปี คณะผู้วิจัยได้ทำการตรวจหมู่เลือดทั้งสองระบบใช้วิธี slide method โดยใช้ anti-A anti-B และ anti-D สำหรับตรวจหมู่เลือด Rh (Biostest Diagnostic; Bio Rad) โดยทำการทดสอบตามคู่มือการใช้ antiserum⁶

ผลการศึกษา

ผู้รับบริการวิชาการฯ จากตำบลบ้านชาติธรรม อำเภอชาติธรรมมีจำนวน 47 คน พบร่วมหมู่เลือด A จำนวน 7 คน หมู่เลือด B จำนวน 15 คน หมู่เลือด AB จำนวน 2 คน และหมู่เลือด O จำนวน 23 คน และเป็นหมู่ Rh+ ทุกคน (ตาราง 1 และ 2) ในขณะที่ผู้รับบริการจากตำบลบ้านมุง อำเภอเนินมะปรางจำนวน 100 คน พบร่วมหมู่เลือด A จำนวน 12 คน หมู่เลือด B จำนวน 36 คน หมู่เลือด AB จำนวน 8 คน และหมู่เลือด O จำนวน 44 คน นอกเหนือไปจากนี้ยังพบว่าเป็นหมู่ Rh+ จำนวน 99 คนและ Rh- จำนวน 1 คน (ตาราง 3 และ 4) ส่วนผู้รับบริการจากตำบลบ้านยาง อำเภอวัดโบสถ์จำนวน 20 คน พบร่วมหมู่เลือด A จำนวน 2 คน หมู่เลือด B จำนวน 10 คน หมู่เลือด AB จำนวน 1 คน และหมู่เลือด O จำนวน 7 คน และเป็นหมู่ Rh+ จำนวน 20 คน (ตาราง 5 และ 6) ซึ่งข้อมูลรวมของทั้ง 3 พื้นที่ได้แสดงดังตารางที่ 7 และ 8

ตารางที่ 1 ผลการตรวจหมู่เลือดระบบ ABO ของผู้รับบริการ จากตำบลบ้านชาติ理事会 อำเภอชาติ理事会 จังหวัดพิษณุโลก

หมู่เลือด	ชาย(คน)	หญิง(คน)	รวม(คน)
A	2	5	7
B	4	11	15
AB	0	2	2
O	5	18	23

ตารางที่ 2 ผลการตรวจหมู่เลือดระบบ Rh ของผู้รับบริการ จากตำบลบ้านชาติ理事会 อำเภอชาติ理事会 จังหวัดพิษณุโลก

หมู่เลือด	ชาย(คน)	หญิง(คน)	รวม(คน)
Rh+	11	36	47
Rh-	0	0	0

ตารางที่ 3 ผลการตรวจหมู่เลือดระบบ ABO ของผู้รับบริการ จากตำบลบ้านบึง อำเภอโนนมะปราง จังหวัดพิษณุโลก

หมู่เลือด	ชาย(คน)	หญิง(คน)	รวม(คน)
A	2	10	12
B	13	23	36
AB	3	5	8
O	12	32	44

วารสารนิติเวชศาสตร์ ปีที่ 4 ฉบับที่ 2

มกราคม – เมษายน พ.ศ.2555

ตารางที่ 4 ผลการตรวจหมู่เลือดระบบ Rh ของผู้รับบริการ จากตำบลบ้านย่าง อําเภอเมินมะปราง จังหวัดพิษณุโลก

หมู่เลือด	ชาย(คน)	หญิง(คน)	รวม(คน)
Rh+	30	69	99
Rh-	0	1	1

ตารางที่ 5 ผลการตรวจหมู่เลือดระบบ ABO ของผู้รับบริการ จากตำบลบ้านย่าง อําเภอวัดโบสถ์ จังหวัดพิษณุโลก

หมู่เลือด	ชาย(คน)	หญิง(คน)	รวม(คน)
A	0	2	2
B	3	7	10
AB	0	1	1
O	2	5	7

ตารางที่ 6 ผลการตรวจหมู่เลือดระบบ Rh ของผู้รับบริการ จากตำบลบ้านย่าง อําเภอวัดโบสถ์ จังหวัดพิษณุโลก

หมู่เลือด	ชาย(คน)	หญิง(คน)	รวม(คน)
Rh+	5	15	20
Rh-	0	0	0

ตารางที่ 7 ผลการตรวจหมู่เลือดระบบ ABO ของผู้รับบริการ จาก 3 อำเภอในจังหวัดพิษณุโลก

หมู่เลือด	ชาย(คน)	หญิง(คน)	รวม(คน)
A	4	17	21
B	20	41	61
AB	3	8	11
O	19	55	74

ตารางที่ 8 ผลการตรวจหมู่เลือดระบบ Rh ของผู้รับบริการ จาก 3 อำเภอในจังหวัดพิษณุโลก

หมู่เลือด	ชาย(คน)	หญิง(คน)	รวม(คน)
Rh+	46	120	166
Rh-	0	1	1

สรุปและวิเคราะห์ผล

ผู้วิจัยทำการศึกษาหมู่เลือดของผู้รับบริการตรวจหมู่เลือดในระบบ ABO และ Rh พนความชุกของหมู่เลือดผู้รับบริการ 47 คน จากตำบลบ้านชาติตระการ อำเภอชาติตระการเป็นหมู่เลือด A จำนวน 7 คน หมู่เลือด B จำนวน 15 คน หมู่เลือด AB จำนวน 2 คน หมู่เลือด O จำนวน 23 คน Rh+ จำนวน 47 คน สำหรับความชุกของหมู่เลือดผู้รับบริการ 100 คน จากตำบลบ้านมุง อำเภอเนินมะปรางเป็นหมู่เลือด A จำนวน 12 คน หมู่เลือด B จำนวน 36 คน หมู่เลือด AB จำนวน 8 คน หมู่เลือด O จำนวน 44 คน Rh+ จำนวน 99 คน และ Rh- จำนวน 1 คน (คิดเป็นร้อยละ 1) ส่วนความชุกของหมู่เลือดผู้รับบริการ 20 คน จากตำบลบ้านยาง อำเภอวัดโบสถ์เป็นหมู่เลือด A จำนวน 2 คน หมู่เลือด B จำนวน 10 คน หมู่เลือด AB จำนวน 1 คน หมู่เลือด O จำนวน 7 คน Rh+ จำนวน 20 คน โดย การตรวจหมู่เลือดทั้งสองระบบในการให้บริการครั้งนี้ใช้วิธี slide method โดยใช้ anti-A anti-B และ anti-D (สำหรับตรวจหมู่เลือด Rh)

การศึกษานี้เป็นส่วนหนึ่งของโครงการบริการวิชาการของคณะวิทยาศาสตร์การแพทย์ ผู้วิจัยใช้วิธีทดสอบ cell grouping โดย slide method ซึ่งการทดสอบนี้เป็นการตรวจ antigen บนเม็ดเลือดแดง⁶ เพื่อความสะอาดและความรวดเร็วในการให้บริการ อย่างไรก็ตาม วิธีการทดสอบนี้มีข้อจำกัดในการตรวจอยู่บ้าง เนื่องจาก การตรวจเลือดด้วยวิธีที่ใช้ในการให้บริการนี้ อาจเกิดความขัดแย้งกันระหว่างผลการตรวจที่ตรวจหมู่เลือด ABO ด้วยวิธีการตรวจหาแอนติเจนบนเม็ดเลือด (cell grouping) และวิธีตรวจหาแอนติบอดีใน serum (serum grouping) เนื่องจาก antigen บนเม็ดเลือดแดงอาจเป็นชนิด subgroup A, B หรือ Weakened ของ A หรือ B antigen บนผิวเม็ดเลือด รวมทั้ง Chimera ซึ่งหมายถึงการมี antigen มากกว่าหนึ่งชนิดจากการรวมพันธุ์หรือการได้รับ blood transfusion⁷⁻¹⁰ สำหรับความผิดพลาดในการตรวจระบบ Rh อาจเกิดได้จากหมู่เลือด Rh มี D antigen ที่หลักหลายบนเม็ดเลือดแดง อีกทั้ง antigen ดังกล่าวยังมีความแรงในการเกิดปฏิกิริยา กับ anti-D ไม่เท่ากัน ซึ่งค้ายเหตุผลนี้อาจทำให้ผลการตรวจหมู่เลือดในระบบ Rh ผิดพลาดได้ อย่างไรก็ตามในการตรวจพบ Rh- ในผู้รับบริการที่ผล Rh- จากผู้รับบริการรายหนึ่งในสามเดือนแรกประผู้วิจัยได้ทำการตรวจซ้ำและเปลี่ยนผู้อ่านผลตรวจเพื่อเป็นการยืนยันผลการตรวจอีกถึง 3 ครั้ง นอกจากแจ้งผลตรวจแล้วผู้วิจัยได้อธิบายผลการตรวจและการปฏิบัติคนที่ผู้รับบริการควรระวังดังที่ใน การดำเนินชีวิตและกรณีที่มีการตั้งครรภ์เพื่อเป็นการป้องกันการเกิด hemolytic reaction transfusion หรือ hemolytic disease of the newborn

ในการศึกษานี้ผู้วิจัยพบหมู่เลือด มีความซุกสูงสุดและความซุกของหมู่เลือดต่ำสุด ซึ่งผู้วิจัยคาดว่าข้อมูลนี้จะเป็นประโยชน์ต่อผู้รับบริการในกรณีที่มีความต้องการใช้เลือดฉุกเฉิน¹⁰ หรือประกอบการสืบสานสอนส่วน¹¹ หากมีคดีความเกิดขึ้น อย่างไรก็ตามข้อมูลนี้ยังไม่สามารถเป็นข้อมูลตัวแทนหมู่เลือดของประชากรจำนวนผู้รับบริการเนื่องจากกลุ่มตัวอย่างเป็นกลุ่มที่สมัครใจตรวจเท่านั้น การศึกษาในอนาคตควรทำการศึกษาในกลุ่มประชากรทั้งหมดเพื่อเป็นตัวแทนข้อมูลที่ดีในพื้นที่ที่ทำการศึกษา

เนื่องจากข้อจำกัดและเครื่องมือในการทดสอบ การศึกษาในอนาคตควรทำการทดสอบ serum grouping อีกครั้งหนึ่งในประชากรกลุ่มเดิมเพื่อยืนยันผลการตรวจ รวมทั้งอาจทำการตรวจหมู่เลือดจากน้ำลายเพื่อความถูกต้องในการให้บริการตรวจหมู่เลือดด้วย

กิตติกรรมประกาศ

คณะกรรมการคุณผู้วิจัยของอนุคณ ดร. คลฤทธิ์ สงวนเสริมศรี ดร. นพวรรณ บุญชู ภาควิชาจุลชีววิทยาและปรสิตวิทยา อ.รัชนี ชนะวงศ์ คุณพิสิฐ แสงอนันต์คุณ สุรีพงษ์ นาครอัง คุณนันพพร สุขสำราญ และนิสิตชั่วบัณฑิตจากภาควิชาภาษาศาสตร์ คณะวิทยาศาสตร์การแพทย์ มหาวิทยาลัยนเรศวร พิษณุโลก ที่ให้ความช่วยเหลือในการตรวจหาเลือดและบันทึกผลการตรวจระหว่างที่ให้บริการตรวจ

References

- นิcarัตน์ โภกาสเกียรติกุล. วัฒนา เด็กวัฒนา. ตารางธรรมะชีวนาริน. มงคล คุณاجر. วนิดา วงศ์ธิรพร. พยาธิวิทยาคลินิก. พิมพ์ครั้งที่ 1, สมาคมพยาธิวิทยาคลินิกไทยกรุงเทพ: 2545.
- ธารง จรจริยาเวช. พยาธิวิทยาคลินิก. ภาควิชาพยาธิวิทยาคลินิก. พิมพ์ครั้งที่ 1, คณะแพทยศาสตร์ โรงพยาบาลรามาธิบดี: กรุงเทพ. 2549.
- ดวงกมล ขันธเดช. เอกสารประกอบการสอนวิชาภูมิคุ้มกันวิทยา. ภาควิชาจุลชีววิทยาและปรสิตวิทยา คณะวิทยาศาสตร์ การแพทย์ มหาวิทยาลัยนเรศวร พิษณุโลก. 2550
- Nickell J, fisher JF. Crime science: methods of forensic detection. USA., The University press of Kentucky.1999.
- Wecht CH, Rago JT. Forensic science and law: investigative applications in criminal, civil, and family justice. USA. CRC/Taylor & Francis, 2006.
- ทักษิณยานี จันทน์ยิ่งยง. เวชศาสตร์การรณรงค์การเลือด. พิมพ์ครั้งที่ 1, คณะแพทยศาสตร์ศิริราชพยาบาล: มหาวิทยาลัยมหิดล 2541
- Rudman SV. Text book of blood banking and transfusion medicine. Philadelphia: W.B. Saunders. 1995.
- Hamening DM. Modern blood banking and transfusion practices. 3rd ed. Philadelphia: F.A Davis. 1994.
- ชญาวิทย์ ลีลาวดี. เวชศาสตร์การบริการโลหิต. พิมพ์ครั้งที่ 3, คณะเทคนิคการแพทย์ มหาวิทยาลัยขอนแก่น: ขอนแก่น. 2549.
- Home Health (UK). Blood Group Test ABO and Rhesus (D) 2007. Accessed at <http://www.homehealth-uk.com/medical/bloodgroup.htm> on January 27, 2011.
- Landsteiner K, Levine P. On the inheritance of agglutinogens of human blood demonstrable by immune agglutinins. Exp Med. 1928; 48(5): 731-49.

การพิสูจน์ยืนยันดีเอ็นเอของไก่ โดยใช้ไพรเมอร์ที่จำเพาะต่อยีนไซโตโครม บี

มีณฑุ์ บุญเจริญ *

บทคัดย่อ

การศึกษาการตรวจพิสูจน์ดีเอ็นเอของไก่ โดยใช้ไพรเมอร์ที่เฉพาะเจาะจงต่อยีนไซโตโครม บี ในขั้นแรกผู้ศึกษาได้ทำการออกแบบและเลือกใช้ forward primer ตำแหน่ง L 14962 และ Reverse primer ตำแหน่ง H 15142 ดีเอ็นเอทั้งหมดนำมาสักด้วยวิธี Chelex และเพิ่มปริมาณดีเอ็นเอด้วยเทคนิค PCR รวมถึงทำการตรวจสอบผลด้วยการแยกแอบดีเอ็นเอในรูนโดยผ่านกระ杂质ไฟฟ้าบนเจล อะก้าโรส ผลการศึกษาพบว่า ตัวอย่างดีเอ็นเอที่สักจากเลือดสดของไก่จำนวน 45 ตัวปรากฏแอบชัดเจนและถูกต้องตรงตามขนาดที่ 181 bp แต่ในทางกลับกันผลของตัวอย่างดีเอ็นเอที่สักจากเลือดสด หรือเส้นบนของสัตว์อื่น ๆ ได้แก่ มนุษย์ ปลา หมู วัว และเป็ด ไม่มีการปรากฏแอบดีเอ็นเอขนาดดังกล่าวเลย ดังนี้จึงสรุปได้ว่าวิธีการและไพรเมอร์ที่ใช้ในการศึกษารึนี้สามารถที่จะนำไปใช้ประโยชน์ในการตรวจพิสูจน์ทราบดีเอ็นเอของไก่ ได้อย่างมีประสิทธิภาพ

คำสำคัญ : ดีเอ็นเอของไก่, ยีนไซโตโครม บี, เทคนิค PCR.

* คณะบัณฑิตวิทยาลัย สาขาวิชานิติวิทยาศาสตร์ มหาวิทยาลัยเชียงใหม่

Verification of *Gallus gallus* DNA Using Primer Specific to Cytochrome b Gene

Abstract

In the present study, the verification of *Gallus gallus* DNA using primer specific to cytochrome b gene. Initially, the forward and reverse primers (L14962/H15142) were designed from the sequence of *Gallus gallus* mitochondrial cytochrome b gene. Total DNA was extracted using the Chelex method and amplified by PCR; the PCR products were analyzed on agarose gel electrophoresis. In this study, we successfully amplified DNA extracted from blood specimens of forty-five *Gallus gallus*. The results obtained that all blood samples of *Gallus gallus* produced a single band at the expected size of 181 bp. On the other hand, no visible band was amplified from DNA extracted from blood or hair specimens of other species (human, fish, pig, cow and duck). Therefore, these method and primer pair are useful to verify *Gallus gallus* DNA.

Keywords : *Gallus gallus* DNA, Cytochrome b gene, PCR technique

บทนำ

พยานหลักฐานทางชีวภาพ อาทิ เลือด เส้นผม เส้นขน เนื้อยื่อ น้ำลาย กระดูก กระดองสุจิ ฯลฯ ถือได้ว่าเป็นสิ่งส่งตรวจที่สำคัญในงานทางด้านนิติวิทยาศาสตร์ เนื่องจากสามารถใช้ช่วยวินิจฉัยทราบถึงสาเหตุ พฤติกรรม และบุคคลหรือสิ่งมีชีวิตชนิดอื่นที่มีความเกี่ยวข้องกับเหตุการณ์หรือคดีที่เกิดขึ้น ในบางครั้ง พยานหลักฐานทางชีวภาพดังกล่าวไม่สามารถพิสูจน์ทราบถึงชนิดของเจ้าของตัวอย่าง สิ่งส่งตรวจนั้น ๆ ได้ด้วย วิธีการทำงานกายภาพ กายวิภาค หรือทางชีวเคมี จึงทำให้ปัจจุบันมุ่ยมีความพยายามที่จะค้นหาวิธีการใหม่ ๆ ทางวิทยาศาสตร์ที่มีความจำเพาะ สะดวก รวดเร็ว เข้ามาประยุกต์ใช้เพื่อช่วยในการตรวจพิสูจน์ แสวงหา ข้อเท็จจริงและที่สำคัญช่วยให้พยานหลักฐานชิ้นนั้นมีประโยชน์ต่อรูปคดีที่เกิดขึ้นให้มากที่สุด

การตรวจคดีเงินเอօถือได้ว่าเป็นวิธีการที่มีประสิทธิภาพ มีการยอมรับและมีความเชื่อมั่นในความถูกต้องแม่นยำของเทคนิคสูง การตรวจคดีเงินเอօจะมีวัตถุประสงค์หลักของการ เช่น เพื่อการตรวจพิสูจน์บุคคล การตรวจสอบเพื่อทราบชนิดของสัตว์ที่เป็นเจ้าของตัวอย่างดีเอօ ในกรณีที่จะนิยมตรวจจากยืนไชโตกرم นี่ซึ่ง เป็นยืนที่อยู่ในไนโตกอนเดรีย ลำดับเบสของยืนไชโตกرم บี ก่อนข้างอนุรักษ์ กล่าวคือ จะคงลักษณะ

สารานุติเวชศาสตร์ ปีที่ 4 ฉบับที่ 2

มกราคม – เมษายน พ.ศ.2555

รูปร่างและคุณสมบัติค่าง ๆ ไว้เนื่องเดิน ถึงแม้จะปริมาณตัวอย่างที่น้อยหรืออุดกเก็บไว้เป็นระยะเวลา การเปรียบเทียบลำดับเบสทำได้สะดวก รวมทั้งยังมีการแปลงรหัสเป็นโปรตีนที่มีความจำเพาะและมีความหลากหลาย สูง จึงสามารถออกแบบ ไพรเมอร์ (primer) ที่มีความจำเพาะกับตัวอย่างสิ่งส่งตรวจและสามารถถอนเทคนิค ปฏิกิริยาอุดกใช้พอลิเมอเรส (polymerase chain reaction; PCR) เข้าร่วม ในการช่วยเพิ่มปริมาณส่วนดังกล่าวได้อีกด้วย อย่างเช่นงานวิจัยของ Matsunaga, et al. (1999) ที่ได้ประยุกต์ใช้เทคนิค Multiplex PCR ซึ่งเป็นการเพิ่มปริมาณดีเอ็นเอเป้าหมายโดยการใช้ไพรเมอร์หลายคู่พร้อมกันในปฏิกิริยาเดียวกันมาตรวจสอบชนิดเนื้อสัตว์ 6 ชนิด ได้แก่ เพาะ ไก่ วัว แกะ หมู และน้ำ ซึ่งไพรเมอร์ที่ใช้จะมีการออกแบบมาจากยีนในส่วนของยีนไซโตโครม บี โดย forward primer จะเป็นการนำลำดับเบสของสัตว์ 6 ชนิดดังกล่าว มารวมกันด้วยอัตราส่วนที่เหมาะสม คือ 1: 0.2: 3: 0.6: 3: 0.6: 2 ส่วน Reverse primer จะใช้ลำดับเบสตามความจำเพาะของสัตว์แต่ละชนิด เมื่อมีการตรวจสอบผลโดยการแยกแยะดีเอ็นเอด้วยระบบไฟฟ้านาโนเมตริก พบว่าขนาดของดีเอ็นเอของสัตว์แต่ละชนิด (เพาะ ไก่ วัว แกะ หมู และน้ำ) มีความแตกต่างกัน คือ จะประมาณดีเอ็นเอที่บินหาด 157, 227, 274, 331, 398 และ 439 bp ตามลำดับ นอกจากนี้ผู้ทำการวิจัยยังได้มีการศึกษาในส่วนของปริมาณดีเอ็นเอ แม่แบบที่จะสามารถนำมาใช้ในการตรวจสอบ ซึ่งพบว่าขอบเขตของปริมาณดีเอ็นเอแม่แบบที่จะสามารถถอนมาตรวจสอบได้นั้นอยู่ที่ 0.25 นาโนกรัม และในปี 2007 Jain, et al. ได้ทำการศึกษาการตรวจสอบชนิดเนื้อสัตว์ ด้วยวิธีการเช่นเดียวกับ Matsunaga, et al. (1999) แต่มีบางส่วนที่มีความแตกต่างกัน คือ ได้เพิ่มชนิดของเนื้อสัตว์ที่มีการนำมาตรวจสอบอีก 1 ชนิด คือ กระนือ เมื่อมีการตรวจสอบผลโดยการแยกแยะดีเอ็นเอด้วยระบบไฟฟ้านาโนเมตริก อะกาโรส พบແลดบลีดีเอ็นเอที่ขนาดความยาว 274 bp ซึ่งตรงกับขนาดดีเอ็นเอของวัว อันนี้อาจมีการใช้ Reverse primer ชนิดเดียวกันในการตรวจสอบและลำดับเบสของกระนือในช่วงที่นำมาทดสอบนั้นนี้ ลำดับเบสที่เนื่องกันกับของวัว จากการศึกษานี้สรุปได้ว่าไพรเมอร์ที่มีการออกแบบมาจากยีนไซโตโครม บี มีความจำเพาะกับดีเอ็นเอของสัตว์แต่ละชนิด ทำให้สามารถนำไปประยุกต์ใช้ในการระบุชนิดของสัตว์ต่าง ๆ ออกมากันได้ถึงแม้ว่าปริมาณของดีเอ็นเอที่ใช้จะมีปริมาณเพียงเล็กน้อย

ในปี ก.ศ. 2007 Li-Chin, et al. ได้เข้าร่วมในการตรวจสอบวัตถุพยานจำนวน 5 ชิ้น ที่ได้จากการดำเนินการที่มีความผิดปกติที่สำคัญ ประจำปี 2006 ถึง 2007 ของกระทรวงการเกษตร วัตถุพยานจำนวน 5 ชิ้น ประกอบด้วย ขนสัตว์จำนวน 2 ชิ้น อวัยวะเพศของสัตว์เพศผู้ อัณฑะและชิ้นเนื้อของสัตว์ อย่างละ 1 ชิ้น การตรวจสอบครั้งนี้ผู้ตรวจสอบได้ใช้เทคนิค Nested PCR ในการเพิ่มปริมาณดีเอ็นเอ รวมทั้งใช้ไพรเมอร์ในส่วนของยีนไซโตโครม บี ที่สามารถใช้ระบุชนิดสัตว์ การตรวจสอบจะอาศัยการทำ PCR 2 ขั้นตอนด้วยไพรเมอร์ 2 คู่ โดยไพรเมอร์คู่แรกจะสามารถให้ขนาดความยาวของดีเอ็นเอที่ 486 bp และไพรเมอร์คู่ที่สองจะสามารถให้ขนาดความยาวของดีเอ็นเอที่ 251 bp ซึ่งจากการสรุปผลการตรวจสอบวัตถุพยานแล้วพบว่า ขนสัตว์ทั้ง 2 ชิ้น เป็นขนของแมวและอวัยวะเพศของสัตว์เพศผู้ อัณฑะและชิ้นเนื้อของสัตว์ อย่างละ 1 ชิ้นนั้นเป็นของวัว โดยการ

ตรวจสอบวัตถุพยาน ในครั้งนี้มีความแม่นยำไม่ต่ำกว่า 99.7% จากผลดังกล่าวสามารถใช้เป็นหลักฐานยืนยันการกระทำความผิดและใช้คำนินคดีกับผู้กระทำความผิดในคดีเกี่ยวกับการลักลอบล่าสัตว์ป่าหรือค้าสัตว์ผิดกฎหมายได้

จากปัญหาและความรู้ดังกล่าว ทำให้การตรวจพิสูจน์ดีเอ็นเอของสัตว์ โดยใช้ไพรเมอร์ที่เฉพาะเจาะจงต่อชีนไซโตโครม บี สามารถที่จะนำไปประยุกต์ใช้ในงานทางค้านนิติวิทยาศาสตร์ได้ในหลายกรณี เช่น กรณีการเกิดข้อพิพาททางกฎหมายในคดีอาญา หรือกรณีเกี่ยวกับกฎหมายคุ้มครองผู้บริโภค เป็นต้น ดังนั้นในรายงานนี้จึงมีวัตถุประสงค์ เพื่อศึกษาและทดสอบวิธีการที่มีความจำเพาะกับการตรวจพิสูจน์ทราบดี อีกนึ่งของการใช้ไพรเมอร์ที่เฉพาะเจาะจงต่อชีนไซโตโครม บี

ตัวอย่างและวิธีการศึกษา

กลุ่มประชากร

- ตัวอย่างเลือดสดของไก่พันธุ์เนื้อที่มีการเลี้ยงไว้เพื่อจำหน่าย จำนวน 45 ตัวอย่าง
- ตัวอย่างเลือดสดของมนุษย์ ปลา และเป็ด จำนวนชนิดละ 25 ตัวอย่าง
- ตัวอย่างเส้นขน (มีเยื่อหุ้มรากติดอยู่) ของหมู และวัว จำนวนชนิดละ 25 ตัวอย่าง

การเก็บและสกัดตัวอย่าง⁽¹⁾

- เลือด เจาะเลือดปริมาณ 0.5 - 1.0 มิลลิลิตร ใส่ลงใน Microcentrifuge tube ขนาด 1.5 มิลลิลิตร ที่มีสารกันเลือดแข็งตัวชนิด EDTA อยู่ ผสมให้เข้ากัน ถ้ายังไม่นำไปทดสอบทันที ให้เก็บไว้ในที่เย็นที่ อุณหภูมิ 4 °C และทำการทดสอบภายใน 4 วัน ถ้าจะเก็บไว้นานกว่านั้นให้เก็บไว้ในที่อุณหภูมิ -20 °C

- เส้นขน เก็บตัวอย่างเส้นขนโดยการถอน เพื่อให้มีเยื่อหุ้มรากติดอยู่ด้วยยอดย่างน้อย 5 เส้น โดยบรรจุในซองกระดาษเพื่อนำไปทำการทดสอบก่อนบรรจุต้องแน่ใจว่าเส้นขนนั้นๆ แห้งสนิทดีแล้ว

ตัวอย่างดีอีกอันหนึ่งเลือดและเส้นขนทั้งหมด จะถูกนำมาสกัดด้วยวิธี Chelex แล้วทำการเพิ่ม ปริมาณดีอีกโดยอาศัยเทคนิค PCR

การเพิ่มปริมาณดีอีกโดยอาศัยเทคนิค PCR

การเพิ่มปริมาณดีอีกจะใช้ PCR mixture ที่มีปริมาตรรวม 10 μl (ประกอบด้วย sterile water 5 μl, 10X Taq buffer 1 μl, dNTPs 1 μl, Taq DNA-polymerase 1 μl, 1 μM each primer mix (Gallus gallus) 1 μl, DNA Template 1 μl) จากนั้นนำ PCR mixture ดังกล่าวเข้าเครื่องปรับเปลี่ยนอุณหภูมิ (Thermal cycles) โดยตั้งอุณหภูมิในแต่ละรอบ ดังนี้ Denaturation 94°C นาน 30 วินาที, Annealing 60°C นาน 30 วินาที และ

วารสารนิติเวชศาสตร์ ปีที่ 4 ฉบับที่ 2

มกราคม - เมษายน พ.ศ.2555

Extension 72°C นาน 30 วินาที รวมทั้งสิ้น 35 รอบ ซึ่งลำดับเบสของ Primer ที่ได้ทำการออกแบบขึ้นใหม่^[2,3] และเลือกใช้ในการศึกษาคือ

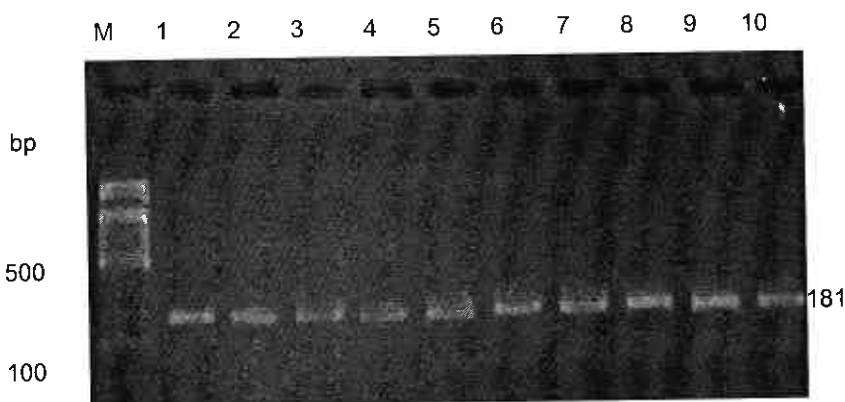
Primer F : 5'- GCC CCA TCC AAC ATC TCT GC -3'

Primer R : 5'- GGA GAT TCC GGA TGA GTC AG -3'

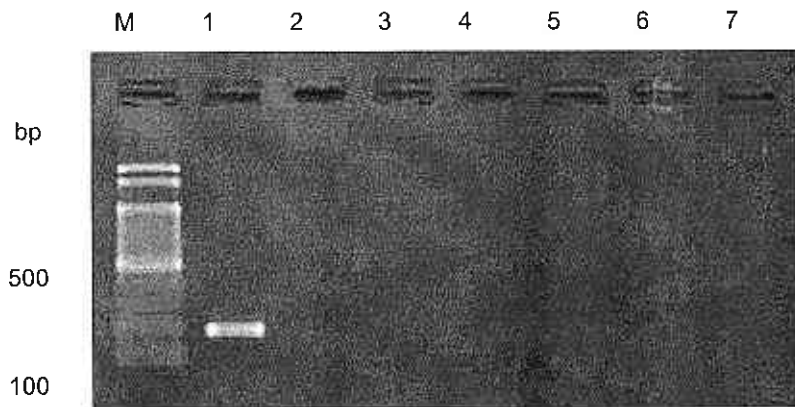
การตรวจสอบผลของ PCR products จะทำโดยการแยกแอบดีเอ็นเอโดยผ่านกระแทกไฟฟ้าบนเจลอะกาโรส (agarose gel electrophoresis) โดยใช้กระแทกไฟฟ้า 100 โวลต์ 25 นาที แล้วย้อมเจลด้วย Ethidium bromide และนำไปส่องดูด้วยแสงอัลตราไวโอเลต

ผลและอภิปรายผลการศึกษา

เมื่อตรวจสอบผลของ PCR products จากตัวอย่างคีเอ็นเอของไก่ทั้ง 45 ตัว เทียบกับคีเอ็นเอมาตรฐาน ปรากฏແບดชัดเจน และถูกต้องตรงตามขนาดที่ตำแหน่ง 181 bp (รูปที่ 1) และเมื่อทำการตรวจสอบซ้ำจำนวน 2 ครั้ง ผลที่ได้ก็ยังปรากฏเหมือนเดิมทุกประการ จากนั้นผู้ศึกษายังทำการตรวจสอบความจำเพาะของวิธีการที่ใช้ในการศึกษา โดยการนำไปตรวจสอบกับตัวอย่างคีเอ็นเอของสัตว์ชนิดอื่น ได้แก่ มุขย์ ปลา หมู วัว และเป็ด จำนวนชนิดละ 25 ตัวอย่าง ด้วยวิธีการเดียวกันดังกล่าว พบว่า PCR products จากตัวอย่างคีเอ็นเอของสัตว์ทั้ง 5 ชนิด ไม่มีการปรากฏແບดีเอ็นเอที่ตำแหน่ง 181 bp เลย (รูปที่ 2) และเมื่อทำการตรวจสอบซ้ำจำนวน 2 ครั้ง ผลที่ได้ก็ไม่ปรากฏແບดีเอ็นเอเช่นกัน



รูปที่ 1 แสดงขนาดของ PCR products จากตัวอย่างคีเอ็นเอของไก่ (เลน 1 - 10)
เทียบกับคีเอ็นเอมาตรฐาน (เลน M)



รูปที่ 2 แสดงผลของ PCR products จากตัวอย่างดีอีนของสัตว์ทั้ง 5 ชนิด โดย เลน M: ดีอีนมาตรฐาน ช่อง 1: ตัวควบคุมเชิงบวก (ไก่), เลน 2-6: มุนย์ ปลา หมู และวัว เป็น ตามลำดับ และเลน 7: ตัวควบคุมเชิงลบ (sterile water)

จากการศึกษาดังกล่าว สามารถแสดงว่าประสิทธิภาพของวิธีการและไพรเมอร์ที่ใช้ในการศึกษาครั้งนี้มีความจำเพาะกับตัวอย่างดีอีนของไก่เท่านั้น คิดเป็น 100 % เมื่อเทียบกับการนำวิธีการและไพรเมอร์ดังกล่าวไปใช้กับสัตว์ชนิดอื่น ซึ่งสอดคล้องกับงานวิจัยที่เคยศึกษาเกี่ยวกับการใช้ดีอีนเอ ไม้โตคอนเครีตในช่วงขันไชโตร์ม บี สำหรับจำแนกชนิดสัตว์ต่าง ๆ ออกจากกัน ทั้งในแง่ของการเกิดข้อพิพาททางกฎหมายในคดีอาญาหรือกรณีเกี่ยวกับกฎหมายคุ้มครองผู้บริโภค^[2-4] และแม้ว่าการศึกษาครั้งนี้สามารถที่จะประเมินถึงประสิทธิภาพของวิธีการและความจำเพาะของไพรเมอร์ได้เป็นอย่างดี แต่ในการนำไปใช้ในการปฏิบัติ ข้อพิพาททางกฎหมาย พยานหลักฐานทางชีวภาพที่ส่งตรวจอาจเป็นเพียงเศษของทราบเลือด เส้นผม เส้นขน เนื้อเยื่อ กระดูก ovariae หรือรากของสูงเท่านั้น การตรวจสอบทางกายภาพคงไม่เพียงพอต่อการตรวจพิสูจน์บุคคล หรือชนิดของสิ่งมีชีวิตที่เป็นเจ้าของตัวอย่างพยานหลักฐานทางชีวภาพนั้น ได้ ดีอีนเอในส่วนของยืนไชโตร์ม บี จึงมีบทบาทอย่างมากในการช่วยตรวจสอบ ซึ่ง ในกรณีอ้างนำเทคนิค Nested PCR^[4] เก้าม่าช่วยเพื่อเพิ่มความไวในการตรวจสอบโดยไม่ลดความจำเพาะ ของตัวอย่างและผลผลิตของดีอีนเอเป้าหมายที่ได้จะมีจำนวนมากขึ้นตามต้องการ แต่เทคนิคนี้มีข้อเสีย คือ จะเสียค่าใช้จ่ายและเสียเวลา เนื่องจากจะต้องใช้ไพรเมอร์ 2 คู่ และอาศัยการทำ PCR ถึง 2 ครั้ง ทำให้มีโอกาสในการเกิดการปนเปื้อนได้ง่าย

กรณีของการตรวจสอบคุณภาพอาหาร การปนเปื้อนอาหาร และการปลอมปนอาหารที่ผิดกับกฎหมายคุ้มครองผู้บริโภค ซึ่งบางครั้งตัวอย่างสิ่งส่งตรวจอาจมีรูปแบบที่แตกต่างกันไปอีกทั้งสัดส่วนปริมาณ การปนเปื้อนที่มากหรือน้อยไม่ทราบได้ ในการศึกษาควรออกแบบให้มีความหลากหลายของสภาวะ เช่น การตรวจดีอีนออกจากตัวอย่างชิ้นเนื้อดิบ และชิ้นเนื้อที่ถูกทำให้สุกในอุณหภูมิที่แตกต่างกัน เป็นต้น หรือใช้เทคนิค

วารสารนิติเวชศาสตร์ ปีที่ 4 ฉบับที่ 2

มกราคม – เมษายน พ.ศ.2555

Real-time PCR^[5] มาทำการตรวจสอบ ซึ่งจะเป็นการวิเคราะห์ทั้งเชิงคุณภาพและปริมาณ โดยจะสามารถวิเคราะห์ปริมาณดีเอ็นเอที่สังเคราะห์ได้ในเวลาต่างๆ ทำให้ทราบส่วนผสมของเนื้อสัตว์ ชนิดต่างๆ รวมถึงปริมาณการปนเปื้อนของเนื้อสัตว์ชนิดอื่นได้อีกด้วย

สรุปผลการศึกษา

จากการศึกษาและทดสอบวิธีการในการตรวจพิสูจน์ดีเอ็นเอของไก่ โดยการใช้ไฟรเมอร์ ที่จำเพาะต่อชิ้นไส้โടโครัม บี พบว่า PCR products จากตัวอย่างดีเอ็นเอของไก่ทั้ง 45 ตัว ปรากฏแถบดีเอ็นเอชัดเจน และถูกต้องตรงตามขนาดที่ 181 bp แต่ผลของ PCR products จากตัวอย่างดีเอ็นเอของสัตว์อื่น ๆ ทั้ง 5 ชนิด (มนุษย์ ปลา หมู วัว และเป็ด) ไม่ปรากฏแถบดีเอ็นเอที่ขนาดดังกล่าวเลย จึงสรุปได้ว่าประสิทธิภาพของวิธีการและไฟรเมอร์ที่ใช้ในการศึกษารังนี้มีความจำเพาะกับตัวอย่างดีเอ็นเอของไก่เท่านั้น รวมทั้งสามารถนำวิธีการและไฟรเมอร์ดังกล่าวไปประยุกต์ใช้ในงานทางนิติวิทยาศาสตร์ได้ทั้งในเบื้องการคัดแยก หรือตรวจพิสูจน์กรณีการเกิดข้อพิพาททางกฎหมายทั้งทางอาญาและทางการคุ้มครองผู้บริโภคในคดีซึ่งเกี่ยวข้องกับไก่ได้เป็นอย่างดี

References

- วิจุรัย ทะสุยะ และนานินทร์ ภู่พัฒน์. (2005). SOP DNA Analysis for Forensic Medicine, การเก็บตัวอย่างสิ่งสั่งตรวจและขั้นตอนการสกัดดีเอ็นเอ (หน้า 6- 9), ภาควิชานิติเวชศาสตร์ คณะแพทยศาสตร์ มหาวิทยาลัยเชียงใหม่.
- Matsunaga T., Chikuni K., Tanabe R., Muroya S., Shibata K., Yamada J., Shinmura Y. A quick and simple method for the identification of meat specirs and meat products by PCR assay. *Meat Science*. 1999; 51: 143-148.
- Jain S., Brahmbhatt M.N., Rank D.N., Joshi C.G., Solanki J.V. Use of cytochrome b gene variability in detecting meat species by multiplex PCR assay. *Indian Journal of Animal Sciences*. 2007; 77(9): 880-881.
- Li-Chin T., Mei-Tzu H., Chung-Ting H., Chun-Yen L., Szu-Jung C., Chun-I L., Hsing-Mei H. Species Identification of animal specimens by cytochrome b gene. *Forensic Science Journal*. 2007; 6(1): 63-65.
- Andreou L.M., Lugo L., Amando G.P., Prieto M.I., Puyet A. Identification and Quantitation of Species in Complex DNA Mixtures by Real-time Polymerase Chain Reaction. *Analytical Biochemistry*. 2005; 339: 73-82.

เหาคน โลงคน และนิติภูมิวิทยา

อภิชาติ วิทย์ตะ *

แสงขี้ขันพิรานารถ **

บทคัดย่อ

เหาเป็นแมลงดูดเลือดที่ไม่มีปีก เหาจัดอยู่ใน Kingdom Animalia, Phylum Arthropoda, Class insecta, order Anoplura แมลงชนิดนี้สามารถเป็นหลักฐานในการพิสูจน์บุคคล คนสามารถเป็นโষต์ของเหาได้สามชนิด คือ เหานบนศรีษะ เหาตามลำตัวและโลง เหาสามารถใช้ในการสืบสวนทางนิติวิทยาศาสตร์ได้ เมื่อจากเดือดที่ปรสิตนี้กินเข้าไปหรือสิ่งที่เหาถ่ายออกมานามาสามารถใช้ในการตรวจ DNA ในการตรวจทางอนุชีววิทยาได้ ยังไง กว่านั้น การที่นักนิติภูมิวิทยาพบแมลงเหล่านี้บ่งบอกนัยเป็นการบ่งชี้ถึงสิ่งแวดล้อมของสถานที่ที่เกิดการตาย ได้อีกด้วย

คำรหัส: เหาคน โลงคน การตรวจ DNA และนิติภูมิวิทยาศาสตร์

* ภาควิชาชุลชีววิทยาและปรสิตวิทยา คณะวิทยาศาสตร์การแพทย์ มหาวิทยาลัยนเรศวร พิษณุโลก

** ภาควิชาเทคนิคการแพทย์ คณะสหเวชศาสตร์ มหาวิทยาลัยนเรศวร พิษณุโลก

วารสารนิติเวชศาสตร์ ปีที่ 4 ฉบับที่ 2

มกราคม – เมษายน พ.ศ. 2555

Human Lice and Forensic Entomology

Apichat Vitta *

Saengchai Nateeworanart **

Abstract

Lice are bloodsucking wingless insects of the Kingdom Animalia, Phylum Arthropoda, Class Insecta, order Anoplura. Lice are hematophagous insects that may be useful in identifying individual hosts. Humans host three different kinds of lice; head lice, body lice, and pubic lice. These lice are often utilized in forensics investigations because their bloodmeal and excreta can be used in molecular diagnosis for human DNA detection. In addition, the insects robustness can be evidence in a dead environment when forensic entomologists find them on human remains.

Keywords: Human louse, pubic louse, DNA investigation and forensic entomology

* Department of Microbiology and Parasitology, Faculty of Medical Science, Naresuan University, Phitsanulok

** Department of Medical Technology, Faculty of Allied Health Sciences, Naresuan University, Phitsanulok

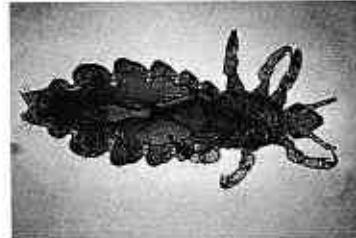
เหาคน (Human louse)

เหาเป็นแมลงที่มีชื่อวิทยาศาสตร์เรียกว่า *Pediculus humanus* เหาที่มีความสำคัญทางการแพทย์มี 2 ชนิด คือ เหานศีรษะ (Head louse; *Pediculus humanus* var *capitis*) และเหาตามลำตัว (Body louse; *Pediculus humanus* var *coporis*)^{1,2} เหาเป็นแมลงขนาดเล็กประมาณ 1-5 มิลลิเมตร สีน้ำตาลเข้มจนถึงดำ และเป็นแมลงที่ด้านหลังและด้านท้องแบนเข้าหากัน (Dorsoventral) และไม่มีปีก (รูปที่ 1)³ เหาเพศเมียมีขนาดใหญ่กว่าเพศผู้ เล็กน้อย เพศเมียมีขนาดลำตัวยาวประมาณ 3.5-4.5 มิลลิเมตร ส่วนเพศผู้มีขนาดประมาณ 2.5-3.5 มิลลิเมตร รูปร่างลักษณะของเหาแบ่งเป็น 3 ส่วน คือ ส่วนหัว ส่วนอก และส่วนท้อง ส่วนหัวมีลักษณะเรียวเล็ก และแคบ กว่าส่วนอก มีตาประกอบขนาดเล็กมากๆ 1 คู่ มีหนวดสั้นๆ จำนวน 1 คู่ หนวดแต่ละเส้นมี 5 ปล้อง ปากของเหาเป็นแบบแทงคุด (Piercing-sucking type) ส่วนอกของเหาตัวเต็มวัยเชื่อมติดเป็นปล้องเดียวกัน มีรูหายใจ 1 คู่ อยู่ทางด้านหลัง เหามีขาที่อวนสั้นแต่แข็งแรง ส่วนปลายมีปล้องที่ตัดแบ่งเป็นตะขอ ใช้ในการยืดเกราะให้ตัวเหาติดแน่นอยู่กับเส้นผมหรือขนของโภสต์ ส่วนท้องของเหาตัวเต็มวัยมีความยาวประมาณ 3/5 ของความยาวร่างกายทั้งหมด ผิวนังส่วนท้องสามารถยืดหยุ่นและโป่งพองออกอย่างเห็นได้ชัดเมื่อเหากินเลือดเต็มที่ ส่วนปลายสุดของส่วนท้องในเหาเพศผู้มีลักษณะแหลมและมี Aedeagus (Penis) ที่เห็นได้ชัด 1 คู่ สำหรับเหาเพศเมีย ส่วนปลายสุดของท้องมีร่องไว้ และมีรูเปิดของอวัยวะสีบพันธุ์อยู่ตรงกลาง

เหาตามลำตัวและเหานศีรษะมีรูปร่างภายนอกเหมือนกัน แต่แตกต่างกันคือบริเวณที่อาศัยบนร่างกายของโภสต์ ในปี ก.ศ. 2005 ในการศึกษาด้านพันธุศาสตร์ประชากรของเหานศีรษะและเหาตามลำตัว โดยศึกษา microsatellite DNA ของเหาทั้งสองกลุ่ม พบว่าเหาทั้งสองชนิดมีลักษณะทางพันธุกรรมที่แตกต่างกัน ถ้าหากจะแยกเหาทั้งสองชนิดออกจากกัน ควรจะตั้งชื่อเหาที่อยู่บนศีรษะว่า *Pediculus capitis* ส่วนเหาที่อยู่บนตัวเรียกว่า *Pediculus humanus*⁴ เหาตามลำตัวมีความสำคัญในการแพทย์คือเป็นพาหะของโรค Louse-borne epidemic typhus, Trench fever และ Louse-borne epidemic relapsing fever ส่วนเหานศีรษะไม่มีรายงานเป็นพาหะโรคลังกหลวง ในประเทศไทย^{1,2,5} อ扬งไรเก็ตาน มีการระบุว่าเหานศีรษะสามารถเป็นพาหะของการติดเชื้อ *Staphylococcus aureus* และ *Streptococcus pyogenes*⁵ แมลงนี้อาศัยอยู่บนศีรษะและอยู่ตามขนบริเวณลำตัวจะถูกและดูดเลือดคน เนื่องจากเหามีลำตัวเรียวยาว และมีความคล่องตัวในการเคลื่อนไหว จึงติดต่อในคนได้ง่ายมาก ผู้ติดเชื้ออาจไม่มีอาการมากเท่าไนก แต่ปรสิตอาจสร้างความรำคาญได้ เด็กหญิงที่มีเหานศีรษะ สามารถ

แพร่การติดเชื้อให้แก่เพื่อนร่วมชั้นเรียนเดียวกันได้ภายใน 24 ชั่วโมง ผู้ติดเหามักจะทำให้เกิดอาการคันที่บริเวณด้านหลังและตรงศีรษะ ถ้าเกามากจนเป็นหนอง สะเก็ดแห้งกรังได้ บางครั้งเกิดการติดเชื้อแบคทีเรียแทรกซ้อนทำให้ต้องนำเหลืองที่บริเวณท้ายทอยและข้างคอโดยได้ในทางตรงกันข้าม ผู้ติดเชื้อบางรายอาจจะไม่มีอาการใดมาก ไม่คันมาก ถึงแม้ว่าเหาจะพบบ่อยในเด็กวัยเรียนมากที่สุด แต่ปรสิตนี้สามารถทนได้ทุกเพศทุกวัย ตัวเหานอนศีรษะสามารถมองเห็นได้ด้วยตาเปล่า หรืออาจใช้แว่นขยายช่วยส่องดู ผู้ป่วยส่วนใหญ่จะมีตัวเหานอนศีรษะน้อยกว่า 10 ตัว แต่ในบางคนอาจพบเหาได้มากถึง 2,091 ตัว⁶ การติดเหาจะติดต่อทางการสัมผัสโดยตรง เช่น การใช้หัวแปรงร่วมกัน การใช้หมวกร่วมกัน การใช้หมอนที่นอนร่วมกัน จากศีรษะคนหนึ่งไปที่ศีรษะอีกคนหนึ่ง เพราะฉะนั้นจึงมักพบรอบในโรงเรียนได้บ่อย เพราะเด็กนักเรียนจะเล่นใกล้ชิดกันมาก^{1,2}

โรคเหาที่หนังศีรษะพบได้บ่อยในเด็กวัยเรียน โดยเฉพาะเด็กผู้หญิง เหาจะดูคล้ายอดกินเป็นอาหารน้ำลายเหมือนสารที่ร่างกายผิวนั้นได้ ทำให้เกิดตุ่มคันตรงรอยกัด เหาดำรงชีวิตแบบปรสิต แมลงน้ำอาศัยอยู่บนหนังศีรษะ เส้นผม บนเหาจะดูคล้ายอดกินเป็นอาหาร และวางไข่บนเส้นผม โดยหลังสารไคติน (Chitin) หุ้มปลายหนังของไข่ ให้เกิดแน่นอยู่ มองเห็นได้ด้วยตาเปล่า¹ มีสีขาวๆ นุ่มอยู่ติดกับโคนผม (รูปที่ 2)⁷ ไข่เหาจะฟักเป็นตัวภายใน 7-10 วัน⁸ ไข่มีขนาดเล็กประมาณ 0.5-1 มิลลิเมตร สีขาวๆ นุ่ม เกาะติดแน่นกับเส้นผม เห็นได้ด้วยตาเปล่า ตัวเหาจะวางไข่ที่บริเวณโคนรากผม เมื่อผมยาวขึ้นก็จะเห็นไข่เหาอยู่ห่างจากหนังศีรษะมากขึ้น เช่น ปกติผมจะยาววันละประมาณ 0.5 มิลลิเมตร ถ้าพบไข่อยู่บนเส้นผมห่างจากหนังศีรษะหรือโคนรากผมประมาณ 15 เซนติเมตร แสดงว่าเป็นเหามาประมาณ 9 เดือน แล้วไข่ที่ยังมีตัวอยู่จะมีสีเหลืองขุ่น แต่ไข่ที่วางเป็นตัวจะมีสีขาวๆ⁴



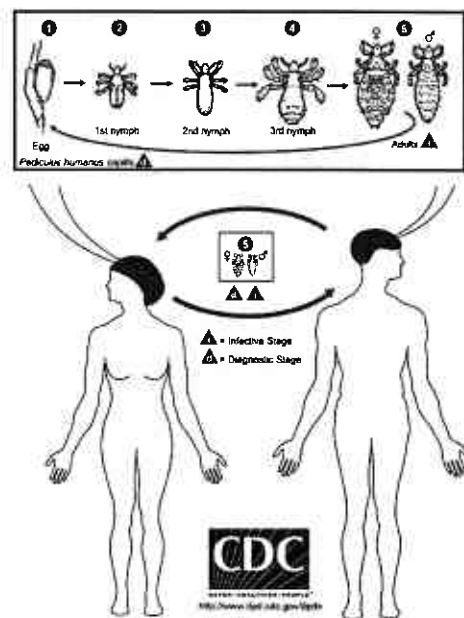
รูปที่ 1 เหาคน: ตัวเต็มวัยเพศเมีย (ซ้าย) และตัวเต็มวัยเพศผู้ (ขวา) (ที่มา: http://en.wikipedia.org/wiki/Head_louse)



รูปที่ 2 ระยะไข่ (nit) ของเห็บนศีรษะที่ติดอยู่กับเส้นผม (ที่มา: http://en.wikipedia.org/wiki/Head_louse)

วงจรชีวิต

เห็บมีการเจริญเติบโตเปลี่ยนแปลงรูปร่างแบบไม่สมบูรณ์ (Hemimetabolous) เมื่อตัวผู้และตัวเมียผสมพันธุ์กันแล้ว ตัวเมียจะวางไข่คิดกับเส้นผมหรือขน โดยใช้กาเหนียวๆ (Cement) เท่าตัวเต็มวัยเพศเมียวางไข่วันละประมาณ 6-9 ฟอง หรือประมาณ 200-300 ฟอง ตลอดช่วงชีวิต⁸ ประมาณ 7 วัน ระยะ nymph จะฟักออกมาจากไข่ ลอกคราบ 3 ครั้ง โดยใช้เวลาประมาณ 16-18 วัน จะเจริญเป็นตัวเต็มวัย ทั้งระยะ nymph และระยะตัวเต็มวัยจะคุดเลือดโขสต์ (รูปที่ 3)⁹ การติดต่อของเห็บมักเกิดจากการคุลอกคลิอี้กู่ใกล้ชิดกัน และใช้สิ่งของร่วมกัน



รูปที่ 3 วงจรชีวิตของเห็บ (ที่มา <http://www.dpd.cdc.gov/dpdx/html/headlice.htm>)

อาการ

เด็กที่เป็นเหาจะมีอาการคันมาก อาจเกิดขึ้นหนังศีรษะถลอก อักเสบ และเป็นแพลติดเชื้อได้ นอกจากนี้ยังทำให้เด็กเสียสมาร์ทในการเรียน บางรายจะมีอาการคันศีรษะมาก และพบตัวเหาและไข่เหาซึ่งเป็นจุดขาว ๆ ติดอยู่บนบริเวณโคนผมและเส้นผม ส่วนใหญ่จะพบที่บริเวณเหนือใบหูและที่ห้ายทอย บางรายอาจมีอาการคันมากตอนกลางคืน จนนอนหลับไม่หลับเป็นผลให้พักร้อนไม่เพียงพอ¹⁻³

การวินิจฉัย

ผู้ดูแลสามารถตรวจได้ด้วยตาเปล่า โดยการตรวจพบตัวและไข่เหาบนศีรษะหรือลำตัวขึ้นกับชนิดเหาสำหรับการวินิจฉัยแยกโรค ต้องแยกจากรังแคซึ่งจะเป็นสะเก็ด บุคลอกบนศีรษะ บุญนี้จะไปติดแน่นกับเส้นผม เมื่อถูกไข่เหานอกจากนี้อาจต้องแยกลักษณะบุญหรือสะเก็ตจากการติดเหาจากโรคที่เกิดจากการใช้เจลใส่ผม ซึ่งเจลใส่ผมบางครั้งเมื่อทำปฏิกริยากับเส้นผม แล้วจะแห้งกรัง เกาะติดเป็นแผ่นเล็กๆ บนเส้นผมได้⁴

การรักษา

การสาร朋วันเว็นวันและใช้หวีเสนียดสางเหาใส่กระดาษและเผาทำลาย ทำเช่นนี้ทุกวันประมาณ 2-3 สัปดาห์ ช่วยให้เหาหมดไปได้โดยไม่ต้องใช้ยากำจัด การใช้หวีเสนียดควรใช้หวีซึ่งมีช่องหวีถี่มากใช้สางผนทำให้หั้งตัวเหาและไข่เหาหลุดติดกับหวีออกมานอกจากนี้วิธีไก่ผนออกให้หมด เป็นการรักษาที่ได้ผลดี เพราะเหาไม่มีที่ยึดเกาะ เป็นวิธีที่สะดวก ไม่สิ้นเปลือง^{1,2,4}

สำหรับการใช้สมุนไพรรักษา เช่น ยาคุน ใบหรือเมล็ดน้อยหน่า ต้มแล้วคั้นกับน้ำหรือน้ำมัน ชโลม朋ให้หัวศีรษะ ทิ้งไว้ 3-4 ชั่วโมง จึงสาร朋 หมายจะเกิดในเด็กนักเรียน ในการกำจัดเหาจำเป็นต้องทำซ้ำ เพราะขณะกำจัดเหา สมุนไพรที่ใช้สามารถมาตัวเหาได้ แต่ไข่อาจจะถูกกำจัดไม่หมด จึงควรใช้ซ้ำ และแนะนำให้รักษาความสะอาดโดยการสาร朋บ่อย ๆ นอกจากนี้ใช้ยารักษาหิด-เหาขององค์การเภสัชกรรมซึ่งมีลักษณะเป็นยาเนื้อขาวๆ กอนสีขาวๆ (Scabicide emulsion) ควรใช้อายุ่รرمมตระวัง และปฏิบัติตามคำแนะนำในฉลาก สำหรับยาที่ใช้ฆ่าเหาและไข่เหาได้ผลดี คือ แกรมนาเบนเซนเอกซ์คลอร์ไรด์ (Gamma-1,2,3,4,5,6-Hexachlorocyclohexane, Benhexachlor, Gamma isomer of benzene hexachloride) ชื่อทางการค้า คือ Exagama, Forlin, Gallogama, Gamaphex, Gammex, Isotox, Lindafor, Lindagam, Lindagrain, Lindagranox, Lindalo,

Lindamul, Lindapoudre, Lindaterra, Novigam, และ Silvanol ใช้ทาทั่วศีรษะ หลังสารพมให้สะอาดแล้ว แล้วทิ้งไว้ 12 ชั่วโมง และสารพมซ้ำถ้าต้องออกโดยจะน้ำตัวหาได้หมด แต่ไม่หายง่ายไม่ถูกกำจัดให้หมด จึงแนะนำให้ทายาซ้ำอีก 1 สัปดาห์ แล้วใช้หวีเชื่อม สารพมให้ไปเหาหลุดออก หรือใช้ยาศีรษะ ทิ้งไว้ 12 ชั่วโมง ถ้าต้องออกใช้ยาติดต่อ กัน 3 วัน สำหรับการใช้สารกำจัดเหาอีนเซ่น เบนซิลเบนโซอีต 25% (25% Benzyl benzoate) โอลิมทั่วศีรษะ โพกผ้าทิ้งไว้ประมาณ 12-20 ชั่วโมง วิธีที่สะดวก คือ ใส่ยาตอนเข็น แล้วทิ้งไว้ค้างคืนหลังจากนั้นสารพมให้สะอาดพร้อมทั้งใช้หวีเส้นยิดสารางเอาไปเหาออกมา อีกหนึ่งสัปดาห์ต่อมา ควรทำซ้ำอีกครั้ง เพราะเป็นระยะที่ไม่หายที่หลงเหลืออยู่จะฟิกตัวอีกครั้งหนึ่ง⁴ แพทย์อาจต้องพิจารณาใช้ยาปฏิชีวนะ หากเกิดมีเชื้อแบคทีเรียแทรกซ้อนเกิดขึ้น รวมทั้งอาจใช้ยากลุ่มแอนติไฮสตาดีน (antihistamin) เพื่อระงับอาการคัน^{1,2,4,5}

การป้องกัน

การสารพมให้สะอาดเป็นประจำอย่างน้อยสัปดาห์ละ 2 ครั้ง และไม่คลุกเคลือร์ใช้สิ่งของร่วมกับผู้ติดเหา นอกจากนี้ครูหรือผู้ปกครองควรตรวจเหาให้เด็กอย่างน้อยสัปดาห์ละ 1 ครั้ง และแนะนำให้เพื่อนและสมาชิกในครอบครัวกำจัดเหาพร้อมกันด้วยวิธีที่ถูกต้อง ซึ่งเป็นการป้องกันการแพร่ระบาดของโรคเหาได้ โดยแนะนำให้เด็กต้องรักษาความสะอาดของร่างกาย และสารพมเป็นประจำ หากสมาชิกในครอบครัวเป็นเหาควรนำเครื่องใช้ของผู้ติดเหาไปล้างทำความสะอาด ส่วนเครื่องนุ่งห่มควรนำไปตากแดดหรือเข้าเครื่องอบผ้า^{1,2,4,5} ส่วนเหาตามลำตัว จะมุ่งเน้นกำจัดตัวเหาและไข่เหาที่อยู่ตามเสื้อผ้าเป็นหลัก การรักษาความสะอาดของร่างกายด้วยการอาบน้ำอย่างๆ อาจจะทำให้กำจัดเหาได้

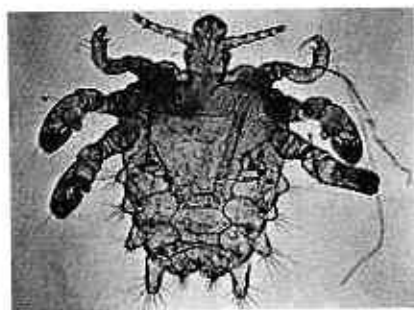
โลนคน (Pubic louse)

ชื่อวิทยาศาสตร์ของโลน คือ *Pthirus pubis* พบรได้ทั่วโลก และมักพบในช่วงเดือนที่มีอากาศเย็น¹⁰ ตัวเต็มวัยเมลงนี้มีขนาดประมาณ 2 มิลลิเมตร สีขาวเทา ลักษณะลำตัวอ้วนป้อมกว่าเหา โลนมีส่วนห้องค่อนข้างสั้น ฉะกัวงเกื่อนเท่ากับความยาวของลำตัว ด้านข้างของปล้องห้องแต่ละปล้องมีตุ่นยื่นออกมา โลนมีขาคู่แรก polymere ละตัว ส่วนขาคู่ที่ 2 และ 3 มีขนาดใหญ่ ปลายขาแต่ละข้างจะมีอุ้งตะขอที่ใหญ่ รูปร่างลักษณะภายนอกดังกล่าวทำให้เหมือนกับก้ามปู จึงมีชื่อเรียกโลนอีกอย่างหนึ่งว่า Crab louse¹¹ (รูปที่ 4)¹¹ ปรสิตนี้อาศัยอยู่ตามขน

วารสารนิติเวชศาสตร์ ปีที่ 4 ฉบับที่ 2

มกราคม – เมษายน พ.ศ.2555

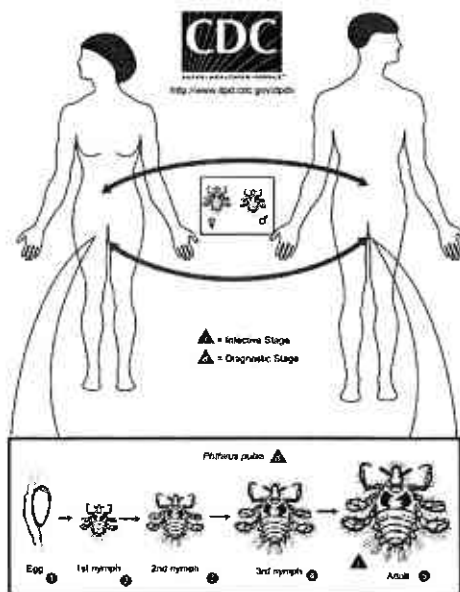
โดยเฉพาะบริเวณหัวหน่าดูดกินเลือดคนเป็นอาหาร หากอดอาหาร 24 ชั่วโมง ตัวโลนจะไม่สามารถดำรงชีวิตอยู่ได้^{1,2,4,5}



รูปที่ 4 ตัวเต็มวัย โลน (*Pthirus pubis*) (ที่มา: http://en.wikipedia.org/wiki/Crab_louse)

วงจรชีวิต

โลนมีวงจรชีวิตคล้ายคลึงกับเหา โลนอาศัยอยู่ตามขนบนริเวณอวัยวะสีบพันธุ์ (Pubic hair) หรือบริเวณ Peri-anal region บางครั้งอาจพบอาศัยที่ขึ้นตามใบหน้า ขนหน้าอก ขนคาง ขนคิ้ว หนวดเครา ขนรักแร้ และขนตามส่วนต่างๆ ของร่างกาย^{8,12} ตัวเต็มวัยเพศเมียวางไข่ติดกับเส้นขน วันละประมาณ 2-3 ฟอง หรือประมาณ 30 ฟอง ตลอดช่วงชีวิต¹³ ไข่ฟักเป็นตัวอ่อน (Nymph) ภายใน 6-8 วัน แล้วเจริญเติบโตจนเป็นตัวเต็มวัย ประมาณ 13-17 วัน จากไข่จนถึงลายเป็นตัวเต็มวัยใช้เวลาประมาณ 20-28 วัน (รูปที่ 5)¹⁴ โลนมีอายุอยู่ได้ประมาณ 1 เดือน สามารถติดต่อผ่านทางเพศสัมพันธ์ เชื้อจะติดจากขนของคนหนึ่งไปยังอีกคนหนึ่ง แต่จะไม่ติดบนผนน^{1,2,4,5} การติดต่อทางอื่นที่มิใช่จากเพศสัมพันธ์ เช่น การนอนเดียงหรือใช้ผ้าเช็ดตัวร่วมกับคนที่ติดเชื้อ ใส่เดียห้องของคนที่ติดเชื้อ หรือนั่งบนโถส้วมที่มีเชื้ออยู่^{1,2,4,5,15}



รูปที่ 5 วงจรชีวิตของโลน (ที่มา <http://www.cdc.gov/parasites/lice/public/biology.html>)

อาการ

จากการศึกษาผู้ป่วยที่เป็นโรค Pediculosis pubis จำนวน 118 คน¹⁶ พบร่วมกับผู้ที่มีอาการคันอย่างรุนแรงร้อยละ 85.9 มีรอยดอกรือยละ 24.8 และมี Maculae ceruleae บริเวณหน้าท้องและด้านข้างร้อยละ 0.8 อาการที่สำคัญคืออาการคันบริเวณที่ติดเชื้อ โดยเฉพาะบริเวณหัวเหง่า อาจจะสังเกตเห็นตัวโลนที่หัวเหง่า หรือสังเกตพบไข่ที่โคนขนหัวเหง่าหรืออาจจะพบรอยขึ้บบริเวณที่ตัวโลนคุดเลือด นอกจากนี้อาจจะพบตัวโลนในบริเวณอื่น เช่น บนรักแร้ เครา ขนคิ้ว ขนตา¹⁵

การวินิจฉัย

สามารถเห็นไข่หรือตัวเชื้อด้วยตาเปล่า หรืออาจจะใช้แอลเวย์ หรือหากสงสัยการติดโลน อาจนำไปพบแพทย์ เพื่อนำปรสิตส่องกล้องจุลทรรศน์เพื่อวินิจฉัย^{1,5,15}

การรักษา

Permethrin cream ทาบริเวณที่ติดเชื้อทั้งไว้ 10 นาแล้วล้างออก ไม่ใช้บริเวณที่บอบ

Lindane shampoo ใช้สระบนบริเวณที่เป็นพิษไว้ 4 นาทีแล้วล้างออก ไม่ใช้บริเวณหนตา ไม่ใช้ในคนที่เป็นโรคลมชัก ไม่ใช้บริเวณที่มีแผล หรือคนท้อง หรือเด็กอายุน้อยกว่า 2 ปี

Pyrethrins ใช้สระบนทิ้งไว้ 10 นาที แล้วล้างออก^{1,2,4,5,15} การโภนบนบริเวณที่ปราศจากยาอยู่ทั้งเป็นการรักษาที่ดีวิธีหนึ่ง¹

การป้องกัน

หลังจากการรักษา ควรกำจัดໄบ้เนื่องจากการรักษาด้วยสารเคมีจะฆ่าตัวเต็มวัยแต่ไม่สามารถกำจัดໄบ้โลนให้หมดไป การเปลี่ยนชุดและที่นอนใหม่ที่สะอาดเป็นการป้องกันการติดประستินอีกทางหนึ่ง นอกจากนี้รักษาคู่นอนและงดร่วมเพศจนกระทั่งรักษาหายขาดแล้ว หลังจากการรักษาแล้วเลือกผ้าที่นอน เครื่องใช้ห้องติดต่อ เพราะฉะนั้นต้องนำเสื้อผ้า ผ้าห่ม เครื่องนอนหั้งหลายไปต้มและอบแห้งด้วยความร้อน^{1,4,5,15}

เทา โลน และนิติเกณฑ์วิทยา

นิติเกณฑ์วิทยา (Forensic Entomology) หมายถึง การนำความรู้ทางด้านชีววิทยาของแมลงซึ่งเป็นสิ่งมีชีวิตใน Phylum Arthropoda มาประยุกต์ใช้อ้างอิงในกระบวนการทางกฎหมาย¹⁷ เช่น การใช้ตัวอ่อนและตัวเต็มวัยแมลงในการประเมินเวลาหลังการตาย (Post mortem interval หรือ PMI) จากโครงสร้างหรืออวัยวะของตัวอ่อนหรือตัวเต็มวัย¹⁸⁻²⁰ นอกจากนี้ข้อมูลจากแมลงที่มาบังคับใช้เป็นประกอบกับหลักฐานอื่นในที่เกิดเหตุ เป็นอีกหนทางหนึ่งที่สามารถใช้เป็นข้อมูลในการบังคับใช้กฎหมาย เพื่อลงโทษตัวผู้กระทำความผิดหรือหาสาเหตุการตาย²¹⁻²³ เช่น การนำสัตว์ขาข้อที่กินซากเพลิงให้กินซากเพลิงที่มาบังคับใช้เป็นหลักฐานในการตัดสินใจได้ นอกจากนี้ยังสามารถนำสัตว์ขาข้อของตัวอ่อนหนอนแมลงวันสามารถตรวจสอบว่าสารที่ผูกตายได้รับได้ นอกจากนี้ยังสามารถนำสัตว์ขาข้อที่กินซากเพลิงที่มาบังคับใช้เป็นหลักฐานในการตัดสินใจได้ และมีความเป็นไปได้ที่ยาหรือสารพิษอาจอยู่ในตัวตักษณ์ได้นานเป็นปี ยิ่งไปกว่านั้นยาหรือสารพิษจากเพลิงสามารถตรวจพบได้ในตัวตักษณ์ได้ ในที่เกิดเหตุที่กินตัวอ่อนหนอนแมลงวันเป็นอาหาร ได้ด้วย²⁴ นอกจากนี้ Gagliano-Candela และ Aventaggiato ระบุรายงานการใช้สัตว์ขาข้ออุดกใช้ในการตรวจหาสารพิษในทางนิติพิษวิทยา ด้วยเทคนิคการตรวจสารพิษที่แตกต่างกันไปในแต่ละรายงาน²⁵ สำหรับหลักฐานที่สำคัญทางนิติวิทยาศาสตร์อีกประเภทหนึ่งคือ สาร

พันธุกรรม Deoxyribonucleotide; DNA ซึ่งจะเป็นลักษณะสำคัญที่ใช้พิสูจน์ตัวบุคคลได้ ในทางนิติวิทยาศาสตร์ มีรายงานจำนวนมากที่ใช้เทคนิคการตรวจ DNA ในการคลีกถ่ายดี ไม่ว่าจะเป็นการตรวจสารพันธุกรรมนี้ด้วย เทคนิค Restriction Fragment Length Polymorphism (RFLP) และ Polymerase Chain Reaction (PCR) ซึ่ง นอกจาก nuclear DNA แล้ว mitochondrial DNA ยังมีรายงานการใช้ในงานนิติวิทยาศาสตร์เพิ่มขึ้นอีกด้วย²¹

การตรวจ DNA ในทางนิติวิทยาศาสตร์สามารถได้จากสิ่งส่งตรวจหลายชนิด เช่น เนื้อเยื่อ ปมรากผม เสือด เป็นต้น โดยเฉพาะอย่างยิ่งสิ่งส่งตรวจที่เป็นเสือดในที่เกิดเหตุเป็นหลักฐานที่มีความสำคัญในการตรวจ DNA เพื่อสืบสวนคดีทางนิติวิทยาศาสตร์^{26,27} เนื่องจากเหาและโภんเป็นสิ่งมีชีวิตที่เป็นปรสิต และเนื่องการคั่งชีวิตของแมลงทั้งสองชนิดนี้ที่ต้องอาศัยกินเสือดจากไส้สต์ที่มันอาศัยอยู่ จึงมีการศึกษาเพื่อตรวจหา DNA ในแมลงทั้งสองนี้เพื่อใช้เป็นหลักฐานในการพิสูจน์บุคคลนิติวิทยาศาสตร์ ทั้งจากเสือดที่ปรสิตดูดกินเข้าไปและสิ่งที่แมลงขับถ่ายออกมาน้ำ (Excreta)²⁸⁻³⁰ โดย Replogle ประสบความสำเร็จในการตรวจ genotype ของคนโดยใช้ mitochondrial DNA ส่วน D1S80 HUMTH01 ด้วยเทคนิค Amplified Fragment Length Polymorphism (AMP-FLP) จากการตรวจสิ่งขับถ่ายจากโภน *Phthirus pubis*²⁸ ในปี 1998 Lord และคณะ สามารถเพิ่มจำนวนและหาลำดับเบสของ human mitochondrial DNA จากตัวโภน ที่ได้ดูดกินเสือดคนเข้าไป²⁹ ในการตรวจ DNA ด้วยเทคนิค PCR โดยส่วน short tandem repeats ที่ loci D13S317, D7S820 และ D16S539 จากเห็บบนศีรษะ *Pediculus humanus* L., 1758 ที่ดูดกินเสือดที่ 2,4,6,8,14, 17, 20 และ 24 ชั่วโมงหลังดูดเสือด คณะผู้วิจัยพบว่า genomic DNA ของไส้สต์ที่ถูกดูดเสือดสามารถตรวจได้จาก 2 ถึง 20 ชั่วโมง หลังเห็บดูดเสือดไปแล้ว เมื่อนำเสือดจากเหาที่ดูดเสือดจากคน 2 คนผสมกัน สามารถตรวจ DNA จากเสือดผสมได้ที่ 0 ถึง 3 ชั่วโมง และการตรวจ DNA ยังจะสามารถตรวจได้ถึงแม้เหาจะดูดเสือดจากไส้สต์ 3 คน อย่างไรก็ตามผู้วิจัยตั้งข้อสังเกตว่าการตรวจ DNA จากเสือดที่เห็บดูดกินเสือดอาจเกิดปัญหาในการแปลผลได้หากเห็บกินเสือดของทั้งผู้ดองหัวและเหยื่อเข้าไป เพราะเกิดการติดต่อของเหาในที่เกิดเหตุ³⁰ เนื่องจากการศึกษาดังกล่าวสกัด DNA จากเหา 2 ถึง 3 ตัว Davey และคณะ ได้ทำการศึกษาการถ่ายทอดของ mtDNA เสือดกระต่ายที่ถูกเห็บตามลำตัวดูดเสือด (ทำการทดสอบโดยให้เพียงตัวเดียวที่กินเสือดไส้สต์) ผู้วิจัยพบว่า DNA ขนาด 199 bp จะถ่ายทอดกว่า DNA ขนาด 283 bp อย่างมีนัยสำคัญ³¹ นอกจากนี้คณะผู้วิจัยยังพบว่าเมื่อ mtDNA 199 bp สามารถตรวจได้จากเห็บนานถึง 24 ชั่วโมง หลังจากเห็บดูดเสือดไปแล้ว ในขณะที่ขนาด 283 bp ตรวจพบได้หลังจากเห็บดูดเสือด 0 ถึง 12 ชั่วโมง นอกจากนี้ การพับเหาและโภนในที่เกิดเหตุสามารถใช้ประกอบหลักฐานในการสอบสวนทางนิติวิทยาศาสตร์ได้ โดยเหาจะ

อาศัยในพื้นที่ที่แห้งเท่านั้นและจะอาศัยอยู่บนโอดส์เท่าที่อุณหภูมิร่างกายโอดส์เหมาะสมเท่านั้น ซึ่งข้อมูลนี้สามารถประกอบการประมาณเวลาในการตายของเหยื่อร่วมกับข้อมูลในการแข็งตัวของกล้ามเนื้อ (Rigor mortis) และการตกของเม็ดเลือดหลังการตาย (Lividity) ในกรณีของการตายในลักษณะ Recent death ภายในเวลา 24 ชั่วโมงได้³² นอกจากนี้ Durden ได้ระบุในหนังสือ Medical and Veterinary Entomology ว่า ประชากรของเหาจะตายประมาณ 4% หลังจากที่ถูกแยกจากโอดส์ของมนุษย์ อุณหภูมิ 26 องศาเซลเซียส ความชื้นสัมพัทธ์ในอากาศ 65% และที่อุณหภูมิ 22 องศาเซลเซียส เหาจะตายภายใน 7 วัน³³

บทสรุป

ปัจจุบันนี้ทั้งในประเทศไทยและต่างประเทศ มีข้อมูลที่เกี่ยวข้องกับการใช้เหาและโลนในทางนิติวิทยาศาสตร์อยู่น้อยมาก โดยเฉพาะในประเทศไทยยังไม่พบข้อมูลด้านนี้เลย ข้อมูลที่ผู้นิพนธ์ได้รวบรวมมาเป็นการแสดงให้เห็นว่าเหาและโลนสามารถนำมาใช้ประโยชน์ทางนิติวิทยาได้จริง โดยการสกัด DNA จากเดือดคนในตัวเหาหรือโลนที่ดูดเดือดคนเข้าไปหรืออาจจะใช้ประโยชน์ในการประมาณระยะเวลาการตายแบบคร่าวๆ แต่อย่างไรก็ตามยังคงต้องมีการศึกษาเพิ่มเติมอีกมากในเรื่องของเทคนิคการสกัด DNA ของคนจากเหาหรือโลนเพื่อความแม่นยำและความถูกต้อง แล้วจึงนำไปใช้ให้เกิดประโยชน์สูงสุดในการพิสูจน์บุคคล

กิตติกรรมประกาศ

ขอขอบคุณ Mr. Matthew Robert Furguson ผู้อำนวยการสถาบันพัฒนาภาษามหาวิทยาลัยเรศวร ในการให้คำแนะนำเกี่ยวกับการเขียนบทคัดย่อภาษาอังกฤษ

References

1. วิชิต พิพิธกุล. สัตว์ขาข้อทางการแพทย์. ใน สมาน เทศนา และ พิพวรรณ มาลีวงศ์ บรรณาธิการ. ปรสิตวิทยาทางการแพทย์. พิมพ์ครั้งที่ 1, ขอนแก่น; โรงพยาบาลวิทยาลัยขอนแก่น, 2544: 300-37.
2. Service MW. Medical entomology for students. 2nd ed UK: Cambridge University press, 2000.
3. http://en.wikipedia.org/wiki/Head_louse (สืบค้นเมื่อ 26 กรกฎาคม 2554)
4. Leo NP, Hughes JM, Yang X, Poudel SKS, Brogdon WG, Barker SC. The head and body lice of humans are genetically distinct (Insecta: Phthiraptera, Pediculidae): evidence from double infestations. Heredity 2005; 95: 34-40.
5. Burkhardt CN, Burkhardt CG. Fomite transmission in head lice. J Am Acad Dermatol 2007; 56(6): 1044-7.

6. อุยาดี ภาระ, ประครอง พันธุอุไร, อนุสรณ์ มาลัยนวล, และจิตติ จันทร์แสง. ภาระกรณ์เป็นเหาของเด็กนักเรียนชนบทในภาคค่าๆ ของประเทศไทย. วารสารกรรมวิทยาศาสตร์การแพทย์. 2531; 30: 75-82.
7. http://en.wikipedia.org/wiki/Crab_louse (สืบค้นเมื่อ 27 กรกฎาคม 2554)
8. Service MW. A guide to medical entomology. London & Basingstoke: The Macmillan Press LTD., 1980
9. <http://www.cdc.gov/dpdx/html/headlice.htm> (สืบค้นเมื่อ 31 กรกฎาคม 2554)
10. Mimouni D, Ankol OE, Gdalevich M, Grotto I, Davidovitch N, Zangvil E. Seasonality trends of pediculosis capitis and *Phthirus pubis* in a young adult population: follow-up of 20 years. J Eur Acad Dermatol Venereol 2002; 16: 257-9.
11. http://en.wikipedia.org/wiki/Crab_louse (สืบค้นเมื่อ 27 กรกฎาคม 2554)
12. James MT, Harwood RF. Herms's medical entomology. 6th ed. New York: Macmillan Publishing Co., Inc, 1969
13. Burkhardt CN Gunning W, Burkhardt CG. Scanning electron microscopic examination of the egg of the pubic louse (Anoplura: Pediculidae). Int J Dermatol 2000; 39: 201-2.
14. <http://www.cdc.gov/parasites/lice/public/biology.html> (สืบค้นเมื่อ 31 กรกฎาคม 2554)
15. คณาจารย์ภาควิชาเภสัชเคมี คณะเภสัชศาสตร์ มหาวิทยาลัยศิลปากร. สารกำจัดเหา. สารเคมีในชีวิตประจำวัน.(สืบค้นจาก <http://www.pharm.su.ac.th/cheminlife/cms/index.php/bath-room/pediculus-humanus> เมื่อ มิถุนายน 2554)
16. Ko CJ, Elston DM. Pediculosis. J Am Acad Dermatol 2004; 50: 1-12.
17. วิสุทธิ์ ชะริโต. นิติภูมิวิทยา. วารสารนิติเวชศาสตร์ 2552; 2(3): 39-50
18. แสงขัย นพวรรณ, นพวรรณ บุญชู, อภิชาติ วิทย์คง. การวัด cephalopharyngeal skeleton ของ *Chrysomya megacephala* ระยะ third in star larvae ที่เก็บจากมหาวิทยาลัยนเรศวร จังหวัดพิษณุโลก. วารสารเทคนิคการแพทย์ 2553; 38(1): 3100-6.
19. Greenberg B, Kunich JC. Entomology and the law. Cambridge; Cambridge University press: 2002
20. Smith KG. Annual of forensic entomology. London; The trustees of the British museum, 1986
21. Nickell J, Fischer JF. Crime science; method of forensic detection. USA, The university press of Kentucky 1999.
22. Saferstein R. Criminalistics: an introduction to forensic science. 8 ed, USA, Pearson printic hall. 2004.
23. Stuart HJ, Jon JN. Forensic science: an introduction to scientific and investigative technique. USA, CRC press. 2002
24. Derrick J, Pounder. Forensic entomo-toxicology. J Forensic Sci Soc. 1991;31(4): 469-72
25. Gagliano-Candela R, Aventaggiato L. Thedetection of toxic substances in entomological specimens. Int J Legal Med 2001; 114: 197-203
26. กรเกียรติ วงศ์ไพบูลย์สิน. ดีอีนเอกสารงานนิติเวช. วารสารนิติเวชศาสตร์. 2550; 1(1):91-6
27. กรเกียรติ วงศ์ไพบูลย์สิน. ดีอีนเอกสารกระบวนการนิติวิทยาศาสตร์. วารสารนิติเวชศาสตร์. 2550; 1(2): 35-6
28. Replogle J, Lord WD, Budowle B, Meinking TL, Taplin D. Identification of host DNA by amplified fragment length polymorphism analysis: preliminary analysis of human crab louse (Anoplura: Pediculidae) excreta. J Med Entomol. 1994 ; 31(5): 686-90.
29. Lord WD, DiZinno JA, Wilson MR, Budowle B, Taplin D, Meinking TL. Isolation, amplification, and sequencing of human mitochondrial DNA obtained from human crab louse, *Pthirus pubis* (L.), blood meals. J Forensic Sci. 1998; 43(5):1097-100.

ຈາກສານນິຕີເວັບຄາສດຕົກປີທີ 4 ຈົບປະກິດ 2

ມັງກອນ – ເມນາຍນ ພ.ສ.2555

30. Mumcuoglu KY, Gallili N, Reshef A, Brauner P, Grant H. Use of human lice in forensic entomology. *J Med Entomol*. 2004; 41(4): 803-6.
31. Davey JS, caseyCS, Burgess IF, Cable J. DNA detection rates of host mtDNA in bloodmeals of human body lice (*Pediculus humanus* L., 1758). *Med Vet Entomol* 2007; 21: 293-6.
32. Gernnard DE. *Forensic entomology; an introduction*. West Sussex, England; Wiley: 2007.
33. Mullen G, Durden LA. *Lice. Medical and veterinary entomology*. Amsterdam; Academic Press, 2002.

การจับเท็จ

บรรจุนัมน ธรรมไชย *

ผศ. ดร. นวลลดา ชวินชัย **

บทคัดย่อ

ปัจจุบัน วิธีการจับเท็จได้มีการพัฒนาขึ้น จากการวัดการเปลี่ยนแปลงทางสมรรถภาพทางเดียวเครื่องโลปีกراف เป็นการวัด การเปลี่ยนแปลงการทำงานของระบบประสาทส่วนกลางโดยตรง โดยใช้เทคนิคการถ่ายภาพสมอง (Functional magnetic resonance imaging: fMRI) ถึงแม้ว่าการจับเท็จด้วยเทคนิคการถ่ายภาพสมองยังไม่ได้นำมาใช้ในงานยุติธรรม เมื่อจากต้อง อาศัยเครื่องมือที่มีราคาแพงและผู้ใช้จะต้องมีความชำนาญพิเศษเฉพาะด้าน แต่ความแม่นยำนั้นมีมากกว่าหรือเท่ากับร้อยละ 90 ในขณะที่การจับเท็จด้วยเครื่องโลปีกرافมีความแม่นยำอยู่ในช่วงค่อนข้างกว้างคือ ร้อยละ 50 ถึงร้อยละ 99 และสามารถ นำไปใช้ในชั้นศาลได้ร้อยละ 60 เท่านั้น นอกจากนี้ รูปแบบของการถามและชนิดของคำถามมีความสำคัญอย่างยิ่งต่อการจับเท็จ ดังนั้น บทความวิชาการนี้มีวัตถุประสงค์เพื่อทบทวนวิธีการจับเท็จด้วยเครื่องโลปีกراف และเทคนิคการถ่ายภาพสมอง และเพื่อ สรุปรูปแบบของการถามและชนิดของคำถามที่สำคัญต่อการจับเท็จ ซึ่งจะทำให้เข้าใจหลักการทางวิทยาศาสตร์ต่อการจับเท็จที่ จะอึ้งประทับใจนักศึกษาในอนาคต

คำสำคัญ: การจับเท็จ เทคนิคการถ่ายภาพสมอง โลปีกراف

* สาขาวิชานิติวิทยาศาสตร์ บัณฑิตวิทยาลัย มหาวิทยาลัยเชียงใหม่

** ภาควิชาภาษาพม่า คณะเทคนิคการแพทย์ มหาวิทยาลัยเชียงใหม่

Deception Detection

Abstract

Presently, deception detection has been advanced from assessing physiological signs using polygraph to assessing brain activity using functional magnetic resonance imaging (fMRI). The fMRI has not been used in court yet because of expensive course and required specialist. However, its accuracy has been reported about 90 percent while the polygraph's accuracy has been report in a wide range of 50-99 percent and the result can be used only 60 percent in court. Furthermore, question paradigm and types are necessary in deception detection. Therefore, the purposes of this review article were to review deception detection using the polygraph and fMRI, and to summarize the question paradigm and types that have been used in deception detection. This knowledge would be more helpful in understanding the applied science principle to the deception detection which would be further benefits to the justice system.

Keywords: Lie detection, Functional magnetic resonance imaging (fMRI), Polygraph

บทนำ

การจับเท็จเป็นการดำเนินการตรวจสอบเพื่อให้ได้มาซึ่งความจริงจากแต่ละบุคคลที่ถูกตรวจสอบ โดยประเมินว่า ผู้นั้นตอบคำตามความเป็นจริง (Truth) หรือการหลอกลวง (Deception) โดยมีการสังเกตจากอาการปัจจัยทางกายและการใช้เครื่องมือทางวิทยาศาสตร์ คำตามที่ใช้ทดสอบการจับเท็จมีหลายรูปแบบของคำตามซึ่งสามารถกระตุ้นให้เกิดการเปลี่ยนแปลงทางสรีรวิทยาทางกายต่างๆ และการทำงานของสมอง (1)

เครื่องโปเลิกราฟ (Polygraph) เป็นเครื่องมือที่ใช้กันในปัจจุบัน ซึ่งมีความแม่นยำอยู่ในช่วงค่อนข้างกว้าง คือ ร้อยละ 50 ถึงร้อยละ 99 (2-4) ทั้งนี้อาจเกิดจากการที่เครื่องโปเลิกราฟใช้หลักการวัดความเปลี่ยนแปลงทางหัวใจและหายใจ ซึ่งมีผลมาจากการสภาวะความเปลี่ยนแปลงทางอารมณ์ (5) จึงทำให้ไม่สามารถแยกแยะได้อ่าย่างชัดเจนว่าความผิดปกติของเส้นกราฟนั้นเกิดขึ้นจากสภาวะอารมณ์ใด (4, 6, 7) นอกจากนี้ ยังขึ้นกับความหลากหลายของรูปแบบการทดสอบการจับเท็จและความสามารถของผู้จับเท็จอีกด้วย (2, 8) ใน

ปัจจุบันได้มีการพัฒนาการจับเท็จด้วยเทคโนโลยีใหม่โดยวัดการเปลี่ยนแปลงการทำงานของระบบประสาทส่วนกลางโดยตรง คือ เทคนิคการถ่ายภาพสมอง Functional magnetic resonance imaging (fMRI) (3, 4, 6, 8-13) ซึ่งเป็นเทคนิคการถ่ายภาพสมองด้วยเครื่องแม่เหล็กไฟฟ้า (Magnetic resonance imaging: MRI) เพื่อตรวจหาส่วนของสมองที่ทำงานหนักขึ้นเมื่อมีการหลอกลวง โดยการสแกนสมองเพื่อให้เกิดเป็นภาพความเปรียบต่าง (Contrast) ของความสัมพันธ์ของอัตราสูงสุดของกระบวนการเปลี่ยนแปลงระดับออกซิเจนในเลือด (Blood oxygen level dependent: BOLD) การจับเท็จด้วยเทคนิคการถ่ายภาพสมอง fMRI มีความแม่นยำอยู่มากกว่าหรือเท่ากับร้อยละ 90 (3, 14-16)

ถึงแม้ว่าการจับเท็จด้วยเทคนิคการถ่ายภาพสมอง fMRI จะยังไม่แพร่หลายเนื่องจากต้องอาศัยเครื่องมือที่มีราคาแพงและผู้ใช้จะต้องมีความชำนาญพิเศษเฉพาะด้านแต่ก็นับว่าเป็นความหวังใหม่ในการช่วยจับเท็จที่แม่นยำกว่าเครื่องโปแลริกราฟและเป็นหลักฐานทางวิทยาศาสตร์ที่น่าเชื่อถือ จากหลาย ๆ การศึกษาในต่างประเทศทั้งในยุโรปและอเมริกา (4, 11, 13, 16-19) ซึ่งทำการศึกษาเกี่ยวกับพฤติกรรมและกระบวนการตอบสนองทางกายวิภาคด้วยเทคนิคการถ่ายภาพ fMRI พบว่า เมื่อมีการหลอกลวงปฏิริยาการทำงานของสมองจะเพิ่มขึ้นโดยเฉพาะส่วนที่เรียกว่า Ventrolateral prefrontal cortex: VLPFC ซึ่งส่วนใหญ่ทำการศึกษาในคนปกติโดยทำการเปรียบเทียบการเปลี่ยนแปลงการทำงานของสมองระหว่างการหลอกลวงกับการกล่าวความจริง (4, 7, 11, 16-18) ประโยชน์จากการศึกษาเหล่านี้คือ เป็นการคาดหวังว่าจะสามารถนำรูปแบบการจับเท็จและการเปลี่ยนแปลงของสมองมาใช้เป็นอีกทางเลือกหนึ่งในการจับเท็จด้วยเทคนิคการถ่ายภาพสมอง fMRI ในงานนิติวิทยาศาสตร์เพื่อให้เป็นหลักฐานทางวิทยาศาสตร์ที่น่าเชื่อถือต่อไปในอนาคต

การจับเท็จ (Lie detection)

แม่นักทฤษฎีวิทยาศาสตร์ด้านการจับเท็จจะได้มีพัฒนาการมาเป็นเวลานานกว่าศตวรรษแต่ผู้เชี่ยวชาญก็ต้องพยายามหาหนทางที่จะพัฒนาเทคนิคของการวิเคราะห์เพื่อที่จะลงความเห็นได้ว่าบุคคลนั้น ๆ ได้ตอบคำถามด้วยการกล่าวความจริงหรือหลอกลวง ดังนั้น การเข้าใจถึงหลักของตระรากในทางจิตวิทยา สรีรวิทยาร่วมถึงเทคนิคการใช้เครื่องมือทางวิทยาศาสตร์ จึงถือได้ว่าเป็นคุณสมบัติที่สำคัญสำหรับผู้ดำเนินการจับเท็จ หลักของตระรากในทางจิตวิทยาที่เกี่ยวข้องกับการกล่าวความเท็จหรือการหลอกลวง ได้กล่าวถึงการที่สภาวะทางร่างกายจะมีความเปลี่ยนแปลงเมื่อสภาวะทางจิตเปลี่ยนแปลง หมายถึง เมื่อผู้ใดก็ตามที่สามารถรับรู้ได้ว่าสิ่งที่ตนกล่าวอภิมานนั้นเป็นความเท็จซึ่งไม่ตรงกับความเป็นจริงที่ตนรับรู้อยู่ในใจย่อมเกิดความขัดแย้งสับสนภายในสมองของตนเองและความขัดแย้งสับสนเข่นนี้จะเป็นตัวก่อให้เกิดความเครียดหรือความวิตกกังวลซึ่งจะกระตุ้นต่องลไกทางร่างกาย ปัจจัยต่าง ๆ ทางจิตวิทยามิ่งว่าจะเป็นความหวาดกลัว ความวิตกกังวล ความขัดแย้งสับสน ต่างก็มีอิทธิพลต่อการเปลี่ยนแปลงทางสรีรวิทยาทั้งสิ้น โดยลั่งสำคัญของกระบวนการจับเท็จคือแรงกระทบใน

ปฏิสัมพันธ์ทางจิตวิทยาที่มีต่อกระบวนการทางสรีรวิทยาเนื่องจากผู้ดำเนินการจับเท็จมิได้มุ่งวัดถึงตัวคำหลอกหลวงนั้นแต่เป็นการมุ่งวัดถึงปฏิกริยาต่างๆที่เปลี่ยนแปลงในร่างกายของบุคคลที่มีความเกี่ยวโยงกับพฤติกรรมทางจิตซึ่งสัมพันธ์กับความเครียดที่เกี่ยวข้องกับการหลอกหลวงนั้น ๆ (5)

ประเภทการจับเท็จ

1. การจับเท็จโดยการจับพิรุธ

การจับเท็จที่ใช้โดยทั่วไป คือจับพิรุธ โดยการสังเกตสีหน้า การพูด อาการปักริยาหรือโดยวิธีอื่น โดยที่นักจิตวิทยาหลายคนมีความคิดว่า การพิจารณาจังหวะการพูดหรือการเปลี่ยนน้ำเสียง จะช่วยในการจับเท็จได้ (1) แต่ก็ยอมรับว่าการใช้วิธีการจับเท็จทุกวิธีต่างก็มีความบกพร่อง ไม่สามารถจับคนโกหกได้ร้อยเปอร์เซ็นต์ (20)

2. การจับเท็จโดยใช้เครื่องโปเล็กراف

ในปัจจุบัน เครื่องโปเล็กراف เป็นเครื่องมือทางวิทยาศาสตร์ที่ใช้ในการจับเท็จที่ให้ความสะดวกแก่ผู้ปฏิบัติงานที่ทำงานร่วมกับระบบที่ถูกกำหนดไว้ด้วยโปรแกรมคอมพิวเตอร์แต่ก็จำเป็นที่จะต้องอาศัยความสามารถและประสบการณ์ของผู้ดำเนินการจับเท็จเพื่อให้การวิเคราะห์ผลมีประสิทธิภาพ ทั้งนี้ เครื่องโปเล็กرافใช้หลักการการวัดความเปลี่ยนแปลงทางร่างกายอันมีผลมาจากการความเปลี่ยนแปลงทางอารมณ์ 5 ประการ คือ การหายใจบริเวณหน้าอก (Thoracic respiration) การหายใจบริเวณหน้าท้อง (Abdominal respiration) ปฏิกริยาเหงือกผิวนัง (Galvanic skin reflex) ความดันโลหิต-ซีพจ (Blood pressure-pulse) และปริมาณความเข้มข้นของโลหิตที่ปีกตาบน (Plethysmograph) (5)

จากการทดสอบความแม่นยำของการจับเท็จด้วยเครื่องโปเล็กراف พบร่วมกับความแม่นยำในระดับที่หลากหลาย คือ ประมาณร้อยละ 85 (4, 21), ร้อยละ 90 (20), ช่วงร้อยละ 50 ถึง 99 (2), ช่วงร้อยละ 50 ถึง 95 (3) และช่วงร้อยละ 80 ถึง 98 (22) บ่งบอกถึงการมีความแม่นยำในช่วงที่กว้างและยังถือว่าไม่เพียงพอที่จะนำมาเป็นที่ยอมรับในชั้นศาล (4, 6) อีกทั้งเนื่องจากผลของการวัดการเปลี่ยนแปลงทางสรีรวิทยาที่เกิดจากการทำงานของระบบประสาทอัตโนมัติไม่สามารถแยกแยะได้อย่างชัดเจนว่าความผิดปกติของเส้นประสาทนี้เกิดขึ้นจากภาวะอารมณ์ใด เช่น ความรู้สึกผิด (Guilt) ความดีนเด็น (Excitement) หรือความโกรธ (Anger) (4, 6, 7) ดังนั้น การพัฒนาเครื่องทางวิทยาศาสตร์เพื่อพัฒนาการจับเท็จโดยผ่านทางระบบประสาทส่วนกลางโดยตรงจะทำให้มีความให้ความแม่นยำในการจับเท็จมากยิ่งขึ้น (4, 6, 8) นอกจากนี้ยังเป็นการเพิ่มหลักฐานทางวิทยาศาสตร์ เพื่อให้การจับเท็จในงานนิติวิทยาศาสตร์มีความน่าเชื่อถือมากยิ่งขึ้น

3. การจับเหตุโดยใช้เทคนิคการถ่ายภาพสมอง (Functional magnetic resonance imaging: fMRI)

เอ็นอาร์ไอ (Magnetic resonance imaging: MRI) เป็นเครื่องมือทางการแพทย์ที่ได้ความนิยมเป็นอย่างสูงในปัจจุบัน ซึ่งมีประโยชน์มากโดยเฉพาะการสร้างภาพของสมอง เพราะนอกจากจะใช้สร้างภาพเพื่อดูกายวิภาคแล้วยังสามารถใช้ตรวจหาตำแหน่งต่าง ๆ ในสมองที่ใช้ในการรับความรู้สึกจากสิ่งกระตุ้น เช่น การได้ยิน การสัมผัส การมองเห็น เป็นต้น รวมไปถึงการใช้ตรวจหาตำแหน่งในสมองที่ใช้ในการอกรคำสั่งให้ตอบสนองต่อสิ่งกระตุ้น เช่น การพูด การคิด เป็นต้น ซึ่งเทคนิคดังกล่าวเรียกว่า Functional magnetic resonance imaging (fMRI)

fMRI เป็นเทคนิคที่ใช้ตรวจหาตำแหน่งของสมองที่มีผลมาจากการทำงานของระบบประสาทส่วนกลาง โดยตรง (3, 4, 6, 8-13) ซึ่งอาศัยหลักการตรวจวัดการเปลี่ยนแปลงระหว่างเลือดที่มีระดับความเข้มข้นของออกซิเจนต่ำ (Deoxyhemoglobin) ในช่วงเวลาที่สมองอยู่ในภาวะพัก (Rest) และเลือดที่มีระดับความเข้มข้นของออกซิเจนสูง (Oxyhemoglobin) ในช่วงเวลาที่สมองได้รับการกระตุ้น (Activated) จะเห็นได้ว่าระดับสัญญาณเอ็นอาร์ที่แตกต่างกันขึ้นอยู่กับการเปลี่ยนแปลงระดับออกซิเจนจึงนิยมเรียกเทคนิคนี้ว่า BOLD (Blood oxygen level dependent)-based fMRI ซึ่งเลือดที่มีออกซิเจนอยู่เพิ่มขึ้น (Oxyhemoglobin, Fe²⁺) จะแสดงคุณสมบัติทางแม่เหล็กเป็นไคโรแมกнетิก (Diamagnetism) มีผลทำให้ความแปรปรวนของสนามแม่เหล็กหลัก (Magnetic flux) ลดลง ส่งผลให้บริเวณดังกล่าวมีสัญญาณเอ็นอาร์แรงกว่าบริเวณข้างเคียง ในทางตรงกันข้าม เลือดที่มีออกซิเจนต่ำ (Deoxyhemoglobin, Fe³⁺) จะมีอิเล็กตรอนโดดเดี่ยวอยู่มากและจะแสดงคุณสมบัติทางแม่เหล็กเป็นพารามากเนติก (Paramagnetism) ทำให้สนามแม่เหล็กหลักบริเวณดังกล่าวเกิดความแปรปรวนเพิ่มขึ้น ทำให้สัญญาณเอ็นอาร์ลดลงเมื่อเทียบกับบริเวณที่มีออกซิเจนสูง (23)

การนำเทคนิคการถ่ายภาพสมอง fMRI มาใช้ในการจับเหตุจะสามารถตรวจสอบการทำงานของระบบประสาทที่ควบคุมสภาวะอารมณ์ได้ดี โดยอาศัยหลักการสร้างรูปแบบในการจับเหตุภายใต้คำแนะนำ 2 ข้อ คือ ควรออกแบบการทดสอบให้มีความเกี่ยวข้องกับผลต่อสังคมและควรมีการกระตุ้นให้ผู้เข้าร่วมการทดสอบเกิดความพยาบาลที่จะໂอกหกอย่างจริงจัง การออกแบบการทดสอบที่เป็นการหลอกลวงอย่างแท้จริงจะทำให้เห็นถึงกระบวนการการทำงานของสมองที่เกี่ยวข้องกับการหลอกลวงได้อย่างเฉพาะเจาะจง (8) การจับเหตุด้วยเทคนิคการถ่ายภาพสมอง fMRI มีความแม่นยำมากกว่าหรือเท่ากับร้อยละ 90 (3, 14, 15, 18) ดังนั้น เพื่อเป็นการพัฒนารูปแบบการจับเหตุด้วยเทคนิคการถ่ายภาพสมอง fMRI ให้มีความเฉพาะเจาะจงต่อการทำงานของพื้นที่สมองมากยิ่งขึ้น จึงควรต้องอาศัยหลักการของการตรวจสอบทางไปลีกราฟมาประยุกต์ใช้เพื่อเป็นแนวทางในการตั้งค่า datum และตอบค่าตามรวมถึงรูปแบบในการทดสอบเพื่อให้ได้มาซึ่งกระบวนการจับเหตุที่มีความแม่นยำและ

สามารถนำมาใช้ประโยชน์ได้จริงในงานทางด้านนิติวิทยาศาสตร์โดยเป็นการเพิ่มหลักฐานทางวิทยาศาสตร์ในงานด้านการจับเหตุ (3, 8, 17) ทั้งในด้านของความน่าเชื่อถือ ความแม่นยำที่มากยิ่งขึ้น

รูปแบบของการถามสำหรับการจับเหตุ

การจับเหตุจะมีการทดสอบหลายครั้งในชุดคำถามที่เหมือนกันหรือต่างกันตามจุดประสงค์โดยที่แต่ละลักษณะจะมีสูตรของคำถามและตำแหน่งในการสอบถาม คำถามที่จะนำมาใช้ในการทดสอบที่ใช้เป็นหลักอยู่โดยทั่วไปจะมี 3 ประเภท คือ 1) คำถามเกี่ยวข้องกับคดี (Relevant question) เป็นคำถามที่อยู่ในการอบรมจำเพาะของคดีที่กำลังสืบสวนสอบสวนเท่านั้น สิ่งที่สำคัญคือ ต้องมีทั้งคำถามที่เขื่อมโยงกับคดีโดยตรง คำถามระดับรอง และคำถามเชื่อมโยงพยานหลักฐาน 2) คำถามควบคุม (Control question) เป็นคำถามที่เกี่ยวข้องกับลักษณะความผิดที่เป็นคู่บ้านกับคดีแต่มีน้ำหนักความรับผิดชอบน้อยกว่า 3) คำถามที่เป็นกลางหรือที่ไม่เกี่ยวข้องกับคดี (Neutral/Irrelevant question) เป็นคำถามที่มุ่งพิจารณาหาเกณฑ์ประดิษฐ์ของปฏิกริยาที่ตอบสนองของบุคคลนั้น คำถามสำหรับการทดสอบมีหลายรูปแบบซึ่งมีวัตถุประสงค์จำเพาะต่างกันออกไปและการตรวจสอบทางโปแล็กรามีการทดสอบหลายครั้ง แต่ละรูปแบบของคำถามจะเป็นไปตามสูตรของคำถาม

โดยหลักทั่วไปนั้น Reid ได้ใช้วิธีเริ่มต้นด้วยการทดสอบแรก (First test) แล้วจึงใช้การทดสอบด้วยบัตรเลขหมาย (Card test) เพื่อใช้เป็นในการกระตุ้นความรู้สึกของบุคคล หลังจากนั้นจะเป็นการทดสอบที่สาม (Third test) แล้วจึงเป็นการทดสอบด้วยคำถามผสม (Mixed question test) นอกจากนี้ยังมีการทดสอบปมนบาน (Guilt complex test: GKT) ที่เหมาะสมสำหรับบุคคลที่มีปฏิกริยาตอบสนองมากเกินไปซึ่งอาจเกี่ยวข้องกับการที่บุคคลนั้นกำลังหมกมุ่นกับบางสิ่งบางอย่างในคำหรือเรื่องราวที่ทำให้กระทบถึงความรู้สึกอย่างรุนแรงได้ การทดสอบอีกชนิดหนึ่งที่แตกต่างออกไปจากการทดสอบอื่น เรียกว่า การทดสอบจุดสุดยอดของความตึงเครียด (Peak of tension test: POT) จะช่วยกระตุ้นความรู้สึกที่ต้องกล่าวไว้หลอกหลวงอย่างจำเพาะต่อข้อคำถามนั้นออกมานะ และจะได้ผลอย่างยิ่งถ้าข้อมูลรายละเอียดปลีกย่อยที่สำคัญของคดีไม่เป็นที่ล่วงรู้ของบุคคลอื่นใดมาก่อนออกจากตัวผู้กระทำและเจ้าหน้าที่ตำรวจที่สืบทราบข้อมูลเท่านั้น สำรวจการทดสอบอีกชนิดหนึ่งที่เรียกว่า การทดสอบด้วยคำตอบเมียน เป็นการทดสอบที่ผู้ตรวจสอบต้องออกให้บุคคลนั้นตอบคำถามในใจของตนเองตลอดการทดสอบซึ่งจะก่อให้เกิดความขัดแย้งสับสนในความรู้สึกที่เกิดขึ้นภายในตัวบุคคลเองและทำให้เกิดปฏิกริยาทางอารมณ์ซึ่งจะสะท้อนออกมาปรากฏให้เห็น ได้ทางเส้นภาพโปแล็กราฟ (5) จากการศึกษาคุณสมบัติของแต่ละการทดสอบที่มีความแตกต่างกันและความเป็นไปได้ว่าเมื่อมีการเริ่มคิดคำนึงถึงคำตอบทันทีที่เข้าใจคำถามย่อมทำให้เกิดกระบวนการคิดผ่านการทำงานของสมอง จึงนำมาซึ่งการประยุกต์ใช้รูปแบบการทดสอบต่างๆในการจับเหตุเพื่อวัดการเปลี่ยนแปลงการทำงานของระบบประสาทส่วนกลางโดยตรง (3, 4, 6, 8-13)

การพัฒนารูปแบบและการนำคำตามมาประยุกต์ใช้ในการจับเท็จด้วยเทคนิคการถ่ายภาพสมอง fMRI โดยทำการสร้างและทดสอบรูปแบบการจับเท็จซึ่งคำตามที่นำมาใช้ในการทดสอบมีสามประเภท คือ คำตาม เกี่ยวข้องกับคดี คำตามความคุณ และคำตามที่เป็นกลางหรือที่ไม่เกี่ยวข้องกับคดี ผลจากการศึกษาพบว่าส่วนของสมองที่ถูกกระตุ้นสามารถนำมารายงานได้อย่างถูกต้องร้อยละ 93 และสามารถจับเท็จได้ร้อยละ 90 ซึ่งแสดงให้เห็นว่าเทคนิคการถ่ายภาพสมอง fMRI สามารถนำมาจับเท็จได้ในรายบุคคล แต่อย่างไรก็ตามควรที่จะมีการศึกษาเพิ่มเติมโดยสร้างสถานการณ์จำลองแบบอื่นๆ ที่เหมือนจริงเนื่องจากผลที่ได้จากการกระตุ้นบอกได้แต่เพียงกลุ่มของบริเวณทางกายวิภาคของสมองที่เกิดการเปลี่ยนแปลงจากการหลอกลวงแต่ไม่สามารถระบุบริเวณทางกายวิภาคของสมองที่เกี่ยวข้องการหลอกลวงได้อย่างเฉพาะเจาะจง (14, 15)

นอกจากนี้ ยังมีการศึกษาการจับเท็จโดยใช้เทคนิคการถ่ายภาพสมอง fMRI ที่ใช้รูปแบบการทดสอบที่เรียกว่าการทดสอบปมนบาก เป็นการทดสอบอีกรูปแบบหนึ่งของกระบวนการทางปอดีกราฟที่อาศัยการกระตุ้นความรู้สึกที่เป็นปมอยู่ในใจ ผลจากการศึกษาพบว่า ในขณะที่มีการหลอกลวงจะมีการทำงานของสมองส่วน VPLFC, Dorsolateral prefrontal cortex (DLPFC), Medial prefrontal cortex (MPFC) และ Anterior cingulated gyrus หรือ Anterior cingulated cortices (ACC) จะเห็นได้ว่าผลจากการกระตุ้นด้วยการทดสอบปมนบาก แสดงให้เห็นถึงการทำงานร่วมกันของสมองหลายส่วนที่เกี่ยวข้องกับการหลอกลวงแต่ก็ยังไม่สามารถกระตุ้นการทำงานของสมองให้สนองตอบต่อการกล่าวหลอกลวงได้อย่างเฉพาะเจาะจงเช่นเดียวกัน (10, 11, 17, 24)

การนำรูปแบบการทดสอบด้วยคำตามที่เป็นกลางหรือที่ไม่เกี่ยวข้องกับคดี มาทำการทดสอบการจับเท็จ โดยใช้เทคนิคการถ่ายภาพสมอง fMRI และกำหนดให้ผู้เข้าร่วมการศึกษาสามารถเลือกตอนคำตามระหว่างพูดจริงหรือพูดเท็จได้อย่างอิสระ พบว่า การกล่าวหลอกลวงจากการกระตุ้นด้วยคำตามที่เป็นกลางหรือที่ไม่เกี่ยวข้องกับคดี มีความสัมพันธ์กับการกระตุ้นการทำงานของสมองส่วน ventrolateral prefrontal regions ทั้งสองข้าง (16, 18) ข้อเสนอแนะที่สำคัญคือ การให้ผู้เข้าร่วมการศึกษาระริยมเรื่องราวที่มีความคุ้นเคยหรือเหตุการณ์จริงที่ผ่านมา จะทำให้ผู้เข้าร่วมการศึกษามีความรู้สึกยอมรับ ໄວต่อการกระตุ้น และสัมพันธ์กับการกระตุ้นการทำงานของสมองส่วน VLPFC ได้ดีกว่าการใช้รูปแบบการศึกษาอย่างอื่นๆ เช่น การใช้บัตรเลขหมายหรือไฟ (16)

สรีรวิทยาและประสາทกายวิภาคกับการจับเท็จ

สรีรวิทยาและการจับเท็จ

ผู้สนใจในวิทยาการด้านการจับเท็จ ได้อศัยหลักตระกรากทางสรีรวิทยาเพื่อตรวจสอบความเปลี่ยนแปลงของร่างกายอันมีผลมาจากความเปลี่ยนแปลงด้านอารมณ์ต่อระบบประสາทอัตโนมัติ (Autonomic nervous

system: ANS) (5) ซึ่งเป็นระบบประสาทที่สามารถควบคุมสภาวะภายในร่างกายให้สมดุล เช่น การเต้นหัวใจ การหายใจ อุณหภูมิของร่างกาย เป็นต้น ระบบประสาลอัตโนมัติแยกเป็นสองส่วนคือ ระบบประสาทชิมพาเทติก (Sympathetic nervous system: SNS) ซึ่งมีเซลล์ประสาทอยู่ในปล้องไขสันหลังระดับคอและเอว (Thoracolumbar) และระบบประสาพาราชิมพาเทติก (Parasympathetic nervous system: PNS) ที่มีเซลล์ประสาทอยู่ในปล้องไขสันหลังระดับคอและกระเบนเหน็บ (Craniosacral) ระบบประสาลอัตโนมัติมีบทบาทควบคุมอวัยวะภายในร่างกาย ดังนี้ คือ กล้ามเนื้อเรียบของผิวหนัง (Arector pili) ระบบทางเดินอาหาร ระบบทางเดินปัสสาวะ ระบบหายใจ ผนังหลอดเลือด กล้ามเนื้อเรียกภายในตา (Ciliary, Sphincter pupillae, Dilator pupillae) กล้ามเนื้อนอกตา (Tarsal, Muller's ของหนังตา) กล้ามเนื้อหัวใจและต่อมต่าง ๆ (25)

ในการตรวจสอบด้วยเครื่องจับเท้านี้ความวิตกกังวลโดยทั่วไปของบุคคลที่ถูกตรวจสอบจะมีส่วนไปกระตุ้นระดับการทำงานของประสาทบังคับอาการออกงานอาจจิตใจ (Sympathetic activity) เมื่อสภาวะทางอารมณ์ถูกปลุกเร้าขึ้นในช่วงของการกล่าวหาลดลง ปฏิกิริยาสนองตอบทางสรีรวิทยาจะเกิดการเปลี่ยนแปลงโดยปริมาณโลหิตที่แน่นอาจเพิ่มขึ้นพร้อมๆ กันเพิ่มแรง ให้เลี้ยงกล้ามเนื้อส่วนกะโหลก ความต้านทานไฟฟ้าบริเวณผิวหนังอาจลดน้อยลงเนื่องจากอาจเกิดหลังเหื่อที่บริเวณอุจุ้มือ รูปแบบการหายใจอาจผันผวน อัตราการหายใจและชีพจรอาจไม่คงที่ เมื่อระบบประสาทชิมพาเทติก (Sympathetic nervous system: SNS) ถูกความเครียดกระตุ้นให้เกิดการทำงาน ระบบประสาพาราชิมพาเทติก (Parasympathetic nervous system: PNS) จะทำงานเพื่อให้ร่างกายกลับสู่สภาวะสมดุล (5) โดยส่วนของสมองที่ทำหน้าที่เป็นศูนย์กลางควบคุมระบบประสาลอัตโนมัติ คือ ไฮโพทาลามัส (Hypothalamus) จะสร้างฮอร์โมนเพื่อควบคุมการผลิตฮอร์โมนจากต่อมได้สมองเพื่อให้เกิดการควบคุมสมดุลของปริมาณน้ำและสารละลายในเลือดและควบคุมอุณหภูมิร่างกาย อารมณ์ความรู้สึก วงจรการตื่นและการหลับ การหิว การอิ่ม และความรู้สึกทางเพศ และทำหน้าที่ประสานการทำงานระหว่างระบบประสาลอัตโนมัติกับระบบประสาทและต่อมไร้ท่อ (Neuroendocrine) เพื่อรักษาสมดุลของร่างกาย (25)

การเปลี่ยนแปลงทางร่างกายเกี่ยวข้องกับการเปลี่ยนแปลงขั้นสั้นๆ ของระบบประสาทส่วนกลาง ในส่วนที่เกี่ยวข้องกับระบบประสาลอัตโนมัติและการเปลี่ยนแปลงของต่อมไร้ท่อ การเปลี่ยนแปลงทางร่างกายเหล่านี้ทำให้นักจิตวิทยามีความสนใจและพบว่าขณะมีการเปลี่ยนแปลงอารมณ์ ร่างกายจะมีการเปลี่ยนแปลงยกตัวอย่างเช่น ปฏิกิริยาของเหื่อที่ผิวหนัง เกี่ยวข้องกับการนำไฟฟ้าที่ผิวหนังขณะที่มีอารมณ์ตื่นเต้นพลังงานไฟฟ้าบนผิวหนังจะเพิ่มขึ้น การเปลี่ยนแปลงการไหลของเลือด เกิดจากเส้นเลือดฝอยขยายตัวและเลือดจะถูกส่งไปหล่อเลี้ยงบริเวณผิวหนังมากขึ้นทำให้คนที่มีอารมณ์โกรธจัดหน้าจะแดง ส่วนคนที่มีอาการตรงข้ามกัน คือ คนที่มีความกลัวหรือตกใจเส้นเลือดจะหดตัว เลือดจะไปเลี้ยงบริเวณผิวหนังน้อยจึงจะเห็นว่าหน้าขาว การเต้น

ของหัวใจที่แรงขึ้นเป็นสัญลักษณ์ที่แสดงให้เห็นได้ง่าย กล่าวคือ เมื่อคนเกิดอารมณ์ที่เปลี่ยนแปลงอัตราการเต้นของหัวใจจะเร็วและแรงขึ้น ส่วนอัตราการหายใจเข้าออกและการหายใจลึกเป็นเครื่องบ่งชี้ให้เห็นถึงการเกิดอารมณ์โดยเฉพาะอารมณ์ที่เกี่ยวกับความขัดแย้งในใจ (Conflicts) เช่น อารมณ์ไม่หรือถอนหายใจ ส่วนการขยายกว้างของม่านตาคำแสดงถึงอารมณ์โกรธ เจ็บปวดหรือตื่นเต้นและจะเหดตัวเมื่อเกิดอารมณ์เกรว่า เป็นต้น (26)

การเปลี่ยนแปลงของร่างกายเมื่อเกิดการเปลี่ยนแปลงอารมณ์จะอยู่ภายใต้อิทธิพลของระบบประสาท และต่อมไร้ท่อ ดังนั้น เมื่อเกิดการแสดงออกทางอารมณ์ซึ่งจำเป็นจะต้องมีการทำงานประสานกันของระบบประสาทส่วนกลางและประสาಥัตโนมัติ ทั้งนี้ การตอบสนองทางระบบประสาทอัตโนมัติที่เกิดจากการกระตุ้นในสมองนั้น กระแสประสาทที่เกิดขึ้นจะถูกส่งไปยัง ไซโรพาลามัสซึ่งเป็นศูนย์กลางสูงสุดในการปรับแต่งการตอบสนองของระบบประสาทอัตโนมัติและกลุ่มของเซลล์ประสาทในหลายระดับที่มีอิทธิพลต่อการตอบสนองของระบบประสาทอัตโนมัติด้วยดังนี้ คือ ในระดับสมองส่วนกลาง(Midbrain) มีศูนย์กลางของการเหดตัวรูม่านตา ในระดับพอนส์ (Pons) มีศูนย์กลางเกี่ยวกับปัสสาวะและในระดับก้านสมอง (Medulla) มีศูนย์กลางการหายใจ การเต้นหัวใจ ปราการณ์ของระบบประสาทอัตโนมัติหลายชนิดถูกกระตุ้นให้เกิดจากหลายส่วนของสมอง เช่น สมองกลีบหน้า (Frontal lobe) และสมองส่วน ACC เป็นต้น (25)

ประสาทภายในภาคและการจับเท็จ

การศึกษาส่วนใหญ่ที่เกี่ยวกับการจับเท็จโดยใช้เทคนิคการถ่ายภาพสมอง fMRI พบว่าปฏิกิริยาการทำงานของสมองส่วนหน้า (Prefrontal cortex) จะเพิ่มมากขึ้นในขณะที่มีการหลอกลวง (10, 11, 13, 16-19, 27-29) สมองส่วนหน้า (Prefrontal cortex) กินเนื้อที่ลึกลงในส่วนของเปลือกสมองทั้งหมดอยู่บริเวณสมองกลีบหน้าหน้าด่อพื้นที่สมอง (Broadmann area: BA) 6, 8 และ 45 ทำหน้าที่ควบคุมการเคลื่อนไหว การออกเสียง ความคิด ความจำ สร้างภูมิคุ้มกัน ความรู้สึก อารมณ์ (25)

สมองส่วนหน้า (Prefrontal cortex) คือ Frontal association cortex แบ่งเป็น 2 ส่วน คือ

1. ส่วน Orbitofrontal (25) คือ Orbital gyrus มีบทบาทสัมพันธ์กับการทำงานของอวัยวะภายในและอารมณ์ (Visceral และ Emotional activities) โดย Orbitofrontal เป็นส่วนหนึ่งของทฤษฎีที่เกี่ยวพันกับพฤติกรรมทางระบบนิรสัจก (Theory of mind) (30) ดังนั้น จึงถือได้ว่า สมองส่วน Orbitofrontal มีความสัมพันธ์กับการหลอกลวง (13)

2. ส่วน Dorsolateral (25) มีบทบาทเกี่ยวกับความสามารถ (Intellectual abilities) เช่น ความคิดรวบยอด การวางแผน การตัดสินใจ และการแก้ปัญหา

สมองส่วนที่ได้รับการยืนยันว่ามีความสัมพันธ์ต่อการหลอกลวงเป็นอย่างมากคือสมองส่วน VLPFC ซึ่งทำงานภายใต้สมองส่วน Orbitofrontal และถือได้ว่าเป็นส่วนหนึ่งของสมองส่วนหน้า (25) สมองส่วน VLPFC นี้เป็นสมองส่วนที่มีความสำคัญต่อการทำให้เกิดประสบการณ์และการตอบสนองทางอารมณ์เป็นอย่างยิ่ง (31) นอกจากนี้สมองส่วน VLPFC ยังมีบทบาทต่อการควบคุมการเรียนรู้ของความจำ (Cognitive control of memory) อีกด้วย (30) ถึงแม้ว่าการหลอกลวงเป็นกระบวนการเรียนรู้ที่ซับซ้อนของระบบประสาทซึ่งต้องอาศัยการทำงานร่วมกันของสมองหลายส่วน (Combinations of signatures) (27) แต่การหลอกลวงนั้นสัมพันธ์กับการกระตุ้นการทำงานของสมองส่วน VLPFC เป็นอย่างมาก (11, 13, 17-19, 28)

สมองส่วน VLPFC เป็นส่วนย่อยของ Pars opercularis, Pars triangularis, Pars orbitalis โดยเฉพาะ BA 44, BA 45 และ BA 47 ของ Inferior frontal gyrus มีหน้าที่สำคัญคือ เป็นหน่วยควบคุมความจำ โดยที่สมองส่วน Inferior frontal gyrus จะอยู่หน้าต่อสมองส่วน Premotor cortex (BA 6) และหลังต่อสมองส่วน Posterior frontal pole (BA 10) (30)

ความสัมพันธ์ระหว่างสมองส่วน VPLFC และการหลอกลวง

สมองส่วน VPLFC มีความสัมพันธ์ต่อการหลอกลวงภายใต้การทำงานของสมองส่วน Orbitofrontal เนื่องจากเป็นสมองส่วนที่มีความสำคัญต่อการทำให้เกิดความจำที่เกี่ยวกับประสบการณ์และการตอบสนองทางอารมณ์เป็นอย่างยิ่ง (31) การทำงานของ VPLFC มีความสำคัญต่อการควบคุมการเรียนรู้ของการจำ สองกระบวนการ คือ กระบวนการควบคุมการช่วยจำ (Mnemonic control) และกระบวนการคิดเกี่ยวกับสัญลักษณ์ หรือความหมายของคำ (Semantic retrieval) โดยที่สมองส่วน VPLFC จะมีบทบาทต่อคำตามเกี่ยวกับการจำรูปแบบการแก้ปัญหา (Episodic retrieval) หรือความจำเชิงเหตุการณ์ (Episodic retrieval) ซึ่งเป็นการจำรูปแบบในการแก้ปัญหาของเหตุการณ์ที่เคยผ่านมาหรือประสบการณ์ในอดีตที่เกี่ยวข้องกับการตัดสินใจและการแสดงออก ดังนั้น สมองส่วน VPLFC จึงมีความสัมพันธ์กับการหลอกลวงเป็นอย่างยิ่ง เนื่องจากในขณะที่มีการหลอกลวง สมองส่วนที่ทำหน้าที่เกี่ยวข้องกับการจำรูปแบบการแก้ปัญหาของเหตุการณ์ที่เคยเกิดขึ้นนั้นก็จะถูกกระตุ้นเพื่อให้มีการคิดและนำเอารูปแบบของการตัดสินใจในรูปแบบนั้นมาใช้อีก (30) นอกจากนี้สมองส่วน VPLFC ยังมีบทบาทสัมพันธ์กับการทำงานของอวัยวะภายในและอารมณ์ โดยเฉพาะอารมณ์เศร้า (Sad mood) การจดจำบุคคล (Recall of personal memories) และเป็นสมองส่วนสำคัญที่เกี่ยวข้องกับอารมณ์ (Emotional material) หรือการตอบสนองทางอารมณ์เป็นอย่างยิ่ง (31)

การศึกษาที่ยืนยันความสัมพันธ์ของการหลอกลวงกับการกระตุ้นการทำงานของสมองส่วน VLPFC โดยอาศัยเทคนิคการถ่ายภาพสมอง fMRI ซึ่งกำหนดให้ผู้เข้าร่วมการศึกษาเขียนเรื่องราวจากประสบการณ์ของตนเองจำนวนสองเรื่องและนำมาตั้งเป็นคำถามขึ้นเท็จ ผู้เข้าร่วมการศึกษาสามารถเลือกตอบตามความจริงหรือ

กล่าวหลอกลวงได้ ผลการศึกษาพบว่า การหลอกลวงสัมพันธ์กับการกระตุ้นการทำงานของสมองส่วน VLPFC เป็นอย่างมากและมีความสามารถกันทั้งสองข้าง ดังนั้น การให้ผู้เข้าร่วมการศึกษาเตรียมเรื่องราวที่มีความคุ้นเคย หรือเหตุการณ์จริงที่ผ่านมาจะทำให้ผู้เข้าร่วมการศึกษามีความรู้สึกยอมรับ ไวต่อการกระตุ้น และสัมพันธ์กับการกระตุ้นการทำงานของสมองส่วน VLPFC ได้ดีกว่าการใช้รูปแบบการศึกษาอย่างอื่นๆ เช่น การใช้บัตรเลขหมาย ใช้ไฟ (16)

นอกจากการเข้าใจกลไกการควบคุมการทำงานของสมองที่เกี่ยวข้องกับการหลอกลวงแล้ว ยังจำเป็นต้องมีความเข้าใจในหลักการทางจิตวิทยาของการโกหก (Psychology of deception) ซึ่งมีความยากต่อการจำแนกพื้นที่การทำงานของสมองเพื่อให้เฉพาะเจาะจงต่อการหลอกลวง เนื่องจากกระบวนการทำงานของสมอง จะเกี่ยวข้องกับสถานการณ์ต่างๆ เช่น การระลึกถึงข้อมูล (Recall) สภาพอารมณ์ (Emotions) การควบคุมพฤติกรรม (Behaviours controlled) และการจัดการข้อมูล (information managed) เป็นต้น (13) และยังจำเป็นต้องอาศัยความเข้าใจเกี่ยวกับทฤษฎีแห่งจิตใจ (Theory of mind) การยับยั้งการตอบสนอง (Response) และความจำระยะ�าน (Working memory) ซึ่งน่าเชื่อว่าเมื่อสมองได้รับการกระตุ้นด้วยการกล่าวหลอกลวงจะพบการทำงานร่วมกันของสมองส่วนต่างๆ มากกว่าการตอบตามความเป็นจริง เนื่องจากพบว่ามีการกระตุ้นการทำงานของสมองทั้งสองข้างของ Inferior frontal gyrus และสมองส่วนอื่นๆ ที่จำเป็นต่อกระบวนการจำ การคิด วิเคราะห์ การแก้ปัญหาและการตัดสินใจ ยกตัวอย่างเช่น Middle frontal gyrus, ACC และ SMA ในขณะที่ผลของการกระตุ้นการทำงานของสมองด้วยการตอบตามความเป็นจริงพบว่ามีการกระตุ้นการทำงานของสมองซึ่งเกี่ยวข้องของ Inferior frontal gyrus โดยมีสมองส่วนอื่นที่จำเป็นต่อกระบวนการคิดและการจำมาเกี่ยวข้องน้อยกว่า เนื่องมาจากการพูดความจริงมีความจำเป็นในการคิดและทบทวนความจำน้อยกว่าการกล่าวหลอกลวง (11)

กลไกควบคุมการเรียนรู้ (Cognitive control mechanisms) เป็นกลไกของการเรียนรู้ที่จะสัมพันธ์กับ เป้าหมายและการแสดงออก โดยที่สมองส่วน VLPFC โดยเฉพาะซีกซ้ายของส่วนที่เรียกว่า Inferior frontal gyrus par opercularis หรือ BA 44 มีผลต่อการควบคุมการเรียนรู้ของความจำ เช่น กระบวนการควบคุมการช่วยจำและกระบวนการคิดเกี่ยวกับสัญลักษณ์หรือความหมายของคำ (32) การศึกษาที่ผ่านมาได้อธิบายถึงบทบาทที่สำคัญ ของสมองส่วน VLPFC ซีกซ้าย (Left VLPFC) ไว้ว่า ส่วนหน้าของ VLPFC (Anterior VLPFC) ซึ่งเป็นบริเวณ BA 47 หรือเรียกว่า Inferior frontal gyrus pars orbitalis จะมีบทบาทเกี่ยวกับการควบคุมความคิด การแสดงออก การตอบค้ำคามที่เกี่ยวข้องกับการจดจำรูปแบบการแก้ปัญหาร่วมกับการทำงานสมองซีกซ้ายของ Posterior middle temporal cortex เพื่อประมวลผลจากความจำเชิงเหตุการณ์โดยสมองจะจดจำรูปแบบลักษณะเหตุการณ์ และจดจำรูปแบบการแก้ปัญหาของเหตุการณ์นั้น ในขณะที่สมองส่วนกลางของ VLPFC (Mid VLPFC) ซึ่งเป็น บริเวณ BA 45 หรือเรียกว่า Inferior frontal gyrus pars triangularis จะมีบทบาทเกี่ยวกับการประมวลผลทั่วไป

ดังนั้น กลไกการความคุณการทำงานที่ประสานกันระหว่างกระบวนการความคุณการซ่วย้ำและกระบวนการคิดเกี่ยวกับสัญลักษณ์หรือความหมายของคำ รวมทั้งความจำเกี่ยวกับการคิด รายละเอียดในอดีต การแก้ปัญหาต่ออุปสรรคและการเปลี่ยนกิจกรรมนั้นเป็นจึงผลมาจากการทำงานของสมองส่วน VLPFC ซึ่งซ้าย โดยที่สมองส่วน VLPFC ซึ่งซ้ายนี้จะทำหน้าที่ในการคิดร่วมกับ Inferior and lateral temporal cortical เพื่อตอบสนองต่อคำตามที่เกี่ยวข้องกับความรู้และภาษาหมายถึงความรู้ที่เกี่ยวกับความหมายของคำและคุณสมบัติของสัญลักษณ์ (30, 33)

อย่างไรก็ตาม ยังมีสมองส่วนอื่นๆที่ทำงานเกี่ยวข้องกับการเกิดสภาพอารมณ์ เช่น สมองส่วน ACC ซึ่งทำหน้าที่รับรู้อารมณ์และยังบทบาทที่เฉพาะเจาะจงต่อการตัดสินใจโดยตรง (30) และสมองส่วน Ventromedial prefrontal cortex (VPMFC) ซึ่งเป็นส่วนหนึ่งของสมองกลีบหน้าจะทำหน้าที่ในการรับรู้อารมณ์ร่วมกับสมองส่วน ACC (25) จากการศึกษาที่ผ่านมาได้มีการอธิบายถึงความสัมพันธ์ของการทำงานของสมองกับการหลอกลวงว่าในขณะที่มีคิดเกี่ยวกับการหลอกลวงจะมีการทำงานร่วมกันของสมองหลายส่วน คือ Prefrontal cortex, ACC, Temporal, Parietal และบางส่วนของ Subcortical หรือกล่าวได้ว่าเป็นกระบวนการการทำงานของสมองระดับสูง (Executive function) (13) ดังนั้น การศึกษาเกี่ยวกับการทำงานของสมองในขณะที่มีการกระตุ้นให้มีการหลอกลวงจึงเป็นที่มาของแนวคิดที่ว่า การหลอกลวงต้องใช้กระบวนการคิดและการตัดสินใจในระดับสูง (Higher function) เช่น การคิดวิเคราะห์ ภาษา ความเข้าใจ การควบคุมอารมณ์ ความคิดสร้างสรรค์เพื่อจะควบคุมการตอบสนองและสภาวะจิตใจ จึงได้มีการพยายามที่จะพัฒนารูปแบบในการทดสอบการจับเท็จด้วยเทคนิคการถ่ายภาพสมอง fMRI ให้มีความเฉพาะเจาะจงต่อการทำงานของพื้นที่สมองมากยิ่งขึ้น (8, 17)

สรุป

การศึกษารูปแบบของคำตามและชนิดของคำตามที่ใช้ทั่วไปในเครื่องໂປລິກາຟจะมีประโยชน์ต่อการนำไปประยุกต์ใช้ในการจับเท็จด้วยเทคนิคการถ่ายภาพสมอง fMRI และเป็นแนวทางในการพัฒnarูปแบบการทดสอบการจับเท็จด้วยเทคนิคการถ่ายภาพสมอง fMRI เพื่อให้มีความเฉพาะเจาะจงต่อการทำงานของพื้นที่สมองมากยิ่งขึ้น ดังนั้น การอาศัยหลักการของการตรวจสอบทางໂປລິກາຟมาประยุกต์ใช้จึงเป็นสิ่งสำคัญและการนำรูปแบบของการตั้งคำถามและตอบคำถาม รวมถึงรูปแบบในการทดสอบมาใช้อย่างเหมาะสมจะทำให้ได้มาซึ่งกระบวนการการจับเท็จที่มีประสิทธิภาพและสามารถนำมาใช้ประโยชน์ได้ในงานทางด้านนิติวิทยาศาสตร์ในด้านของความเป็นหลักฐานทางวิทยาศาสตร์ที่น่าเชื่อถือและความแม่นยำที่มากยิ่งขึ้น อีกทั้งจะส่งผลต่อการเอื้อประโยชน์ที่สูงต่องานยุติธรรมอย่างมีเหตุผลต่อไปในอนาคต

References

1. LIEBERMAN DJ. NEVER BE LIED TO AGAIN. วีดิร์น จำกัด; 2008.
2. Jackson J. What is polygraphy and do lie detectors work? Journal [serial on the Internet]. 2006 Date: Available from: <http://www.ukskeptics.com/polygraph.php>.
3. Simpson JR. Functional MRI lie detection: too good to be true? *J Am Acad Psychiatry Law*. 2008; 36(4): 491-8.
4. Ford EB. Lie detection: historical, neuropsychiatric and legal dimensions. *Int J Law Psychiatry*. 2006 May-Jun; 29(3): 159-77.
5. ไทยศรีนิวัติ ภักดีกุล. ไปลีกราฟ. ภาควิชาสังคมวิทยา และ มนุษยวิทยา มหาวิทยาลัยเชียงใหม่; 2552.
6. Appelbaum PS. Law & psychiatry: The new lie detectors: neuroscience, deception, and the courts. *Psychiatr Serv*. 2007 Apr; 58(4): 460-2.
7. Mohamed FB, Faro SH, Gordon NJ, Platek SM, Ahmad H, Williams JM. Brain mapping of deception and truth telling about an ecologically valid situation: functional MR imaging and polygraph investigation--initial experience. *Radiology*. 2006 Feb; 238(2): 679-88.
8. Sip KE, Roepstorff A, McGregor W, Frith CD. Detecting deception: the scope and limits. *Trends Cogn Sci*. 2008 Feb; 12(2): 48-53.
9. Kozel FA, Padgett TM, George MS. A replication study of the neural correlates of deception. *Behav Neurosci*. 2004 Aug; 118(4): 852-6.
10. Langleben DD, Schroeder L, Maldjian JA, Gur RC, McDonald S, Ragland JD, et al. Brain activity during simulated deception: an event-related functional magnetic resonance study. *Neuroimage*. 2002 Mar; 15(3): 727-32.
11. Langleben DD, Loughead JW, Bilker WB, Ruparel K, Childress AR, Busch SI, et al. Telling truth from lie in individual subjects with fast event-related fMRI. *Hum Brain Mapp*. 2005 Dec; 26(4): 262-72.
12. Lee TM, Liu HL, Tan LH, Chan CC, Mahankali S, Feng CM, et al. Lie detection by functional magnetic resonance imaging. *Hum Brain Mapp*. 2002 Mar; 15(3): 157-64.
13. Spence SA, Hunter MD, Farrow TF, Green RD, Leung DH, Hughes CJ, et al. A cognitive neurobiological account of deception: evidence from functional neuroimaging. *Philos Trans R Soc Lond B Biol Sci*. 2004 Nov 29; 359(1451): 1755-62.
14. Kozel FA, Laken SJ, Johnson KA, Boren B, Mapes KS, Morgan PS, et al. Replication of Functional MRI Detection of Deception. *Open Forensic Sci J*. 2009 Jan 1; 2: 6-11.
15. Kozel FA, Johnson KA, Mu Q, Grenesko EL, Laken SJ, George MS. Detecting deception using functional magnetic resonance imaging. *Biol Psychiatry*. 2005 Oct 15; 58(8): 605-13.
16. Spence SA, Kaylor-Hughes C, Farrow TF, Wilkinson ID. Speaking of secrets and lies: the contribution of ventrolateral prefrontal cortex to vocal deception. *Neuroimage*. 2008 Apr 15; 40(3): 1411-8.
17. Phan KL, Magalhaes A, Ziemlewicz TJ, Fitzgerald DA, Green C, Smith W. Neural correlates of telling lies: a functional magnetic resonance imaging study at 4 Tesla. *Acad Radiol*. 2005 Feb; 12(2): 164-72.

18. Fullam RS, McKie S, Dolan MC. Psychopathic traits and deception: functional magnetic resonance imaging study. *Br J Psychiatry*. 2009 Mar; 194(3): 229-35.
19. Christ SE, Van Essen DC, Watson JM, Brubaker LE, McDermott KB. The contributions of prefrontal cortex and executive control to deception: evidence from activation likelihood estimate meta-analyses. *Cereb Cortex*. 2009 Jul;19(7): 1557-66.
20. Oksol EM, O'Donohue WT. *Handbook of Forensic Psychology : Resource for Mental Health and Legal Professionals*. UNIVERSITY OF NEVADA; 2003 [cited. Available from: <http://www.ecampus.com/book/9780125241960>.
21. Grubin D, Madsen L. Accuracy and utility of post-conviction polygraph testing of sex offenders. *Br J Psychiatry*. 2006 May; 188: 479-83.
22. Dardeau G. Tethyan evolution and Alpine reactivation of Jurassic extensional structures in the French Alpes Maritimes. *Bulletin de la Société géologique de France*. 1998; 4(4): 651.
23. Peter J, Paul MM, Stephen MS. *Functional MRI An Intorduction to Methods*. Introduction: Oxford Unverisity; 2001. p. 1-30.
24. Gamer M, Bauermann T, Stoeter P, Vossel G. Covariations among fMRI, skin conductance, and behavioral data during processing of concealed information. *Hum Brain Mapp*. 2007 Dec; 28(12): 1287-301.
25. ພາສູກ (ບຸນຍູ້ອໍ) ນທຣຈານຸເຄຣະໜໍ. ປະສາທກາຍວິກາຄະຕົກພື້ນຮູນ. ພີ.ປີ. ພອເຮນ ນູ້ກໍສ ເຊນເຕອຮ໌; 2543.
26. ຂຶ່ລວອຮ່ແມນ ອີ. *General Psychology*. ກຽງທພມຫານຄຣ: ຈາມຖວີໄປປັດກົດ໌; 2547.
27. Ganis G, Kosslyn SM, Stose S, Thompson WL, Yurgelun-Todd DA. Neural correlates of different types of deception: an fMRI investigation. *Cereb Cortex*. 2003 Aug; 13(8): 830-6.
28. Davatzikos C, Ruparel K, Fan Y, Shen DG, Acharyya M, Loughead JW, et al. Classifying spatial patterns of brain activity with machine learning methods: application to lie detection. *Neuroimage*. 2005 Nov 15; 28(3): 663-8.
29. Mitchell DG, Rhodes RA, Pine DS, Blair RJ. The contribution of ventrolateral and dorsolateral prefrontal cortex to response reversal. *Behav Brain Res*. 2008 Feb 11; 187(1): 80-7.
30. Badre D, Wagner AD. Left ventrolateral prefrontal cortex and the cognitive control of memory. *Neuropsychologia*. 2007 Oct 1; 45(13): 2883-901.
31. Phillips ML. Understanding the neurobiology of emotion perception: implications for psychiatry. *Br J Psychiatry*. 2003 Mar; 182: 190-2.
32. Thompson-Schill SL, Swick D, Farah MJ, D'Esposito M, Kan IP, Knight RT. Verb generation in patients with focal frontal lesions: a neuropsychological test of neuroimaging findings. *Proc Natl Acad Sci U S A*. 1998 Dec 22; 95(26): 15855-60.
33. Gorno-Tempini ML, Dronkers NF, Rankin KP, Ogar JM, Phengrasamy L, Rosen HJ, et al. Cognition and anatomy in three variants of primary progressive aphasia. *Ann Neurol*. 2004 Mar; 55(3): 335-46.

การทดสอบ Kastle-Meyer และการประยุกต์ใช้ในทางวิทยาศาสตร์การแพทย์

Kastle-Meyer Test and Its Application in Medical Sciences

ไชยวัฒน์ ไชยสมบูรณ์ *

บทคัดย่อ

Kastle-Meyer เป็นการทดสอบเบื้องต้นทางนิติวิทยาศาสตร์เพื่อทดสอบความเลือด ด้วยหลักการที่ hemoglobin ในเม็ดเลือดแดงเป็นตัวเร่งปฏิกิริยาให้ peroxidase ให้เกิด oxidation เป็นรูป reduced form ของ phenolphthalin จากสารละลายไม่มีสี เปลี่ยนไปเป็น phenolphthalein ซึ่งมีสีชมพู ไม่เพียงแต่มีประโยชน์ในทางนิติวิทยาศาสตร์ แต่น้ำยานี้สามารถใช้ในการศึกษาทางห้องปฏิบัติการทางการแพทย์อีกด้วย

คำรหัส: Kastle-Meyer reduced phenolphthalein

Abstract

Kastle-Meyer test is a forensic presumptive blood remain test. It relies on the peroxidase-like activity of hemoglobin in red blood cells to catalyze the oxidation of the colorless reduced form of phenolphthalin into phenolphthalein, which is visible as bright pink color. The reagent does not only serve as a useful test for forensic scientific investigation but it can also be applied to medical science laboratory investigation.

Keywords: Kastle-Meyer, reduced phenolphthalein

* ภาควิชาเทคนิคการแพทย์ คณะสหเวชศาสตร์ มหาวิทยาลัยนเรศวร พิษณุโลก

บทนำ

Kastle-Meyer เป็นการทดสอบเมื่องตันเพื่อทดสอบทราบเลือดและ hemoglobin ในทางนิติวิทยาศาสตร์ ถึงแม้ส่วนใหญ่การทดสอบนี้จะใช้ในการสืบสวนคดีในทางนิติเวชศาสตร์ แต่มีรายงานการประยุกต์ใช้การทดสอบนี้ในทางเทคนิคการแพทย์ กีฏวิทยาทางการแพทย์และวิทยาศาสตร์การแพทย์อื่น ดังจะนำเสนอต่อไปในรายงานทบทวนเอกสารนี้

ประวัติการพนการทดสอบ Kastle-Meyer

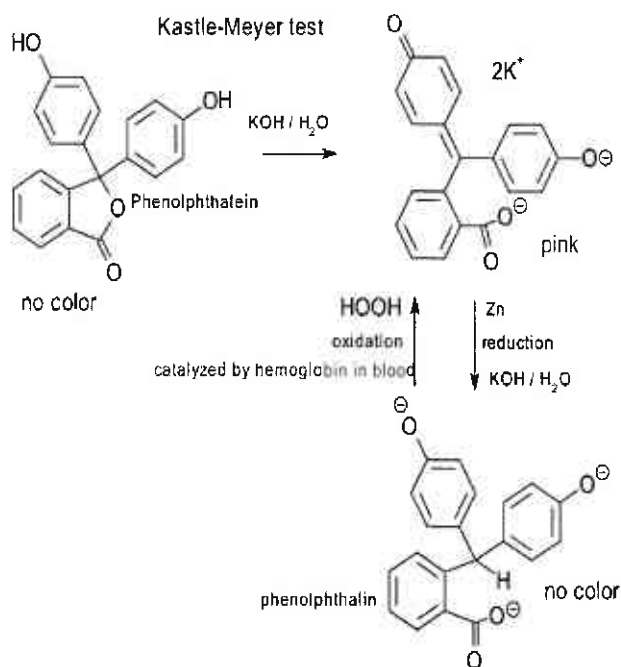
ในปี ค.ศ.1818 Louis-Jacques Thenard ค้นพบ hydrogen peroxide และในปีค.ศ.1863 Christian Friedrich Schonbein สังเกตเห็น peroxidase-like activity ของ hemoglobin เป็นสาเหตุของ oxidation ของ hydrogen peroxide ผลของปฏิกิริยาระหว่าง hydrogen peroxide กับ hemoglobin มีฟองเกิดขึ้น ในช่วงต้นของปี 1900 Kastle ได้ใช้ phenolphthalein เป็น color indicator ของการตรวจ hemoglobin ไม่กี่ปีต่อมา Meyer ได้ปรับปรุงและพัฒนาการทดสอบ จึงเรียกการทดสอบนี้ว่า Kastle-Meyer (KM) test¹

หลักการของการทดสอบ

หลักการของการทดสอบ คือ hemoglobin ในเลือด เร่งการถลายออกไซด์ peroxidase จะถลาย hydrogen peroxide ได้น้ำและออกซิเจน จากนั้นออกซิเจนจะออกซิไดซ์สาร phenolphthalin (reduced form) จากที่ไม่มีสีให้เปลี่ยนเป็น phenolphthalein (oxidized form) ได้สีชมพู²⁻⁵ (รูปที่ 1)

การเตรียมน้ำยา

การเตรียมน้ำยามีความแตกต่างกันในปริมาณของสาร หลักการเตรียมสารละลายนี้โดยทั่วไปเตรียมโดยหั่ง phenolphthalein และ sodium hydroxide pellets เติมน้ำ deionised water จะได้สารละลายสีชมพู เติมผงสังกะสี (zinc dust) ตั้งจนกระทั้งสารละลายใส่ไม่มีสี เติม ethanol เติมผงสังกะสีลงไปอีกเล็กน้อยเพื่อให้สารละลายอยู่ในภาวะ reduced form เก็บน้ำยาในขวดสีชาที่มีฝาปิดสนิทในตู้เย็น (4 องศาเซลเซียส) โดยน้ำยานี้จะเก็บไว้ได้หลายเดือน⁶⁻⁹



รูปที่ 1. The Kastle-Meyer test reaction (ที่มา: http://chem.vander-lingen.nl/info/item/November_2008/id/141/mid/141⁵)

ขั้นตอนการทดสอบ

ตัวอย่างในที่เกิดเหตุ เช่น ไม้พันสำลีที่ป้ายทราบเลือดที่สang สัย หรือตัวอย่างที่เก็บได้จากที่เกิดเหตุหยด ethanol ลงบนตัวอย่าง หยดน้ำยา KM จากนั้น หยด 3% hydrogen peroxide สังเกตผลการทดสอบ หากตัวอย่างมีสีชมพูเกิดขึ้น ทราบที่ทดสอบอาจเป็นทราบเลือด อย่างไรก็ตาม KM สามารถให้ผลการทดสอบเป็นผลบวก ปalon ได้จากเอนไซม์ peroxidase ในพืชผัก ผลไม้ เช่น มันฝรั่ง หัวผักกาด¹⁰ บรรโกโคลี กะหล่ำดอก¹¹ ดังนั้น ในทางนิติวิทยาศาสตร์ KM เป็นการทดสอบทราบเลือดเบื้องต้นเท่านั้น จำเป็นที่จะต้องมีการทดสอบยืนยันอีก ต่อไป^{2,11}

การใช้น้ำยา Kastle-Meyer ในทางนิติวิทยาศาสตร์

ในทางนิติวิทยาศาสตร์ สารหรือสารละลายที่ใช้ในการตรวจทราบเลือดเบื้องต้น (presumptive test) ได้แก่ Benzidine, O-tolidine, Tetramethylbenzidine (TMB), Leucomalachite Green (LMG), Luminol และ Kastle-Meyer reagent เมื่อต้องการตรวจยืนยันการพบทราบเลือดจะทำการทดสอบ Crystal test ด้วย Teichmann test และ Takayama test ต่อไป²

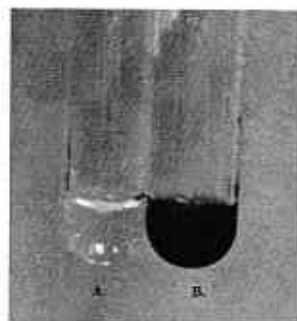
ในการศึกษาเปรียบเทียบความไวและความจำเพาะของ presumptive test ให้ผลการศึกษาที่แตกต่างกันไป ใน การศึกษาของ Johnston และคณะ พบว่า ชุดทดสอบ Hexagon OBTI kit มีความไวในการทดสอบเท่ากับ LMG และ KM¹² ซึ่งตรงกับการศึกษาของ Cox ที่พบว่า KM มีความจำเพาะต่อการตรวจราบเลือดมากกว่า Octolidine และ TMB¹¹ นอกจากนี้ ในการศึกษา DNA ในตัวอย่างวัตถุพยาน พบว่า DNA ไม่ถูกทำลาย และสามารถตรวจพบและเพิ่มจำนวนในตัวอย่างที่ได้ผ่านตรวจด้วย KM แล้วอีกด้วย¹³

การประยุกต์ใช้น้ำยา Kastle-Meyer ในวิทยาศาสตร์ทางการแพทย์

นอกจากน้ำยาที่ใช้ในการตรวจราบเลือดบนวัตถุพยานและสถานที่เกิดเหตุแล้ว ยังมีการศึกษาน้ำยา KM ใน การตรวจการปนเปื้อนของเลือดในเครื่องมือผ่าตัดทางทันตกรรม¹⁴⁻¹⁷ ซึ่งการปนเปื้อนของเลือดในเครื่องมือผ่าตัดเป็นสาเหตุของการติดเชื้อไวรัสตับอักเสบไวรัสตับอักเสบซี และ HIV^{14, 15} ใน การศึกษาประสิทธิภาพของการตรวจการปนเปื้อนของเลือดพบว่า น้ำยา KM สามารถทดสอบเลือดที่สดและแห้งหลังจากที่นำไปผ่านการฆ่าเชื้อด้วย Autoclave อุณหภูมิสูงถึง 134 องศาเซลเซียสได้ โดยให้ผลบวกที่ Dilution 1:6,400 หรือต่ำกว่านั้น¹⁴ นอกจากนี้ยังมีรายงานการใช้น้ำยานี้ ในการปนเปื้อนของเลือดในเครื่องมือในแผนกผู้ป่วย บาดเจ็บฉุกเฉินและเครื่องมือในรพษบาลฉุกเฉิน¹⁸ ในรายงานการศึกษามูลของมนุษย์คุดเลือด triatomine (Hemiptera: Reduviid) พบว่ามูลของมนุนนี้ให้ผลบวกกับ KM เช่นเดียวกับมูลของเรือคและยุงลาย แต่น้ำยานี้กลับให้ผลลบในมูลของแมลงที่ไม่กินเลือดเป็นอาหารซึ่งได้แก่ แมลงสาม แมลงมุม จิงหรีด แมลงวันบ้านและแมลงเต่าทอง¹⁹ ใน การทดสอบเพลี้ยกระโดดสีน้ำตาลที่ระบาดในเขตเกษตรกรรมของจังหวัดพิษณุโลกพบว่า แมลงศัตรูพืชชนิดนี้ไม่กินเลือดเป็นอาหารเนื่องจากให้ผลการทดสอบเป็นลบ ในขณะที่ยุงตัวเมียและเห็บสุนัขที่คุดเลือดให้ผลการทดสอบเป็นบวก²⁰

ในการศึกษาเปรียบเทียบการตรวจเลือดในปัสสาวะ โดยทดสอบด้วยแบบทดสอบปัสสาวะเทียบกับน้ำยา KM พบว่า KM มีความไวในการตรวจมากกว่าแบบทดสอบ (fig. 2) รวมทั้งสารละลายยังสามารถตรวจระดับ hemoglobin แม้ในปัสสาวะจะมีความเข้มข้นเพียง 0.007 มิลลิกรัม/เดซิลิตรเท่านั้น²¹ นอกจากนี้เมื่อเปรียบเทียบการตรวจอุจจาระที่พนเม็ดเลือดแดงด้วยกล้องจุลทรรศน์ พบว่า KM ให้ผลบวกตรงกับการตรวจด้วยกล้องจุลทรรศน์ 84.38% ในขณะที่ชุดทดสอบ Guiac ให้ผลบวก 75%²² ซึ่ง Glaister²³ ได้ระบุในรายงานว่า KM เป็นการทดสอบที่ควรมีการประยุกต์ใช้ในวิทยาศาสตร์การแพทย์สาขาอื่นด้วย

จากรายงานการศึกษาที่ผ่านมาข้างต้น น้ำยา KM น่าจะเป็นทางเลือกหนึ่งสำหรับใช้เป็นน้ำยาสาธิตสำหรับตรวจภาวะ hemoglobinuria และ hematuria ในปัสสาวะและการตรวจ occult blood ในอุจจาระในวิชาที่เกี่ยวข้องกับสาขานักเทคนิคการแพทย์ เช่น วิชาการตรวจปัสสาวะและสารน้ำในร่างกาย ปรสิตวิทยาทางการแพทย์



รูปที่ 2 ผลการทดสอบน้ำยา Kastle-Meyer ในตัวอย่างปัสสาวะ A. ผลการทดสอบเป็นลบ B. ผลการทดสอบเป็นบวก

References

1. Investigating CSI – Background material. Available at URL: http://biomedsci.cornell.edu/graduate_school/shared/gradschool/Outreach/Invest_CSI_Background.pdf. Accessed July 28, 2011.
2. Stuart HJ, Jon JN. Forensic Science: an introduction to scientific and investigative techniques. USA: CRC pressLLC, 2003.
3. White PC. Crime scene to court: The essentials of forensic science. Cornell, UK: TJ international LTD, 2004.
4. Becker RF. Criminal investigation. 2nd ed, Massachusetts, USA: Jones and Bartlett publishers. 2005.
5. NNNS chemistry blog. Available at URL: http://chem.vander-lingen.nl/info/item/November_2008/id/141/mid/141. Accessed July 28, 2011.
6. Culliford BJ. The examination and typing of bloodstains in the crime laboratory. U.S. Government Printing Office, 1971.
7. Metropolitan Police Forensic Science Laboratory, Biology Methods Manual. 1978.
8. Saferstein R. Forensic science handbook. Prentice Hall, Inc., 1982.
9. Gaenslen R. Sourcebook in forensic serology, immunology, and biochemistry. U.S. Government Printing Office, 1983.
10. Ramsland K. The forensic science of C.S.I. New York, USA: A Berkley Boulevard book. 2001.
11. Cox M. A study of the sensitivity and specificity of four presumptive tests for blood. J Forensic Sci 1991; 36(5): 1503-11.
12. Johnston E, Ames CE, Dagnall KE, Foster J, Daniel BE. Comparison of presumptive blood test kits including Hexagon OBTI. J Forensic Sci; 53(3): 687-9.
13. Tobe SS, Watson N, Daéid NN. Evaluation of six presumptive tests for blood, their specificity, sensitivity, and effect on high molecular-weight DNA. J Forensic Sci 2007; 52(1): 102-9.

14. Lowe AH, Bagg J, Burke FJ, MacKenzie D, McHugh S. A study of blood contamination of siqveland matrix bands. Br Dent J 2002; 192(8): 425.
15. Edmand LM, Rawlinson A. The effect of cleaning on blood contamination in the dental surgery following periodontal procedures. Aust Dent J 1998; 43(5):349-53.
16. McColl E, Bagg J, Winning S. The detection of blood on dental surgery surfaces and equipment following dental hygiene treatment. Br Dent J 1994; 176(2): 65-7.
17. Leytters S, Smith AJ, McHugh S, Bagg J. A study of visual and blood contamination on reprocessed endodontic files from general dental practice. Br Dent J 2005; 199(8): 522-5.
18. Lee JB, Levy M, Walker A. Use of a forensic technique to identify blood contamination of emergency department and ambulance trauma equipment. Emerg Med J 2005; 22(11): 836.
19. Gürtler RE, Oneto ML, Cecere MC, Castañera MB, Canale DM. Simple method to identify triatomine (Hemiptera: Reduviidae) feces in sensing devices used in vector surveillance programs. J Med Entomol 2001; 38(2): 147-52.
20. Nateewranart S, Tongpob Y, Sudsaward S, Yasothornsrikul S. The application of Kastle-Meyer test to indentify Brown plant hopper, *Nilaparvata lugens* (Stål) as a non blood-feeding insect. วารสารนิติเวชศาสตร์ 2553; 3(1): 67-9.
21. แสงชัย นพวนารถ อรัญญา จิระวิษัยกุล จิรภัส จงจิตวิมล นพดล จำรูญ. การศึกษาเบรเยนเทียบนำ้ยา Kastle-Meyer กับ แคนท์ทดสอบปัสสาวะ เพื่อตรวจภาวะ hematuria และ hemoglobinuria. วารสารเทคนิคการแพทย์ 2550; 35(1): 1860-2.
22. แสงชัย นพวนารถ. การเบรเยนเทียบชุดทดสอบ Guiac กับนำ้ยา Kasle-Meyer. วารสารนิติเวชศาสตร์ 2552; 2(3): 6-10.
23. Glaister J. The Kastle-Meyer test for the detection of blood; considered from the medio-legal aspect. Br Med J 1926; 1(3406): 650-2.

Hookah

นพ.ณัฐ ตันครีสวัสดิ์ *

บทนำ

สุกคาห์ (hookah, ชูกา) เป็นอุปกรณ์สำหรับการสูบยาเส้น หรือสารเสพติดอื่น ๆ ที่สามารถสูบโดยการสูบ เริ่มนี้ข่าวพรรatabd ในประเทศไทยตั้งแต่ พ.ศ. 2546 หลังจากนั้นก็พบมีการวางขายซื้อขายได้โดยง่ายตามแหล่งท่องเที่ยวต่าง ๆ โดยมีการวางขายตามข้างถนนจนตกเป็นข่าวใหญ่ในสังคมมาช่วงหนึ่ง นอกจากนี้ยังสามารถซื้อผ่านอินเตอร์เน็ตได้จากเว็บไซต์ และเมื่อไม่นานมานี้สุกคาห์ได้มีโอกาสขึ้นข่าวหน้าหนึ่งของหนังสือพิมพ์เกือบทุกฉบับรวมถึงมีการทำข่าวออกโทรทัศน์เกือบทุกช่องเมื่อมีภาพของนักธุรกิจซื้อดังของประเทศไทยกำลังเสพสารเสพติดโดยใช้สุกคาห์ ซึ่งตัวนักธุรกิจได้ออกมาสารภาพว่าได้สูบยาเสพติดจริง ในประเทศไทยมีคำนิยมเรียกว่า “บารากุ” หรือ “มอรากุ” ด้วย

สุกคาห์คืออะไร

สุกคาห์ คืออุปกรณ์ที่ใช้สูบ ไอระเหย ยาเส้นหรือสารเสพติดที่สูบโดยการสูบ มีหลักฐานว่าเริ่มจากพรหมดนของประเทศอินเดียติดกับเปอร์เซียตั้งแต่ช่วง ก.ศ. 1500 - 1600 จากนั้นได้เริ่มแพร่หลายไปในดินแดนข้างเคียงโดยรอบ และเริ่มมีการแพร่หลายและแพร่ระบาดไปทั่วโลกทั้งในประเทศพัฒนาและกำลังพัฒนาในช่วง 20 ปีที่ผ่านมา โดยผู้สูบส่วนใหญ่อยู่ในช่วงวัยรุ่น

สุกคาห์ (hookah) เป็นคำที่ใช้เรียกในประเทศไทยเดิมและกลุ่มประเทศใกล้เคียง และมีการเรียกชื่อที่หลากหลายแตกต่างกันออกไปมากน้อยในแต่ละประเทศ เช่น shisha, narghile, nargeela, nargileh, argeela, argileh, argilee, hooka, lula, lulava, chillim, gudugudaa, bubble bubble และ water pipe

* ผู้ช่วยศาสตราจารย์ ภาควิชานิติเวชศาสตร์ คณะแพทยศาสตร์ จุฬาลงกรณ์มหาวิทยาลัย

วารสารนิติเวชศาสตร์ ปีที่ 4 ฉบับที่ 2

มกราคม - เมษายน พ.ศ.2555

ในสังคมของคนอินเดียและชาวอาหรับนั้นการสูบ ไอระเหยผ่านสุกคานั้นเป็นกิจกรรมร่วมกันในการพบประสังสรรค์เข้าสังคม และบางชุมชนการสูบสุกคานั้นเป็นกิจกรรมที่เป็นวัฒนธรรมประเพณีท้องถิ่น

ไอระเหยที่ใช้สูบผ่านสุกคานั้นส่วนใหญ่เป็นใบยาสูบ (tobacco) ผสมกับกาหน้ำตาล (molasses) หรือผสมกับเปลือกผลไม้เพื่อเพิ่มรสชาติและกลิ่นตามที่ต้องการ ยาสูบที่ได้รับความนิยมมากได้แก่ maassel, ajami, jurak

โครงสร้างของสุกคานั้น

โครงสร้างหลักของสุกคานั้นประกอบด้วยที่วางใบยาสูบซึ่งถูกออกแบบมาให้มีรูพรุนอยู่ที่ส่วนบน และถัดมาคือห่อส่งไอระเหยหรือควันลงมาโถชามหรือหม้อด้านล่างซึ่งบรรจุน้ำ และมีท่อสูบ ไอระเหยที่ผ่านออกมายากน้ำ

นอกจากนี้อาจมีโครงสร้างอื่น ๆ เช่น แผ่นรองที่เดาซึ่งอยู่ใต้ตำแหน่งที่วางใบยาสูบ



ภาพจาก

http://en.wikipedia.org/wiki/File:Small_Argileh.jpg



ภาพจาก

http://en.wikipedia.org/wiki/File:Hukkah_nepal.jpg

การทำงานของอุกกาห์

เมื่อนำยาสูบวางที่วางด้านบนซึ่งมักห่อกระดาษฟอยล์ที่เจาะรู จากนั้นให้ความร้อนยาสูบโดยนิยมใช้ความร้อนจากถ่านติดไฟไปวางไว้ด้านบน เมื่อยาสูบได้รับความร้อนจะเกิดควันซึ่งจะถูกดูดลงมาตามท่อด้านล่างผ่านลงไปในน้ำซึ่งบรรจุอยู่ในโถด้านล่าง และจะมีไอเหยหรือควันขึ้นมาจากน้ำผ่านไปยังท่อที่ผู้สูบกำลังสูบอยู่

ทำไม่จึงมีการแพร่หลายไปทั่วโลก

อุกกาห์เริ่มแพร่หลายไปทั่วโลกในช่วง 20 ปีที่ผ่านมา ด้วยหลายปัจจัย เช่น ความเข้มงวดของกฎหมายในการควบคุมการสูบบุหรี่ การเปลี่ยนค่านิยมที่ทำให้การสูบบุหรี่เป็นสิ่งที่สังคมส่วนใหญ่ไม่ให้การยอมรับ การผลกระทบจากการสูบบุหรี่ต่อสุขภาพร่างกายที่เกิดจากการสูบบุหรี่หรือไม่ได้เป็นผู้สูบแต่ได้รับควันจากผู้สูบบุหรี่ เมื่อการสูบบุหรี่มีข้อจำกัดต่าง ๆ มากมาย ผู้เดพและวัยรุ่นจึงเริ่มหาวิธีการเพื่อทดลองการสูบบุหรี่ ซึ่งอุกกาห์เป็นวิธีการที่ได้รับความนิยม เพราะรู้ปร่างว่าสุดท้ายมีการพัฒนาต่อแต่งให้ดูดีสวยงาม ยาสูบที่ใช้มีการพัฒนาผลิตภัณฑ์ใหม่ความหอมหวานลดการระคายเคือง ชุมชนให้การยอมรับ ไอควันจากการให้ความร้อนผ่านกระดาษฟอยล์ที่หุ้มยาสูบนั้น หลายคนเชื่อว่ามีอันตรายน้อยกว่า ไอควันจากยาสูบที่ถูกเผาใหม่โดยตรงจากการสูบบุหรี่ นอกจากนี้ไอควันยาสูบในอุกกาห์ที่ผ่านลงไปในน้ำก่อนทำให้คนจำนวนมากคิดว่าน้ำสามารถกรองสารพิษต่าง ๆ ได้เป็นจำนวนมาก ไอควันที่สูบจากอุกกาห์จึงน่าจะปลอดภัยกว่าการสูบบุหรี่-ยาเส้น-ซิการ์ ซึ่งสูบรับควันพิษจำนวนมาก โดยตรง และปัจจัยที่สำคัญอีกประการหนึ่งคืออุกกาห์ยังไม่ผิดกฎหมายเกี่ยวกับการควบคุมสารเสพติดหรือวัตถุออกฤทธิ์ต่อจิตและประสาทด้วย

ปัญหาสุขภาพจากการใช้อุกกาห์

จากการศึกษาที่เริ่มนามากขึ้นบ่งชี้ว่าผู้สูบอุกกาห์มีโอกาสได้รับสารพิษต่าง ๆ จากยาสูบมากกว่าการสูบบุหรี่ เนื่องจาก ไอควันจากการสูบอุกกาห์มีกลิ่นอมรสหวนและระคายเคืองน้อยกว่า ไอควันจากบุหรี่ทำให้ผู้

วารสารนิติเวชศาสตร์ ปีที่ 4 ฉบับที่ 2

มกราคม – เมษายน พ.ศ.2555

สูบสามารถสูบหายใจเข้าไปได้ก็เป็นผลให้เกิดการรับไอควันครั้งละปริมาณที่ค่อนข้างมาก และการสูบสูกค่าห์ชนิดแต่ละครั้งใช้เวลานานครึ่งถึงหนึ่งชั่วโมงซึ่งนานกว่าการสูบบุหรี่ที่ใช้เวลาการสูบมวนและประมาณห้านาที ทำให้ผู้สูบรับสารพิษต่าง ๆ ไปในปริมาณมาก โดยที่ไอควันที่ผ่านน้ำหนักไม่สามารถลดปริมาณของสารพิษลงได้ตามความเชื่อที่มี

สารพิษที่พบนอกจากนิโคตินซึ่งพบจากใบยาสูบแล้ว ยังพบก๊าซคาร์บอนมอนอกไซด์ ฟอร์มัลเดไฮด์ อะเซทัลเดไฮด์ (acetaldehyde), acrolein, ²¹⁰Po, tar, free radicals และโลหะหนักต่าง ๆ เช่น โคงอลต์ โกรเมียม ตะกั่ว สารหนู

ผลของสารพิษต่าง ๆ เหล่านี้เชื่อว่า่าน่าจะทำให้เกิดปัญหาต่อสุขภาพ เช่นเดียวกับการสูบบุหรี่ ไม่ว่าการเกิดโรคระบบหลอดเลือดและหัวใจ โรคระบบทางเดินหายใจ รวมถึงมะเร็งชนิดต่าง ๆ

นอกจากสารพิษที่เกิดขึ้นจากยาสูบแล้ว พบว่าการสูบสูกค่าห์มักจะมีการสูบร่วมกันผ่านท่อสูบเดียวกัน ทำให้มีโอกาสเกิดโรคติดต่อต่าง ๆ ที่สามารถติดต่อผ่านทางลมหายใจและน้ำลายได้ เช่น โรคเริม โรคดับอักเสบ และวัณโรค

การสูบสูกค่าห์ยังพบว่าเป็นทางผ่านเบื้องต้นที่ผู้สูบจะมีแนวโน้มไปทดลองและติดสารเสพติดอื่น ๆ ที่มีพิษและความรุนแรงมากขึ้น เช่น การนำกัญชา ยาบ้า ยาไอซ์ โคเคน มาสูบผ่านสูกค่าห์แทนที่จะสูบยาเส้น และการข้ามไปเสพสารเสพติดโดยการกิน การสูดโดยตรง รวมถึงการฉีดสารเสพติดเข้าหลอดเลือด

การควบคุมทางกฎหมาย

เนื่องจากยาสูบที่นำมาสูบผ่านสูกค่าห์นั้นมีจำนวนยาที่ต่ำกว่าที่สูบบุหรี่ ไม่มีส่วนผสมของสารเสพติดหรือวัตถุออกฤทธิ์ต่อจิตและประสาทที่กัญามาก เกี่ยวกับสารเสพติดและวัตถุออกฤทธิ์ต่อจิตและประสาทประกอบ ควบคุมอยู่ เจ้าหน้าที่ซึ่งทำงานเกี่ยวกับการควบคุมป้องปราบจัดตั้งนำกัญามายื่น ๆ ที่สามารถนำมาปรับใช้ได้มาควบคุมการแพร่หลายของสูกค่าห์ เช่น กัญามายเกี่ยวกับการห้ามสูบบุหรี่ในสถานที่ต่าง ๆ กัญามายเกี่ยวกับการนำเข้ายาสูบซึ่งเป็นสินค้าต้องห้าม กัญามายเกี่ยวกับการเสียภาษีสินค้านำเข้า กัญามายเกี่ยวกับการติดฉลากเตือน

References

1. Cobb C, Ward KD, Maziak W, Shihadeh AL, Eissenberg T. Waterpipe tobacco smoking: an emerging health crisis in the united states. *Am J Health Behav.* 2010; 34(3): 275 – 83.
2. Maziak W, Ward KD, Soweid ARA, Eissenberg T. Tobacco smoking using a waterpipe: a re-emerging strain in a global epidemic. *Tobacco Control.* 2004; 13: 327 – 33.
3. Hookah. <http://en.wikipedia.org/wiki/Hookah>. accessed January 9, 2012.

บุคคลสำคัญ

Richard Laurence Millington Synge

Richard LM Synge เกิดที่เมืองลิเวอร์พูล ประเทศอังกฤษ วันที่ 28 ตุลาคม ค.ศ. 1914 จบการศึกษาจาก Winchester และ Trinity college มหาวิทยาลัยเคนบริดจ์ในสาขาวิเคมี ตลอดชีวิตการทำงานของท่านเกี่ยวข้อง กับการทำวิจัยในสถาบันต่าง ๆ เช่น Lister Institute for Preventive Medicine และ Rowett Research Institute

ผลงานที่สร้างชื่อเสียงให้ท่านมากที่สุด ได้แก่ การคิดค้น partition chromatography ร่วมกับ Archer Martin ซึ่งผลงานชิ้นนี้ทำให้ทั้งสองท่านได้รับรางวัลโนเบลสาขาเคมีในปี ค.ศ.1952



ภาพจาก http://en.wikipedia.org/wiki/File:Richard_Laurence_Millington_Synge.jpg

Richard LM Synge ถึงแก่กรรมเมื่อ 18 สิงหาคม ค.ศ.1994

Reference

1. Richard Laurence Millington Synge. http://en.wikipedia.org/wiki/Richard_Laurence_Millington_Synge

ข่าวนิติเวชจุฬา

News from Chula Forensic Medicine

ผศ.นพ.กรเกียรติ วงศ์ไพบูลย์สิน ได้รับทุนจากมหาวิทยาลัย Yale และมหาวิทยาลัย North Texas ไปทำการศึกษาวิจัยร่วมกับศาสตราจารย์ Robert Malison, Joel Gelernter และศาสตราจารย์ Bruce Budowle ที่ประเทศสหรัฐอเมริกาตั้งแต่เดือนมกราคม 2555

หัวหน้าภาครฯ ในฐานะผู้อำนวยการศูนย์อำนวยการซันสูตรพลิก尸 ได้รับเชิญจากสถานทูตอสเตรเลียไปร่วมงาน Australia Day ในวันที่ 26 มกราคม 2555 และได้รับเชิญจาก The Charge d’Affairs ad interim of the United States of America สถานทูตสหรัฐอเมริกาไปร่วมงานในวันที่ 23 มกราคม 2555

นักศึกษาแพทย์ชั้นปีที่ 6 มหาวิทยาลัยสงขลานครินทร์ จำนวน 3 คน มาฝึกปฏิบัติงานที่ภาครฯ ระหว่างวันที่ 8 – 29 มกราคม 2555

ภาควิชาฯ เริ่มจัด Special Topic of the Month โดยจะนำกรณีศึกษาที่น่าสนใจมานำเสนอพร้อมกับการบรรยายทางวิชาการทบทวนความรู้พื้นฐานและความรู้ที่ทันสมัยในประเด็นที่เกี่ยวข้อง โดยเริ่มครั้งแรกในวันที่ 1 กุมภาพันธ์ 2555 ในหัวข้อ Death from Fat Emboli and Pulmonary Thromboembolism